

Fundamental Physics with Slow Neutrons

Center for Experimental Studies, KMI
Laboratory for Particle Properties (Φ -Lab)
Masaaki KITAGUCHI

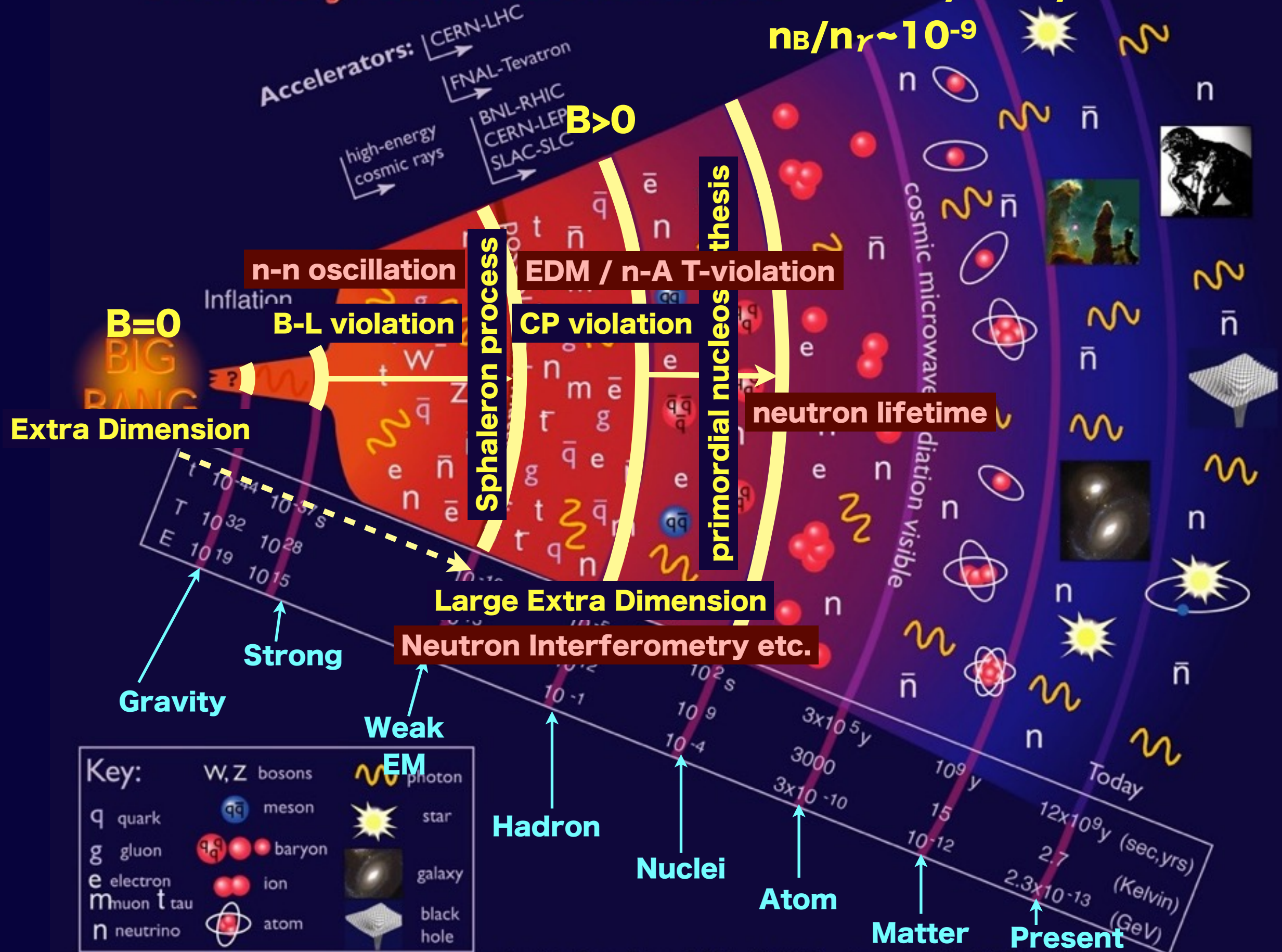
Abstract

Neutron is suitable for the precision measurement of the small influence of **new physics** beyond the standard model of elementary particles.

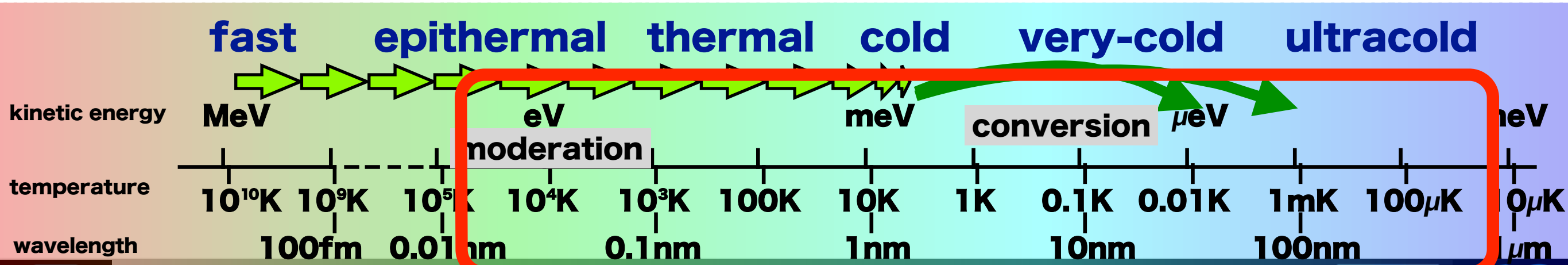
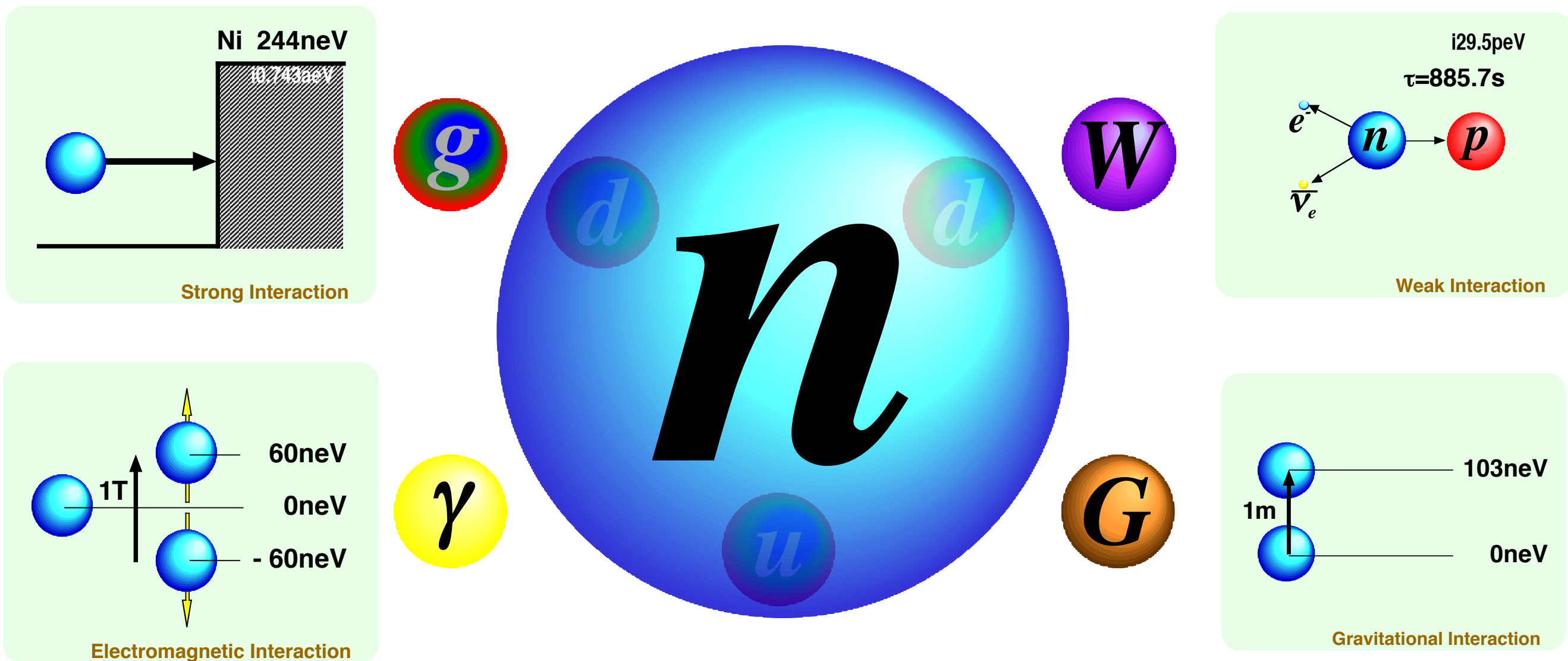
Combination of the **instantaneously luminous cold neutrons** at J-PARC and the **advanced neutron optical devices** enables us to perform new types of high precision measurements.

- Lifetime** → **big-bang nucleosynthesis**
- EDM** → **T violation**
- compound nuclei** → **T violation**
- n-nbar** → **B-L violation**
- short range force** → **gravity**

History of the Universe

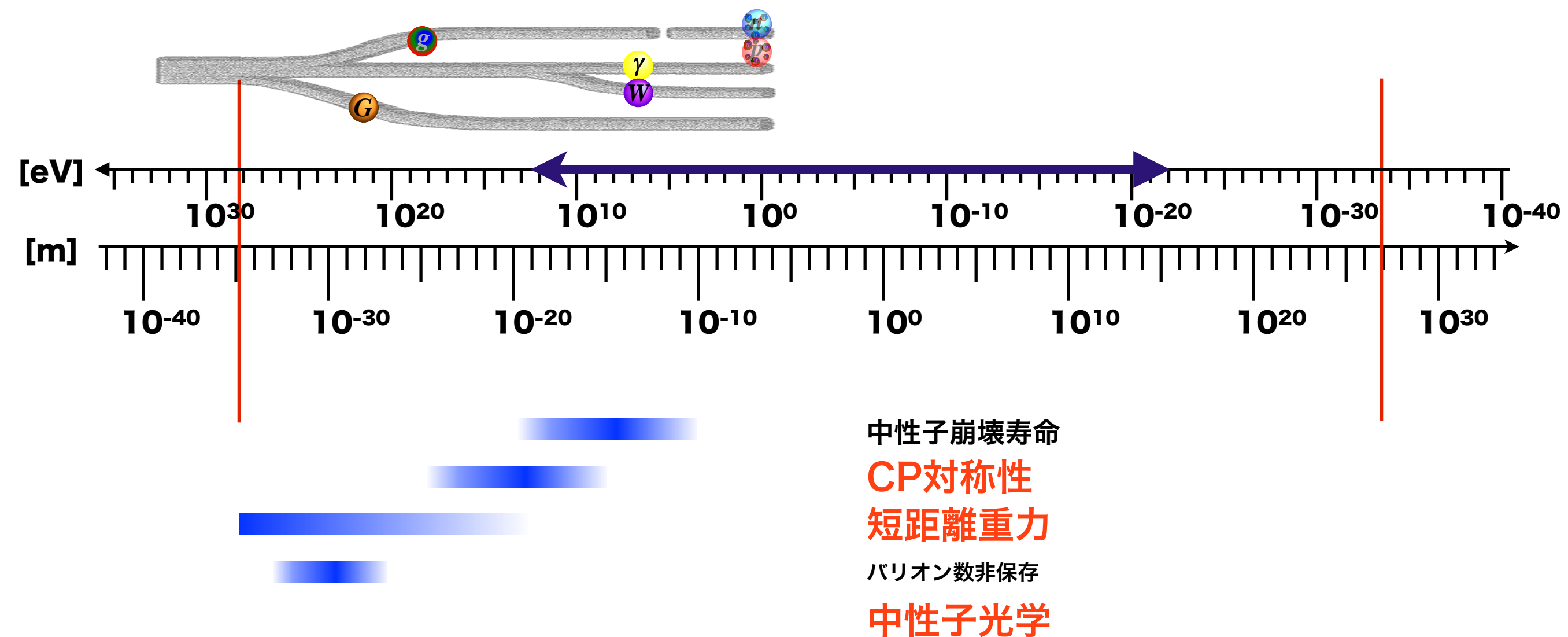


Neutron

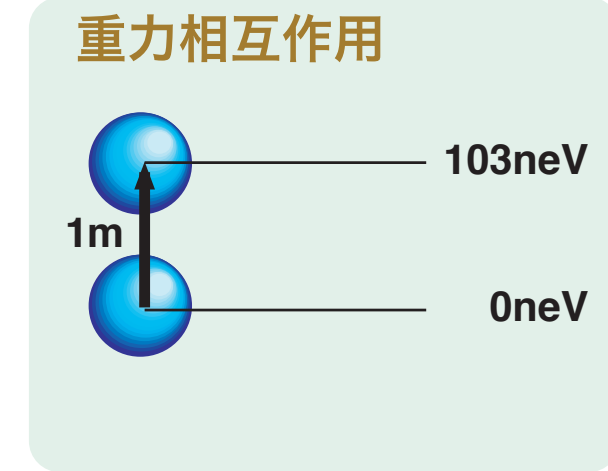
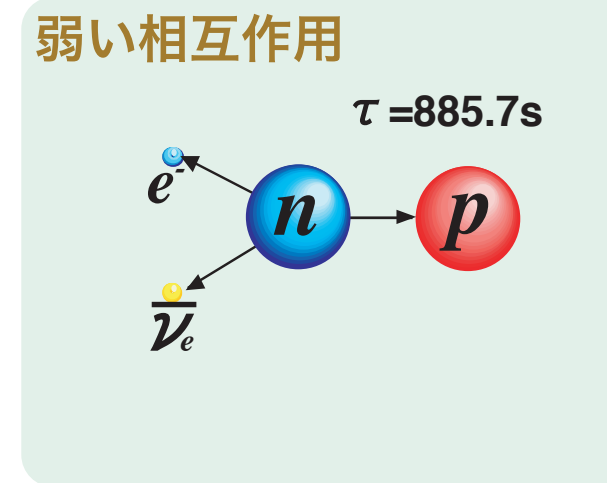
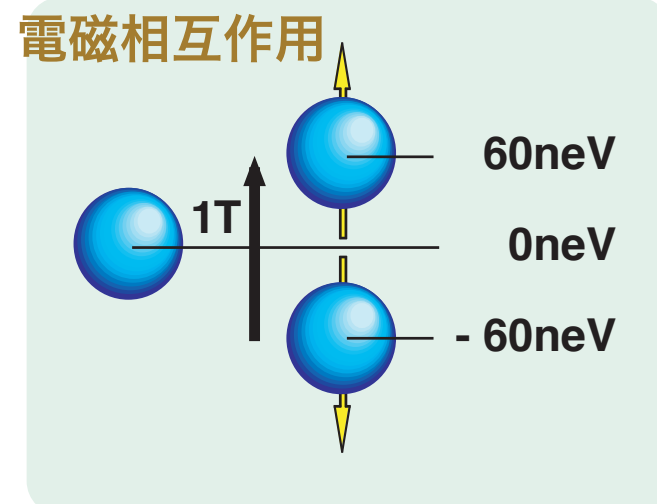
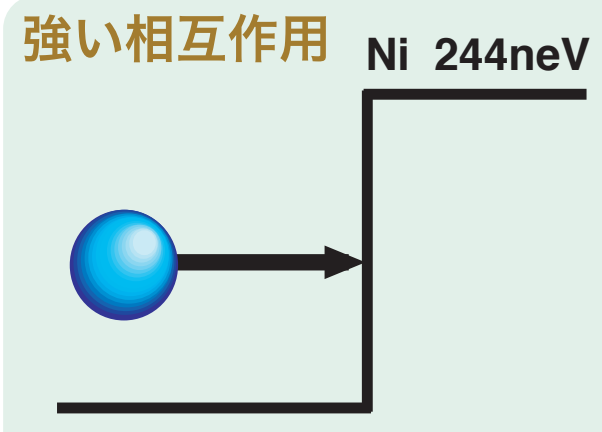


Neutron Physics

電荷を持たない 光学的制御
量子放射補正項の精密測定
標準模型を超える新物理探索

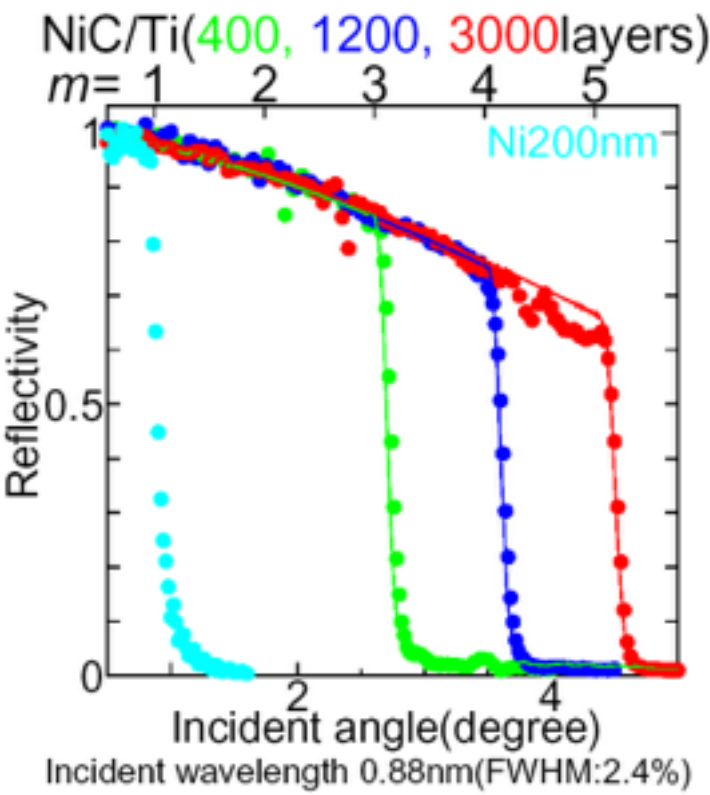


Control neutrons

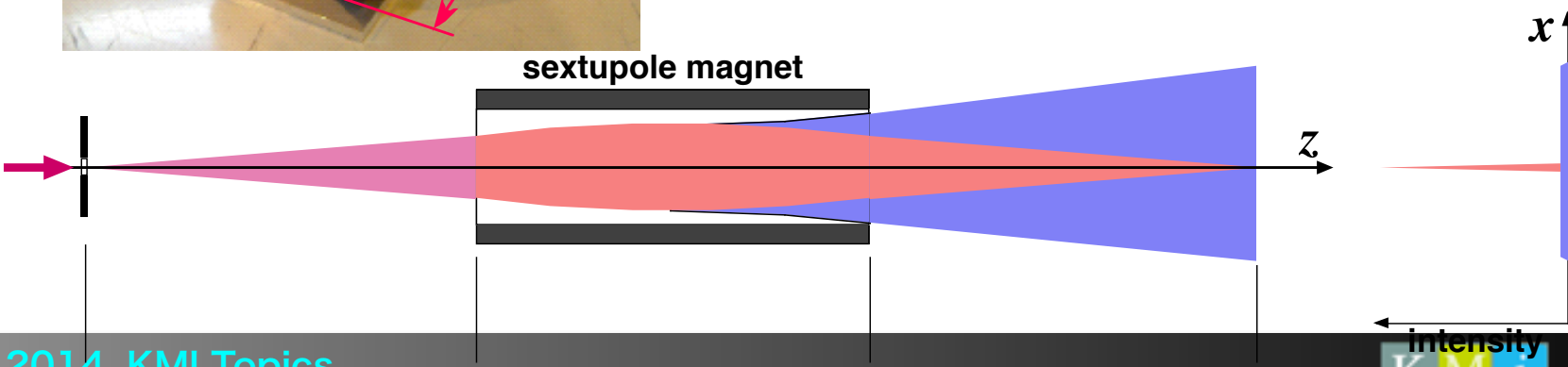
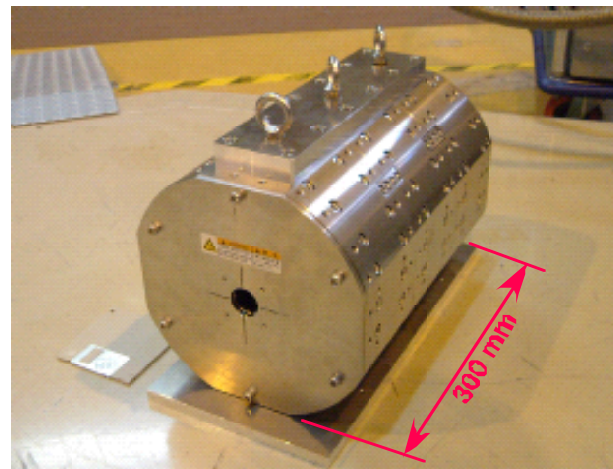


Optical control

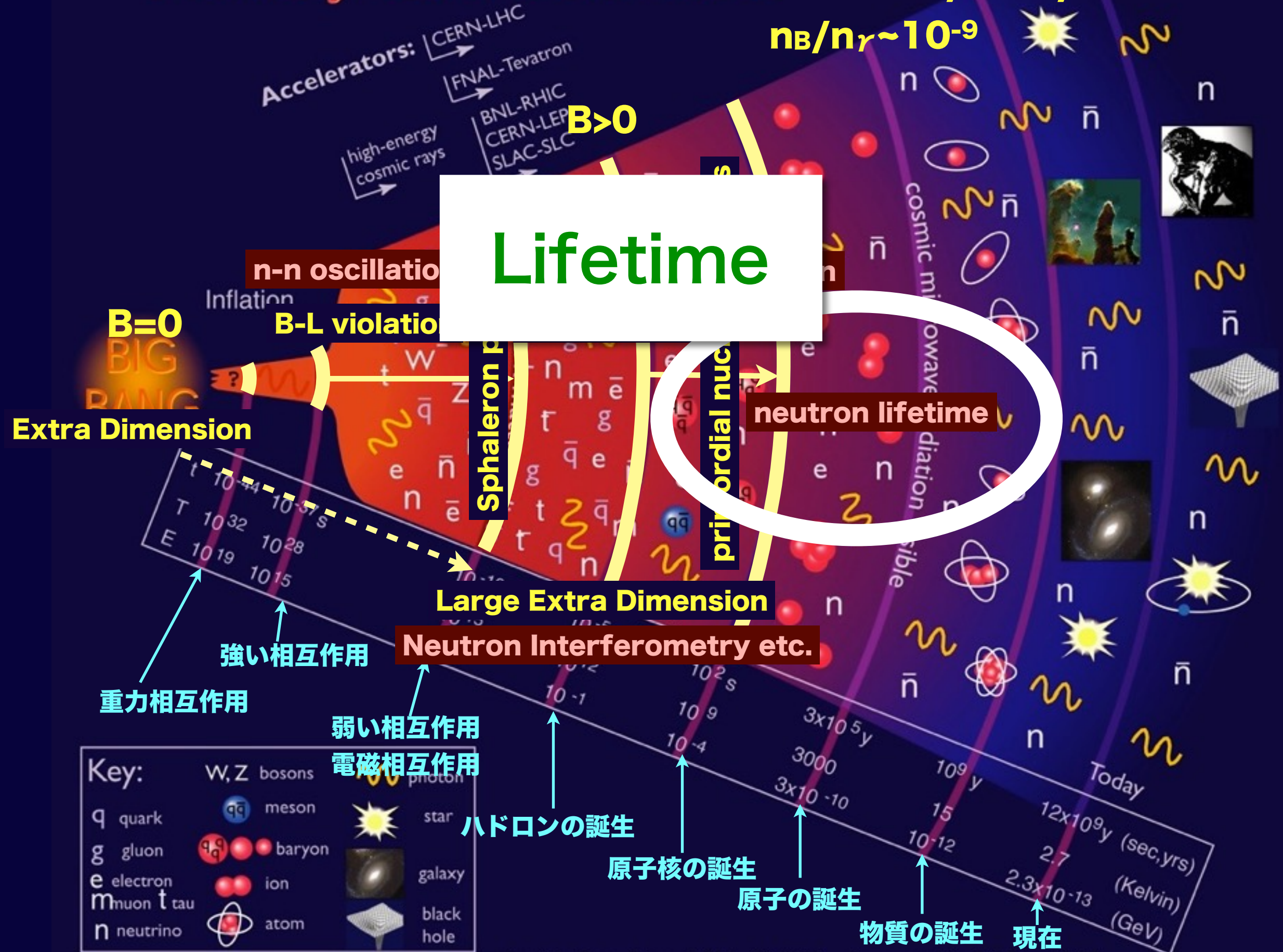
neutron mirror



magnetic lens, polarizer

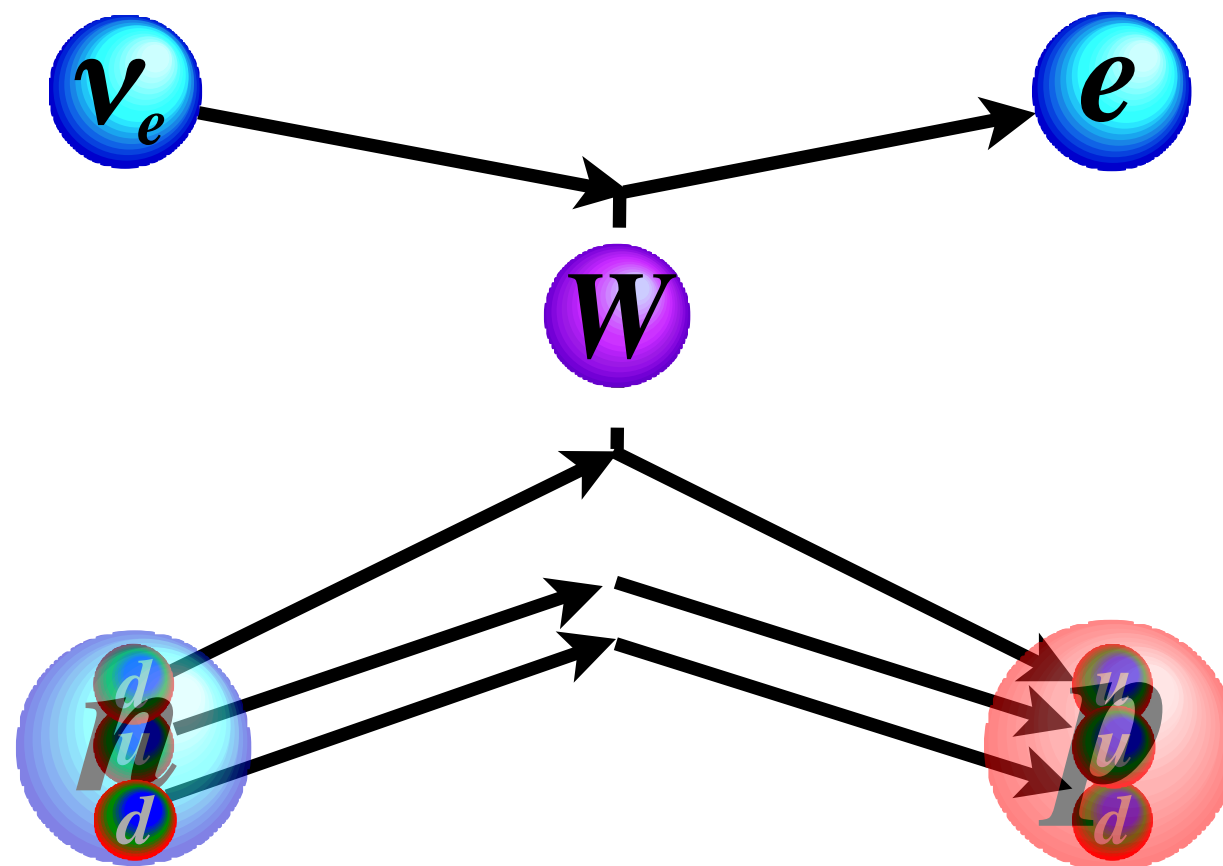


History of the Universe

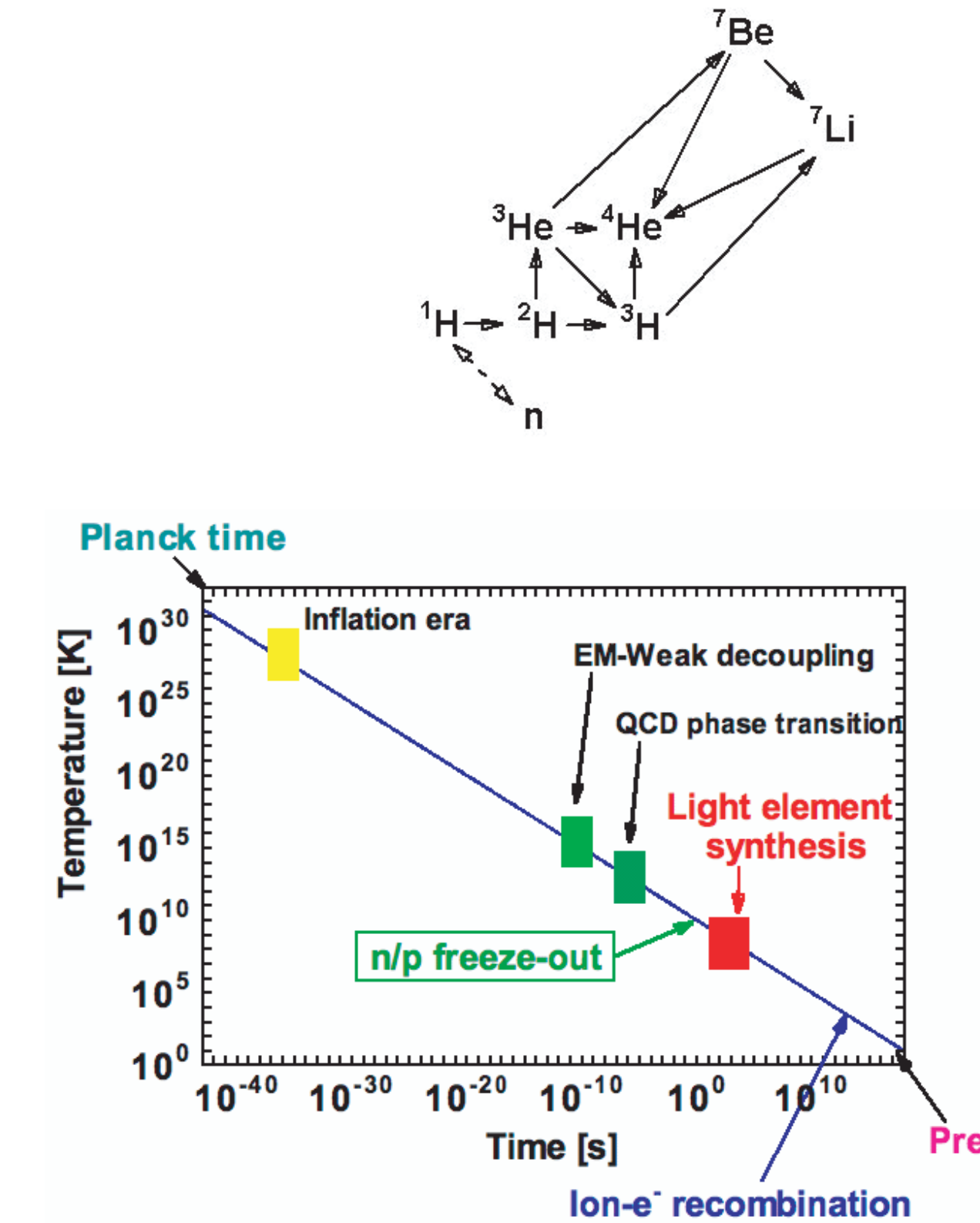
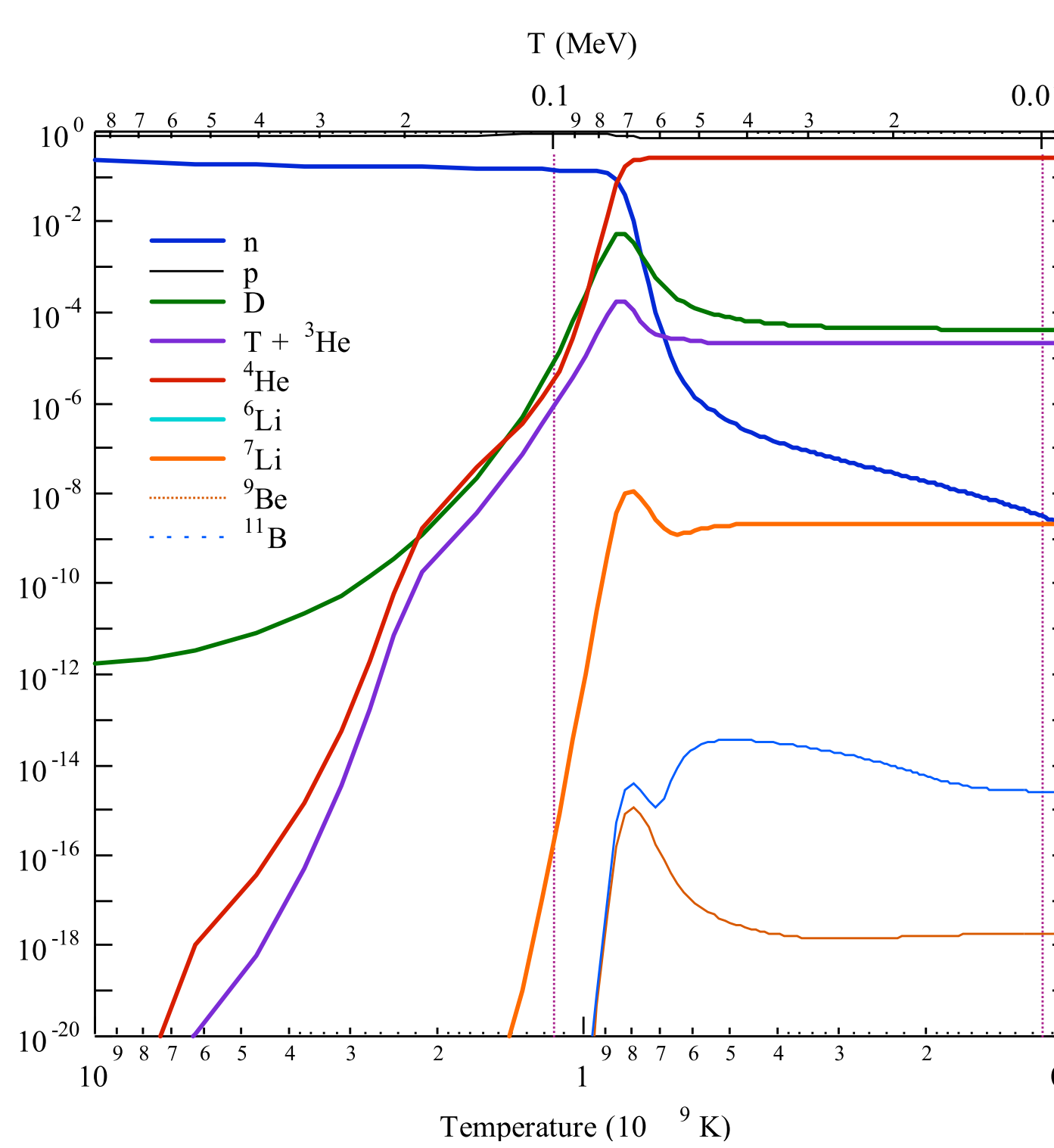


中性子 β 崩壊

$$n \longrightarrow p + e + \bar{\nu}_e$$



中性子寿命



Big Bang 元素合成と中性子寿命測定

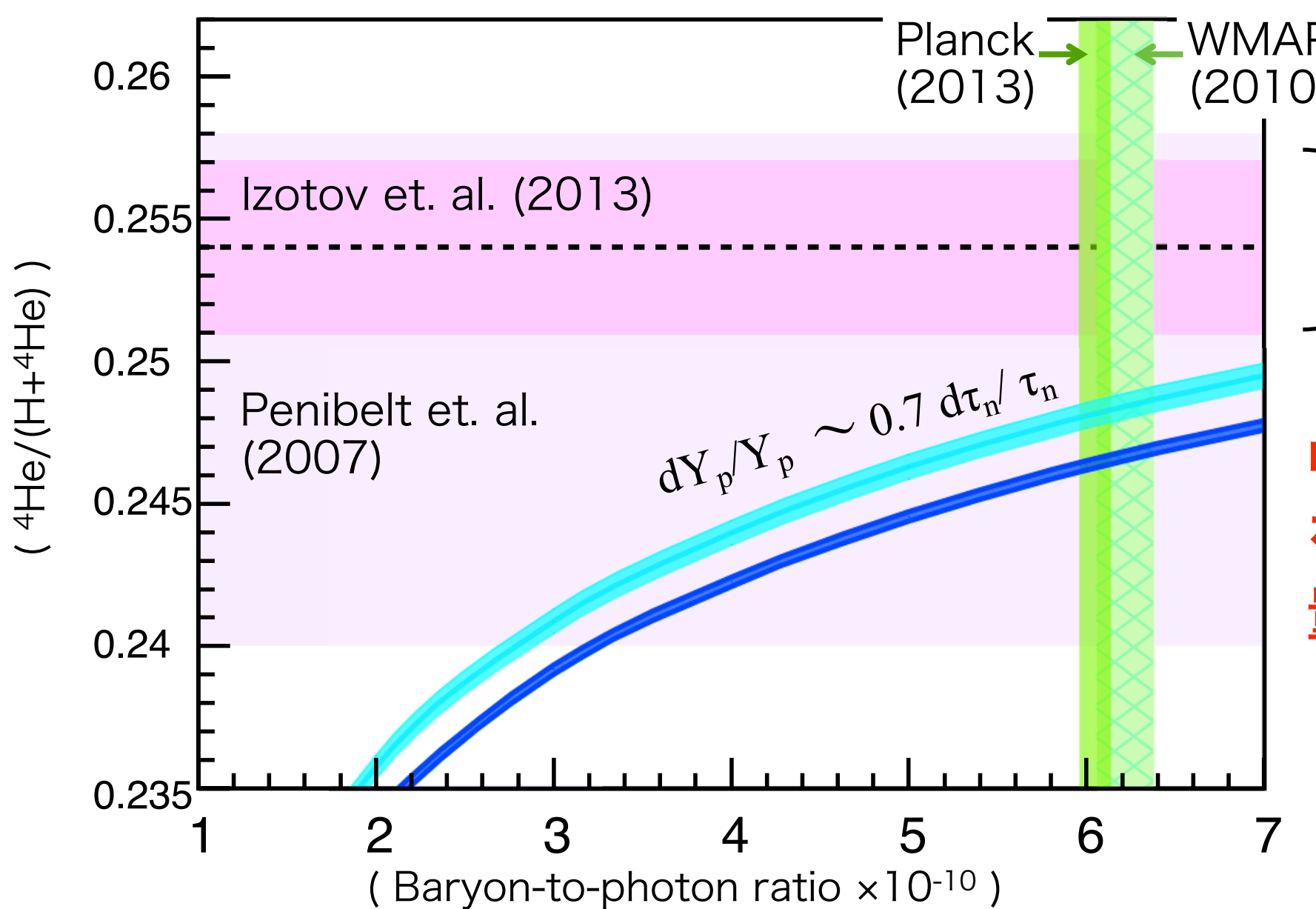
中性子・陽子平衡が破れ核合成が始まるまでに中性子が崩壊

軽元素の合成量は材料である中性子の量に依存

→ 中性子寿命が宇宙の元素合成量に影響

$$\tau_n = 887.7 \pm 1.2(\text{stat}) \pm 1.9(\text{sys}) \text{ s (NIST, 2013)}$$

$$\tau_n = 878.5 \pm 0.7(\text{stat}) \pm 0.3(\text{sys}) \text{ s (PNPI, 2005)}$$



様々な中性子寿命の実験で
値が有意にばらついている

} 初期天体の観測値
(中性He原子の発光の
モデル依存性がある)

中性子寿命の精度向上
を通じて始原的軽元素
量の観測値および標準
ビッグバン元素合成
理論を検証できる

CKM行列要素 V_{ud} と中性子寿命測定

中性子 β 崩壊の角相関項から λ が求まる

+ 中性子寿命から、

→ 小林益川行列の V_{ud} が求まる

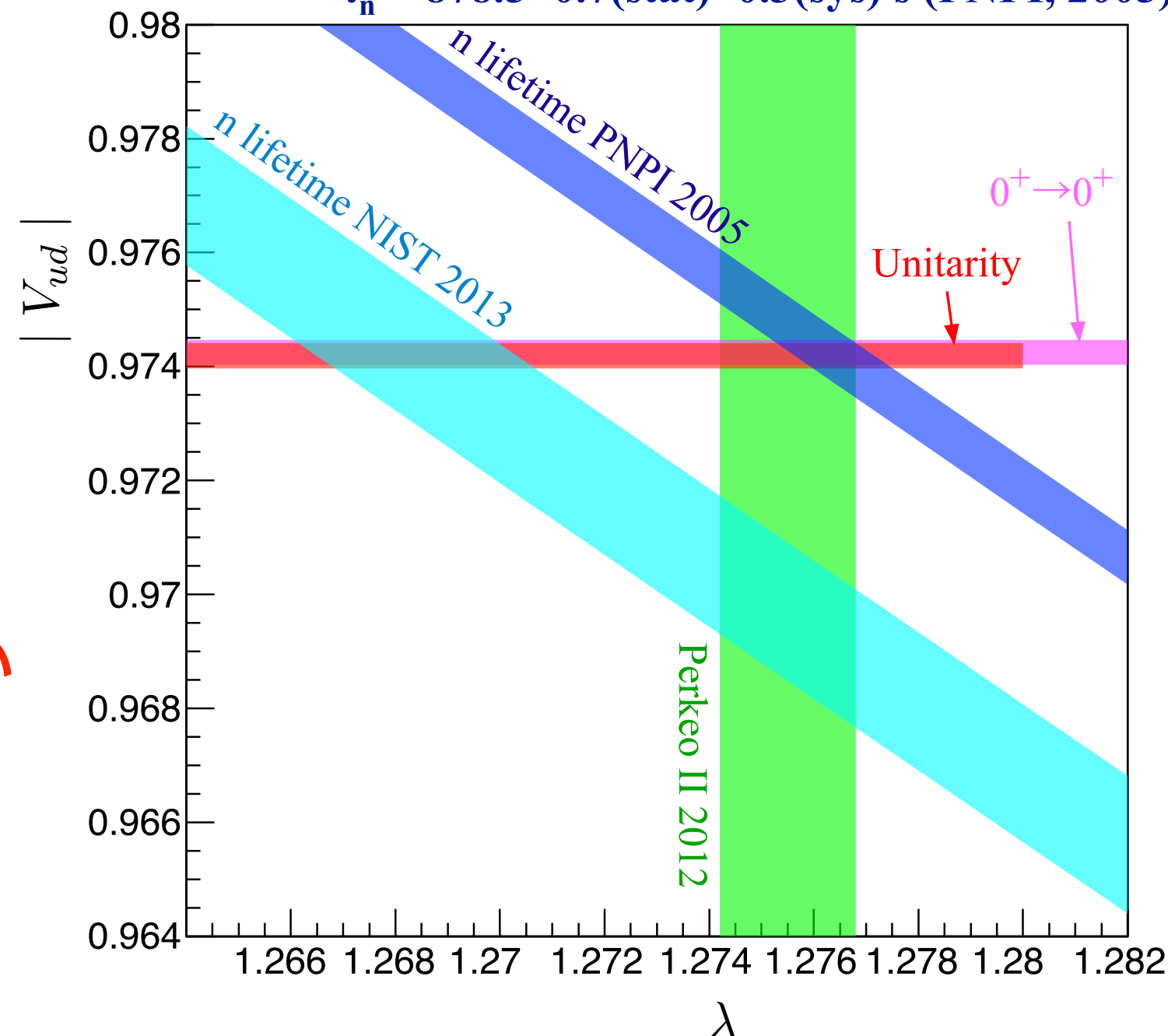
$$|V_{ud}|^2 = \frac{1}{\tau_n} \frac{(4908.7 \pm 1.9) \text{ s}}{(1 + 3\lambda^2)};$$

$$\text{with } \lambda = \frac{G_A}{G_V} = \frac{g_A}{g_V}.$$

個々の実験での中性子寿命の値
から求めた V_{ud} の値では
CKM行列が unitary にならない

様々な中性子寿命の実験で
値が有意にばらついている

$$\tau_n = 887.7 \pm 1.2(\text{stat}) \pm 1.9(\text{sys}) \text{ s (NIST, 2013)}$$
$$\tau_n = 878.5 \pm 0.7(\text{stat}) \pm 0.3(\text{sys}) \text{ s (PNPI, 2005)}$$

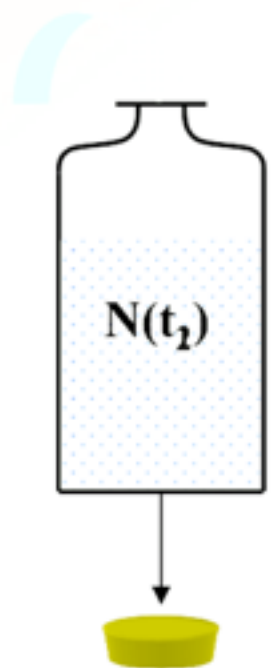


Neutron Lifetime

Stored UCN

"UCN bottle"

"counting the surviving neutrons"



$$\frac{1}{\Phi_n} = \frac{1}{t_2 - t_1} \cdot \ln \frac{N(t_1)}{N(t_2)}$$

$$\frac{1}{\Phi_n} = \frac{1}{\Phi_B} + \frac{1}{\Phi_{wall}} + \frac{1}{\Phi_{leak}} + \frac{1}{\Phi_{vacuum}} + \dots$$

→ 0 (experiment)

$$\frac{1}{\Phi_{wall}} = M \cdot V_{eff} \rightarrow 0 \text{ (extrapolation)}$$

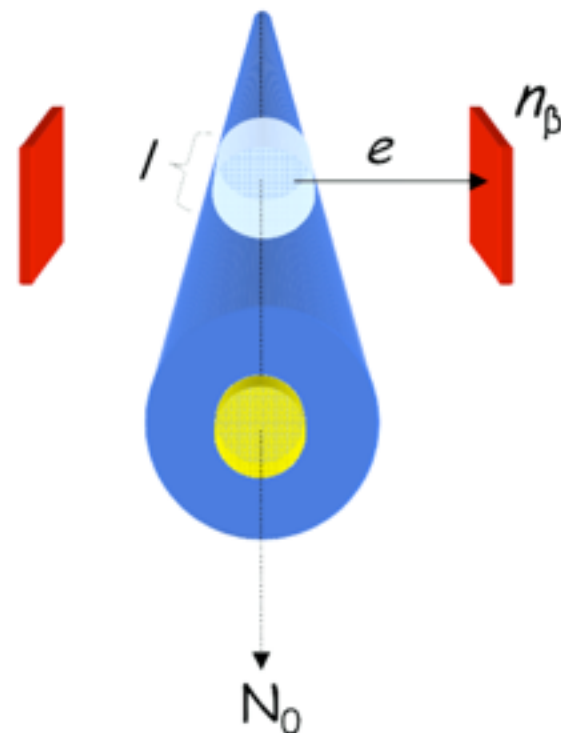
$$\rightarrow \frac{1}{\Phi_n} = \frac{1}{\Phi_B}$$

Two relative measurements

Imperfect storage bottle

Cold neutron beam

"counting the dead neutrons"



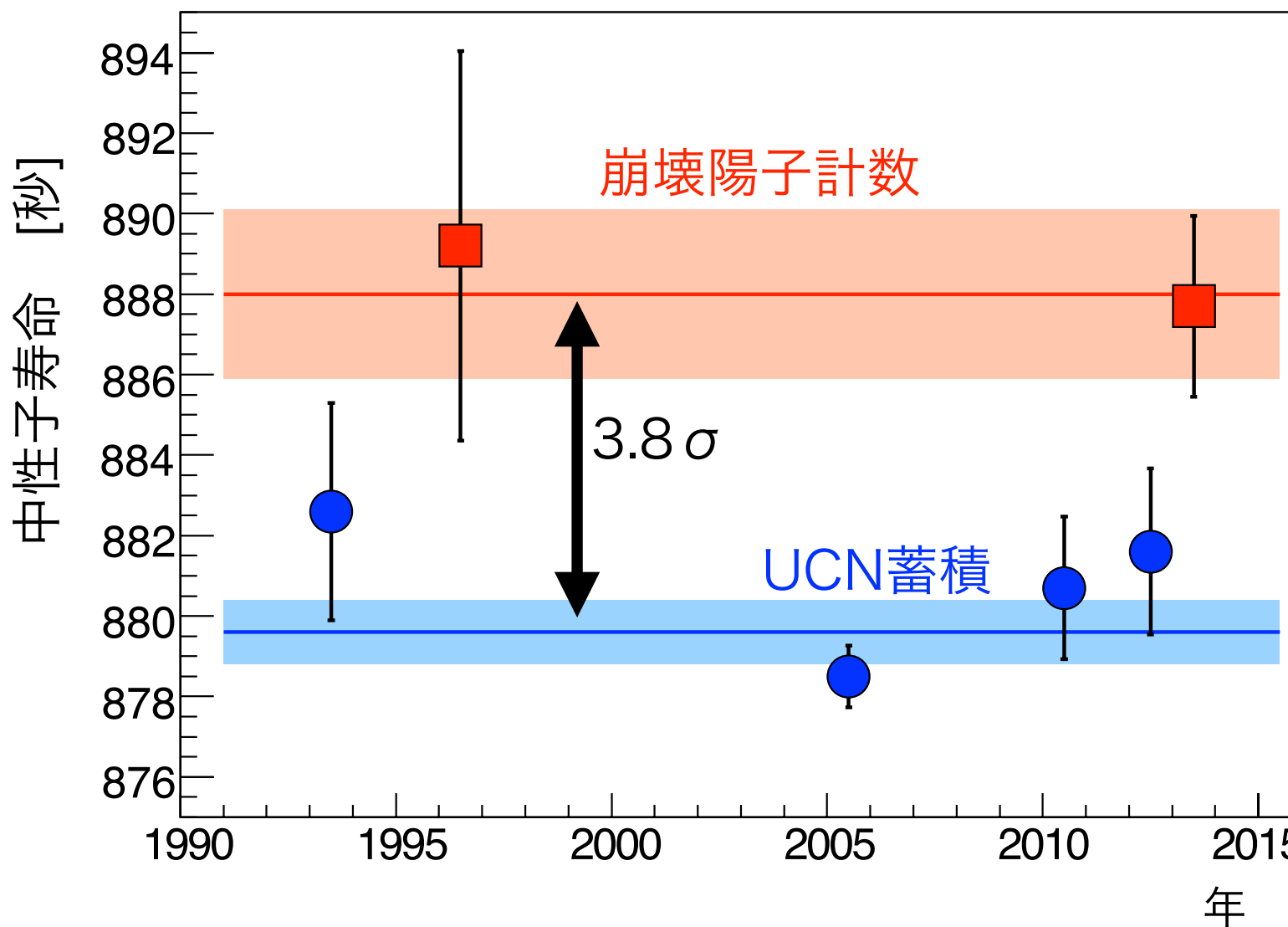
$$n_B = \frac{dN}{dt} = -\frac{N_0}{\Phi_B} e^{-\frac{l}{V \cdot \Phi_B}}$$

Two absolute measurements

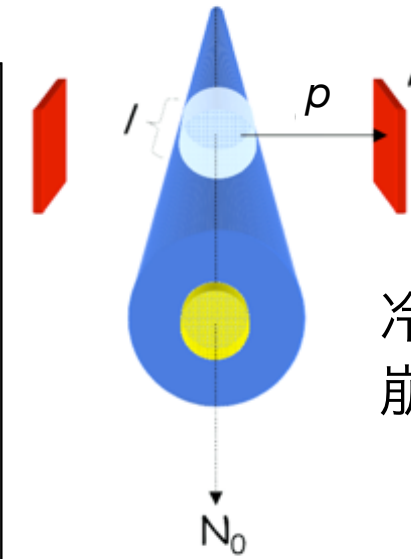
Efficiency of measurement of incident neutrons

中性子寿命測定

様々な中性子寿命の実験があるが、値が有意にばらついている



新しい手法での
O(0.1%) の高精度測定が必要

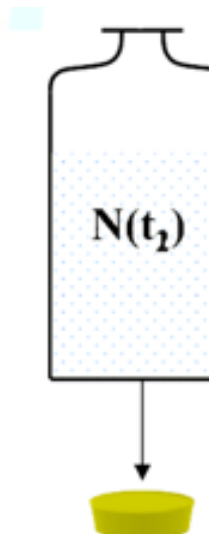


崩壊陽子計数
(penning trap)

冷中性子ビームから
崩壊で出てくる陽子を計数

$$n_B = \frac{dN}{dt} = -\frac{N_0}{\Phi_h} e^{-\frac{t}{v \cdot \Phi_h}}$$

入射フラックスの不確かさ



UCN蓄積

超冷中性子の
生き残りを計数

$$\frac{1}{\Phi_m} = \frac{1}{t_2 - t_1} \cdot \ln \frac{N(t_1)}{N(t_2)}$$

壁でのロスの不確かさ

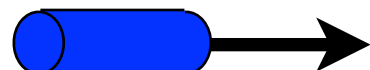
J-PARC パルス中性子を用いた高精度測定

冷中性子がTPC内で飛行中に崩壊して発生する

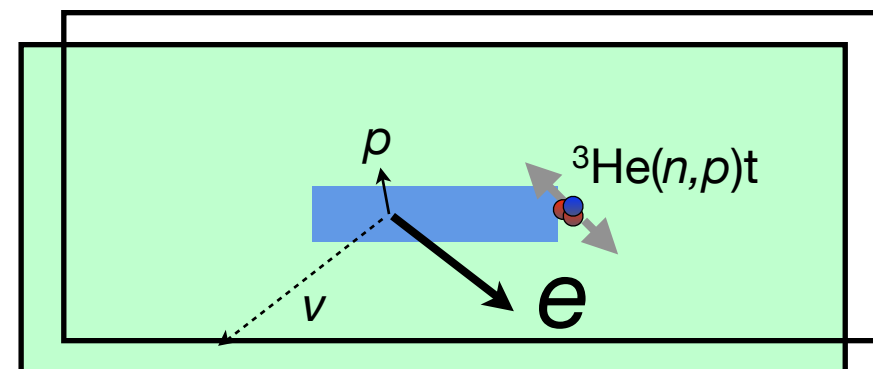
電子 (0~782keV) を直接計数

測定原理 (Kossakowski, 1989)

TPCより短く、速度のそろった
中性子バンチ



バンチがTPC内にある
時間だけ計測



$$\tau_n = \frac{1}{\rho \sigma_0 v_0} \left(\frac{S_n / \epsilon_n}{S_\beta / \epsilon_\beta} \right)$$

β 崩壊数

$$S_\beta = \epsilon_e N \frac{L}{\tau_n v}$$

^3He 反応数

$$S_n = \epsilon_n N \rho \sigma L$$

入射中性子fluxは
 ^3He 吸収反応で
同時測定

τ_n : 中性子寿命

v : 中性子の速度

ϵ_e : 電子の検出効率

ϵ_n : ^3He 吸収反応の検出効率

ρ : ^3He の密度

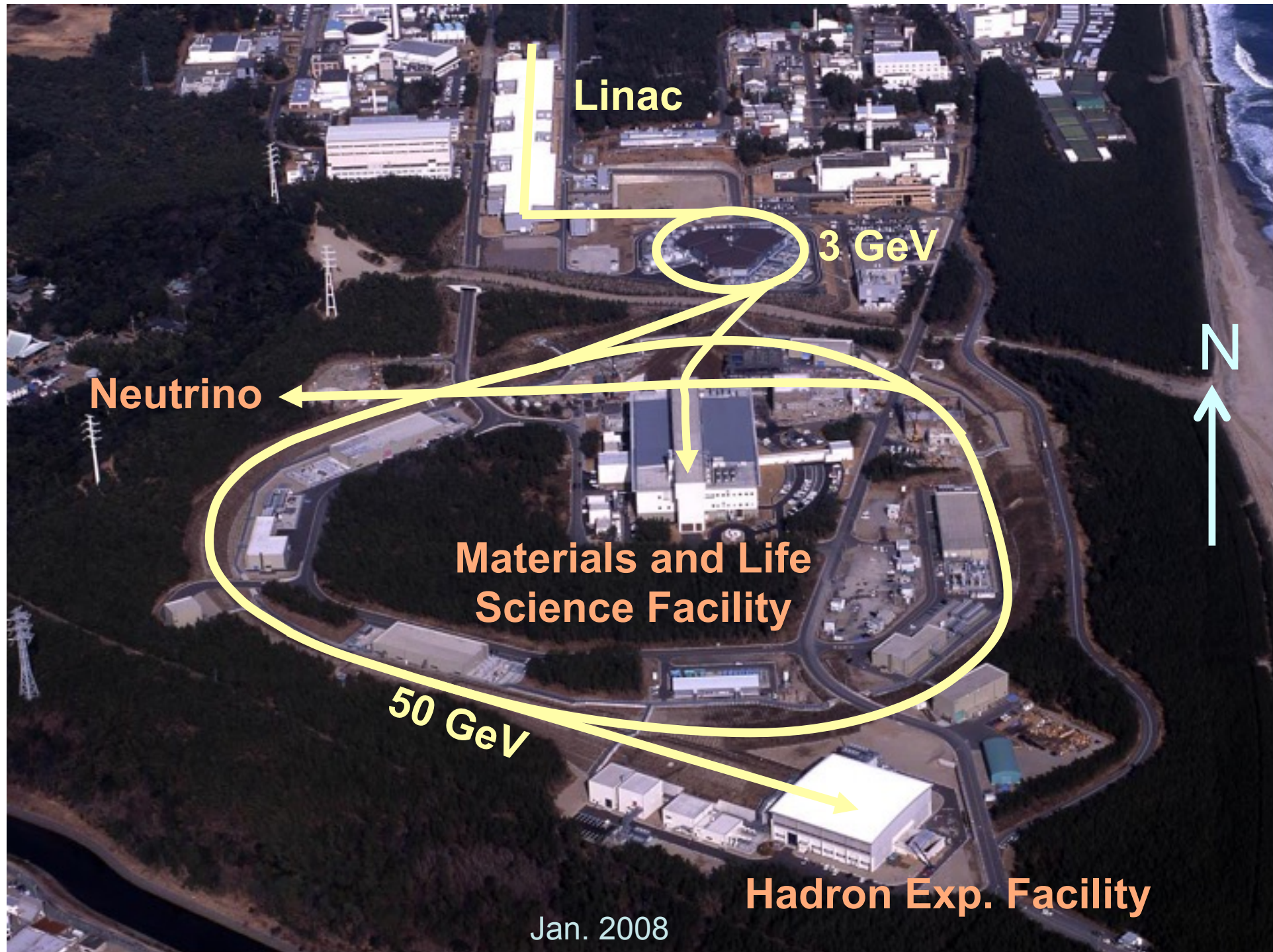
σ : ^3He の中性子吸収断面積

$$\sigma v = \sigma_0 v_0 \quad 2200\text{m/s} \text{の中性子に対する吸収断面積}$$

Flux monitor、wall loss は原理的に起こらない

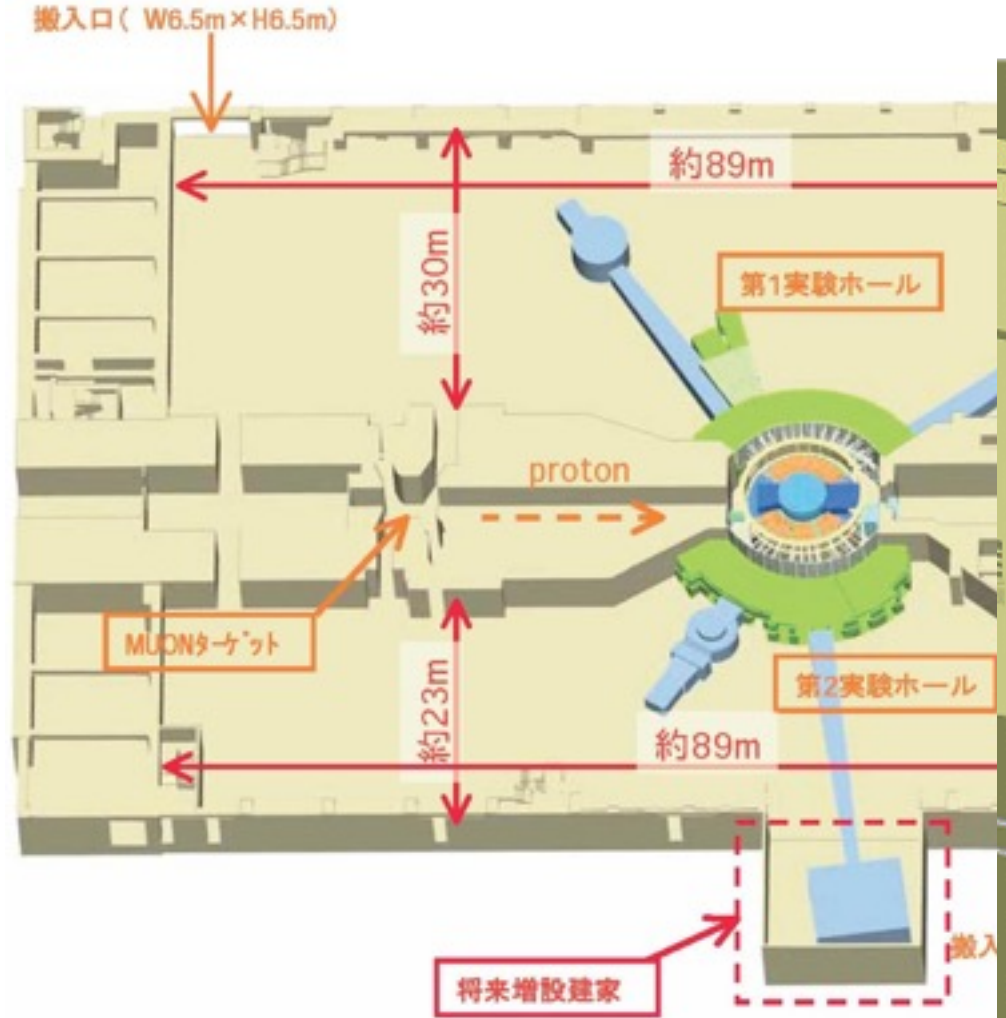
Neutron Lifetime

J-PARC MLF

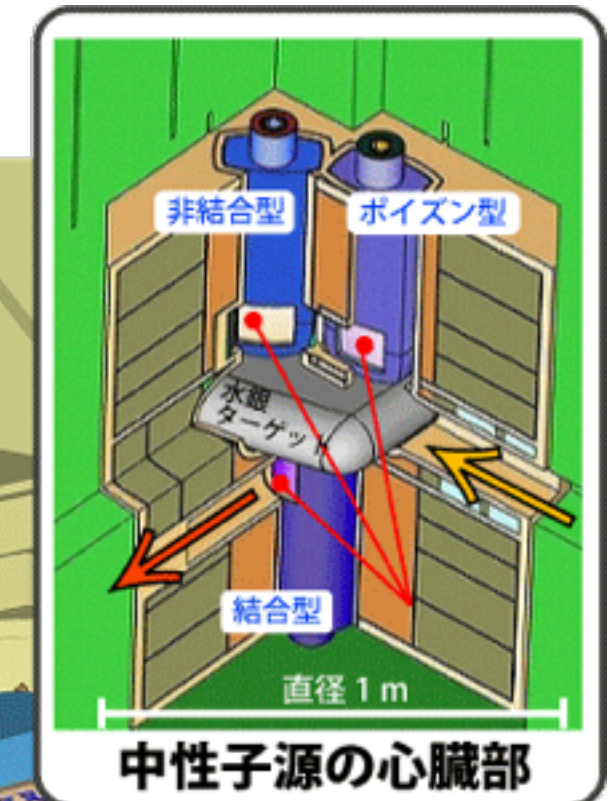
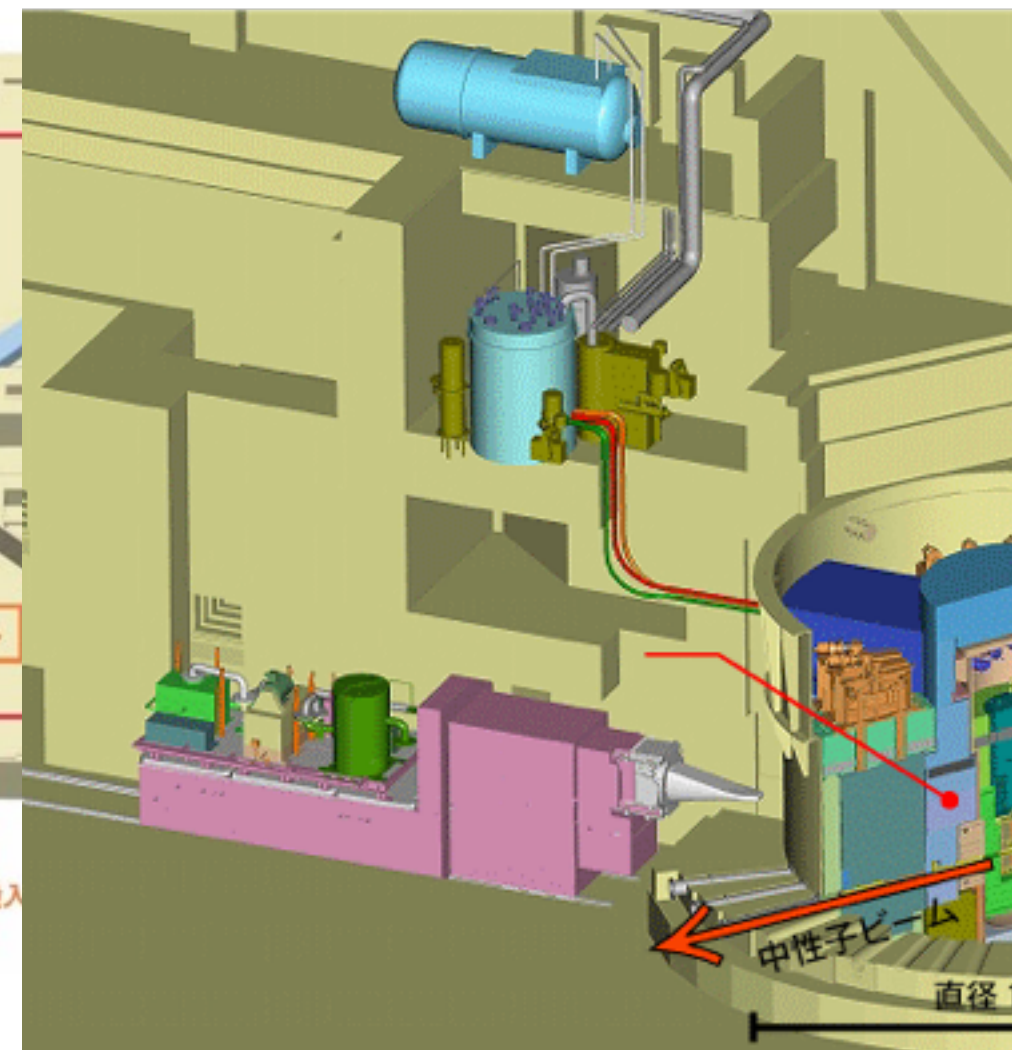


Neutron Lifetime

J-PARC MLF



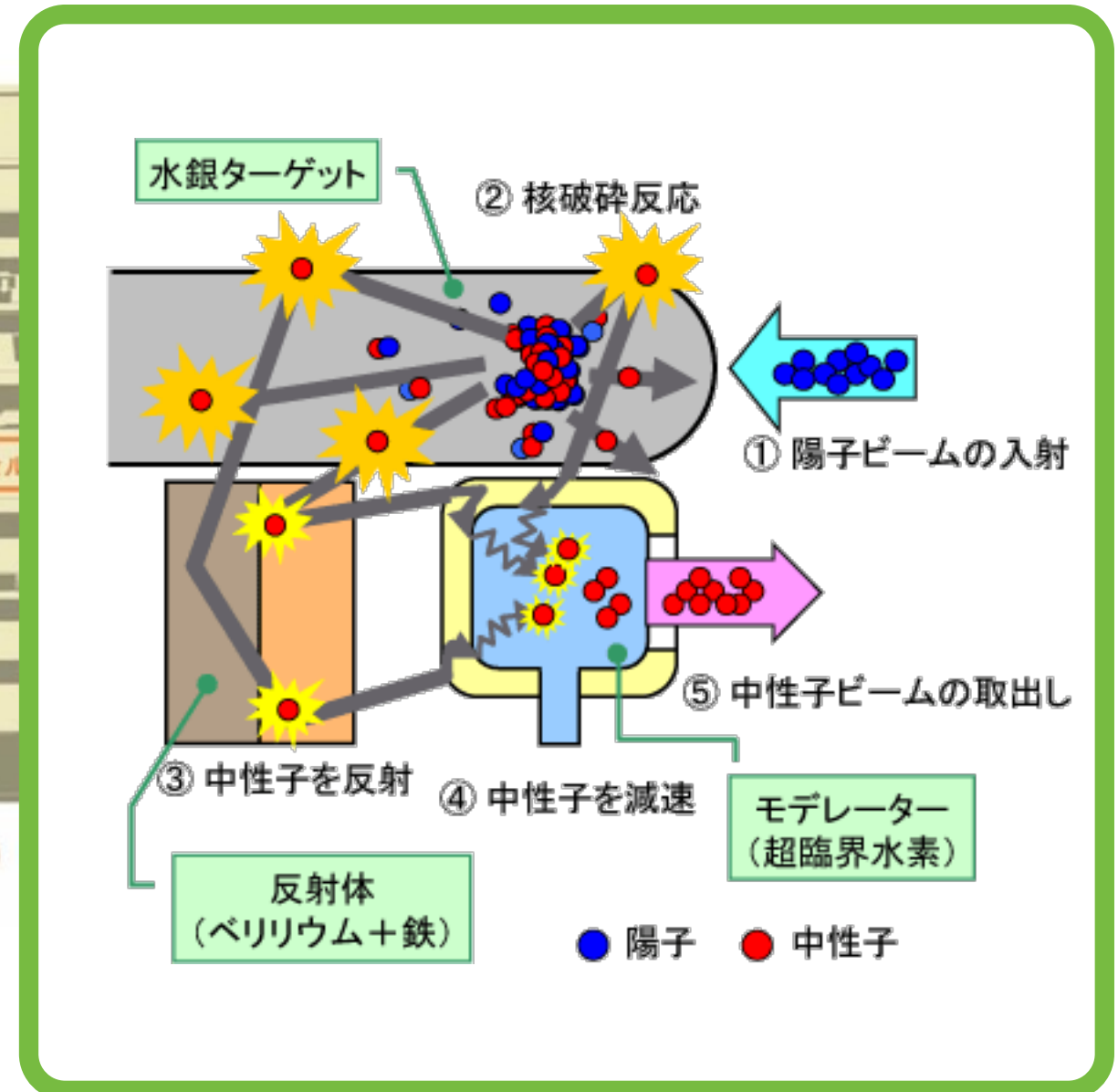
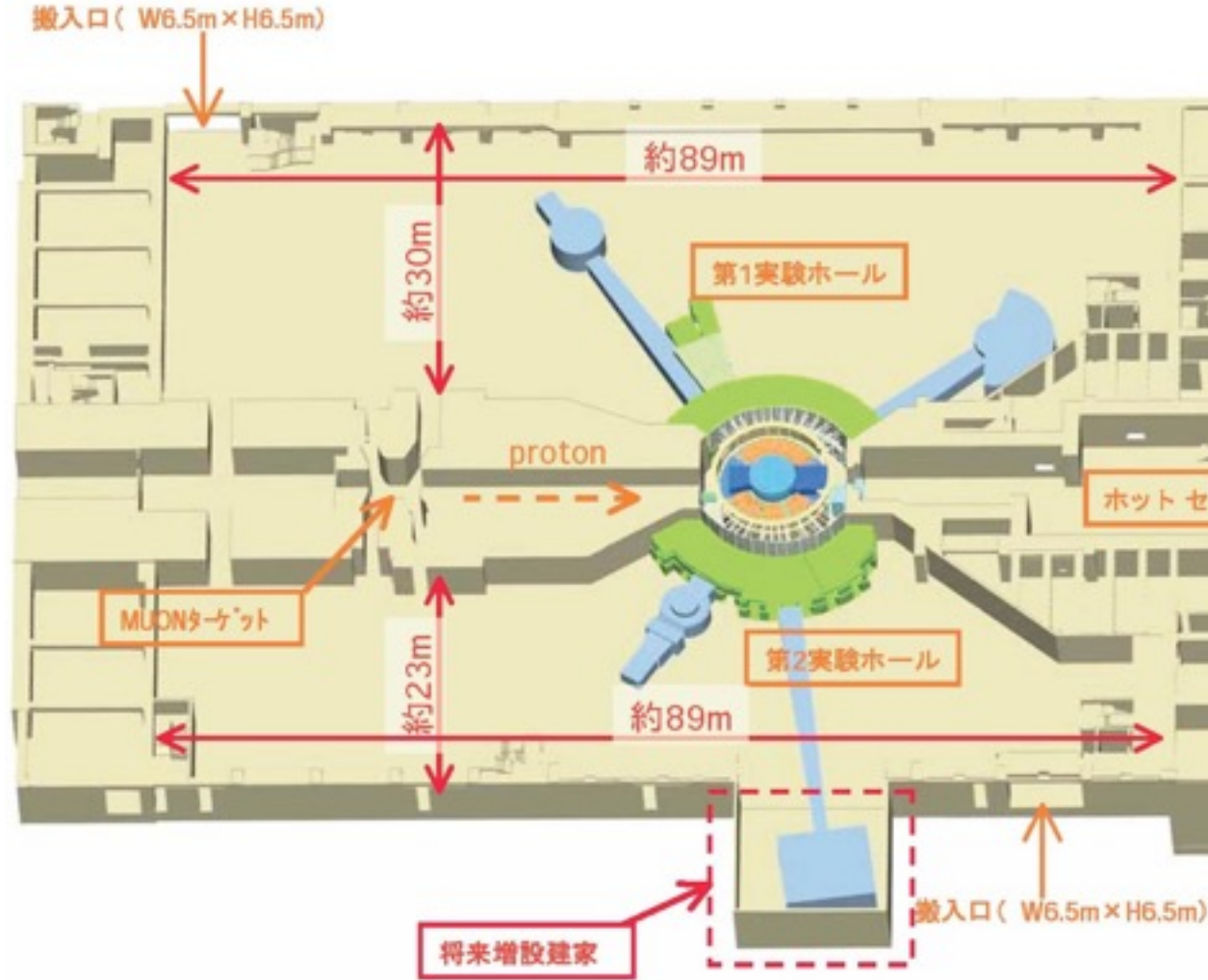
中性子源ステーション



Jan. 2008

Neutron Lifetime

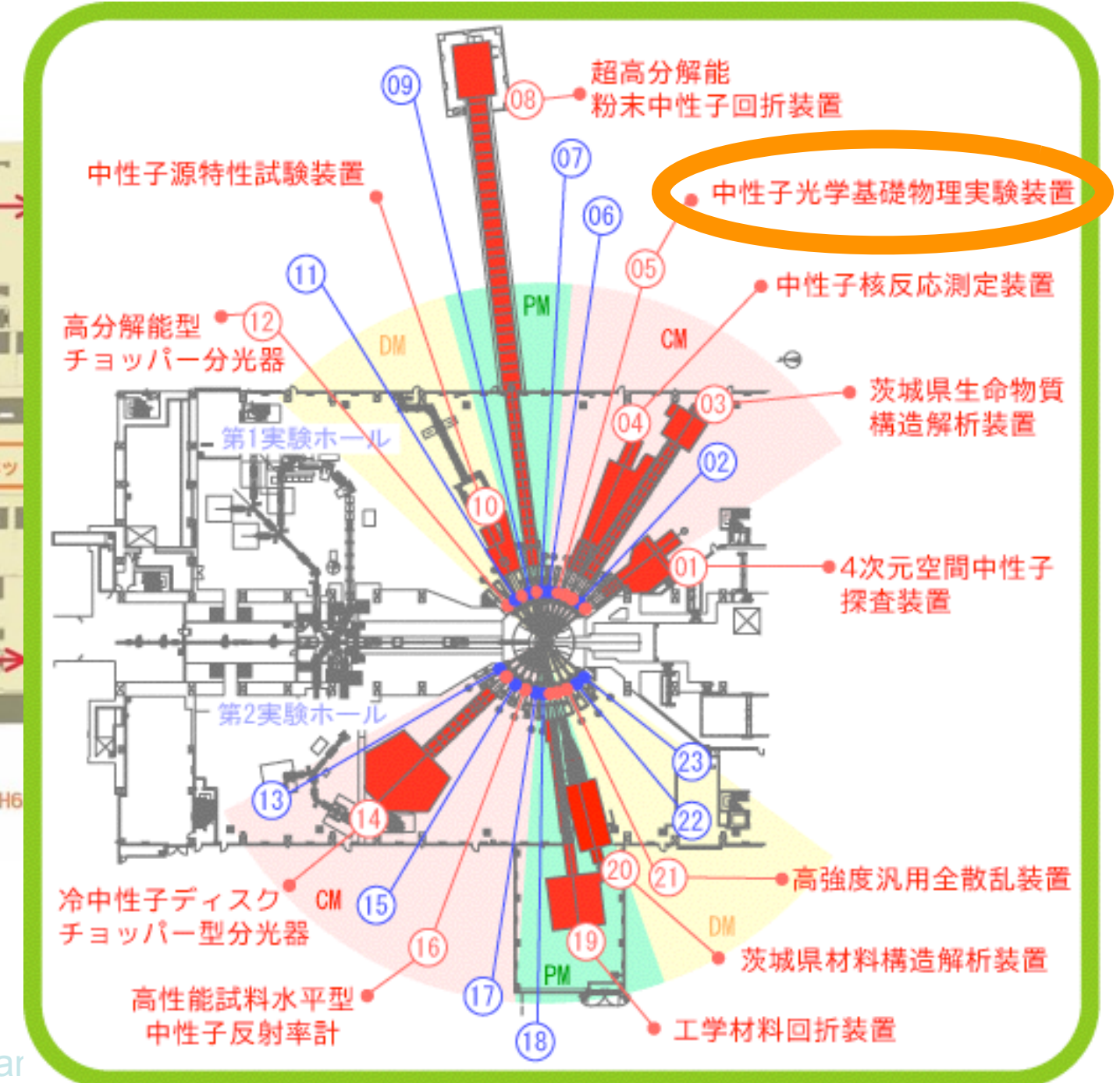
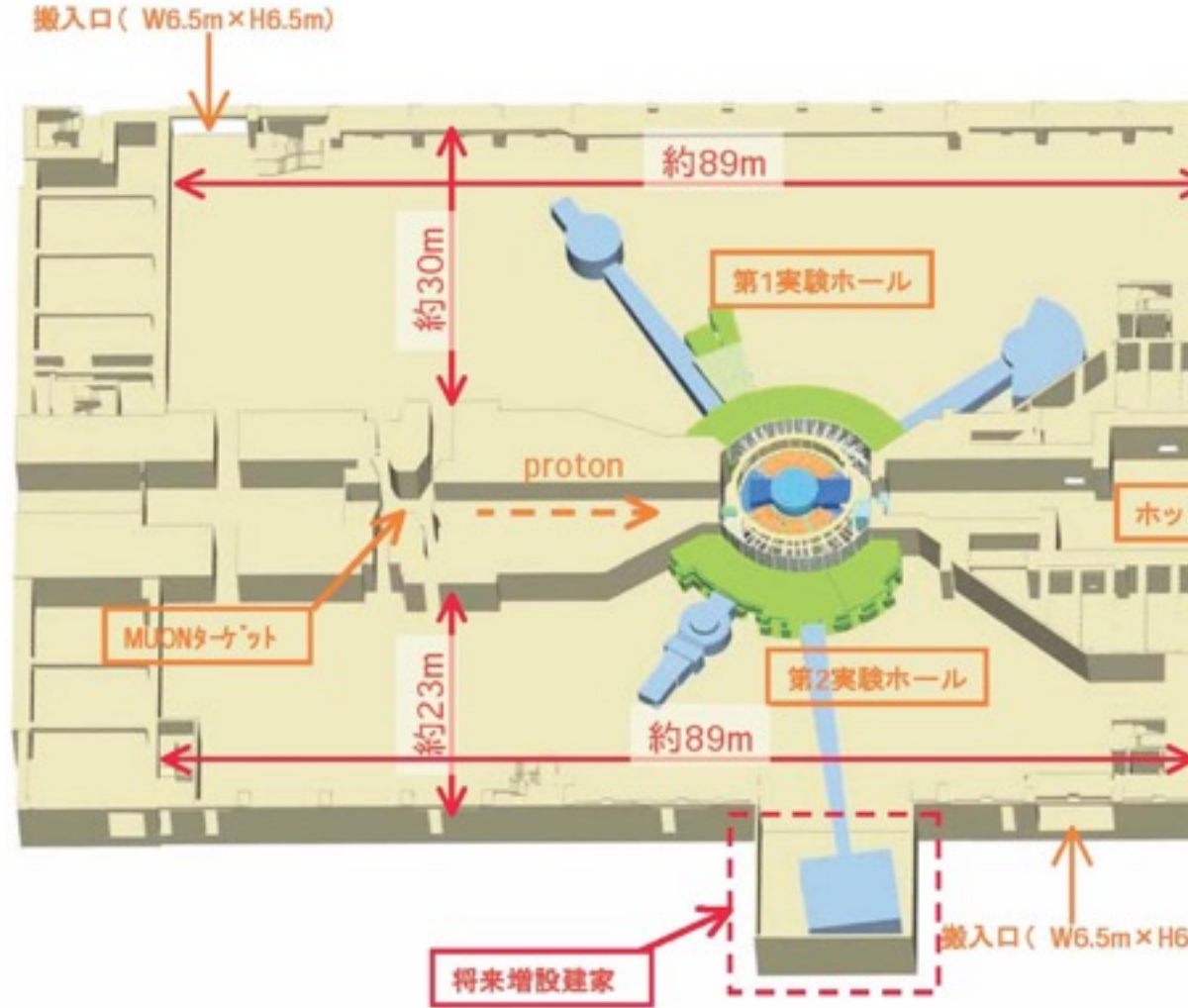
J-PARC MLF



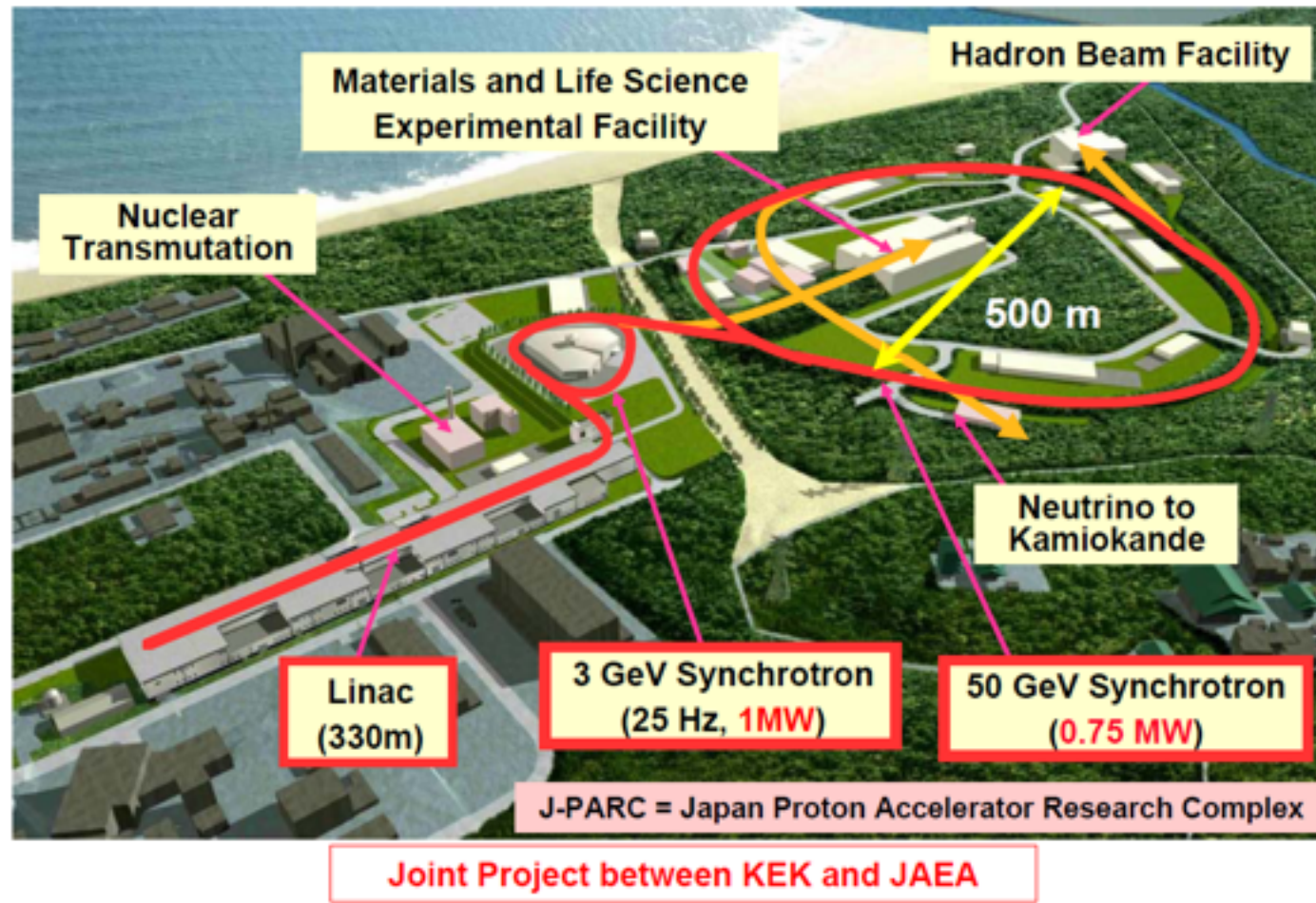
Jan. 2008

Neutron Lifetime

J-PARC MLF



J-PARC パルス中性子を用いた高精度測定



J-PARC

物質生命科学実験施設 (MLF)

ビームライン BL05

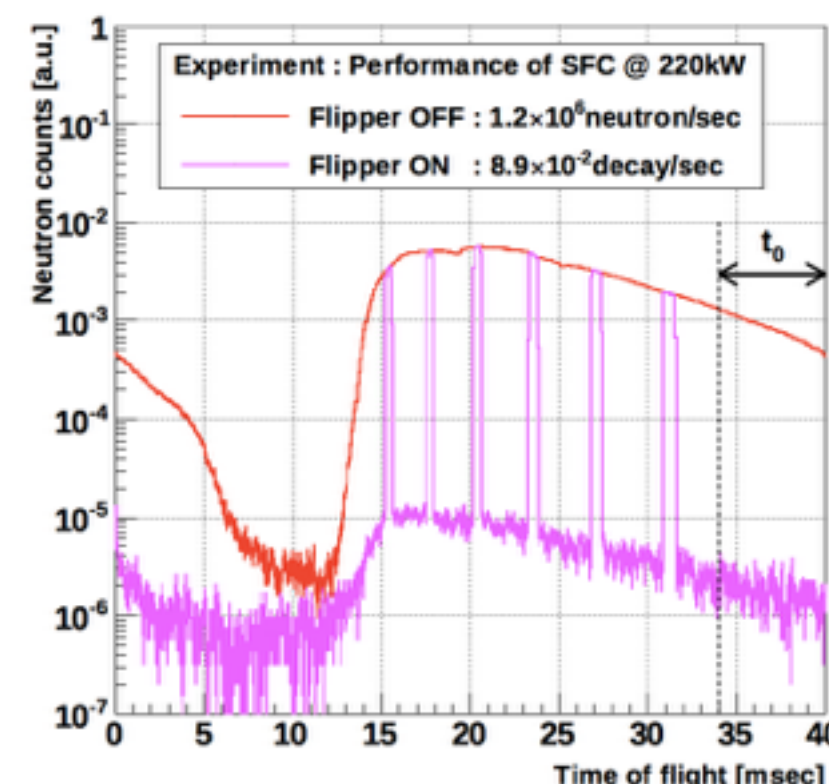
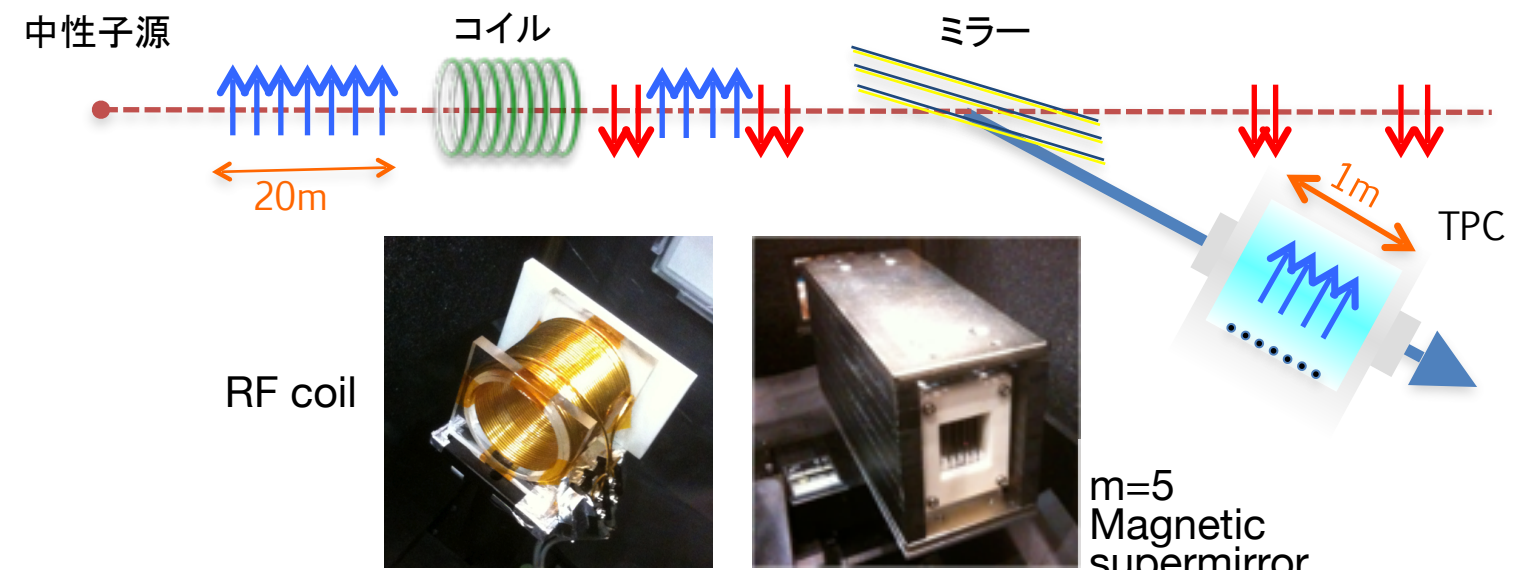
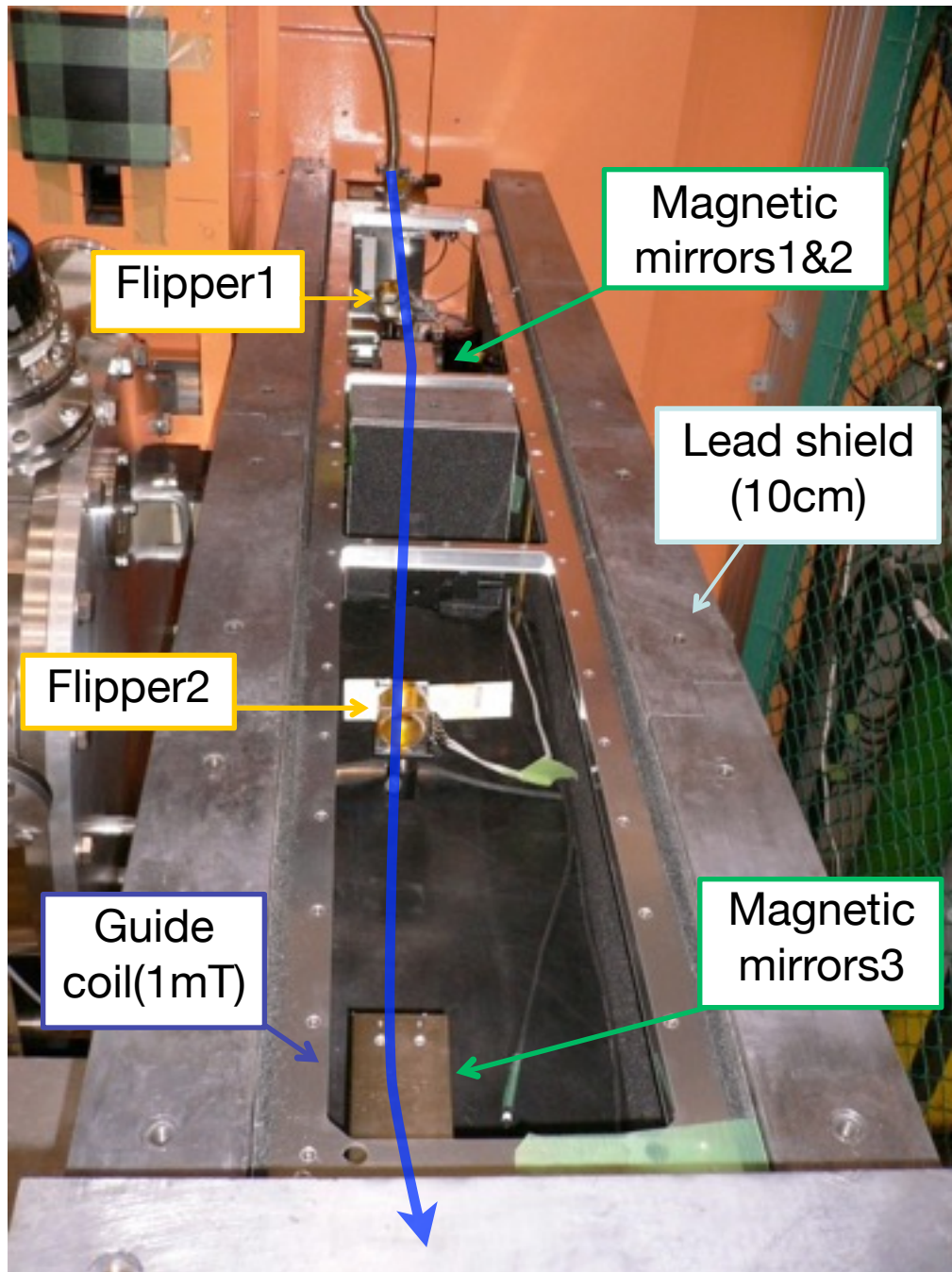
中性子基礎物理ビームライン (NOP)

高偏極ビームブランチに
寿命測定のための機器を配置

J-PARC パルス中性子を用いた高精度測定

スピンフリップチョッパー (SFC)

短く、速度のそろった中性子バンチを作る

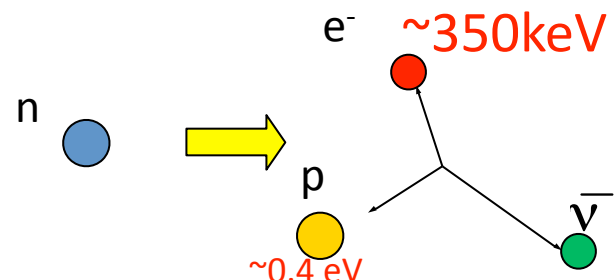


ON/OFF
コントラスト
> 400:1 を達成

Neutron Lifetime

Time projection chamber

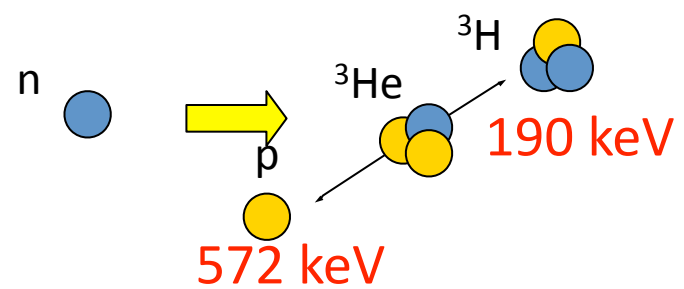
Beta decay



$$N_e = \frac{\epsilon_e t \rho_n}{\tau_n}$$

$\sim 10^{-6}$ decay in 1m
for cold neutron
(1100m/s)

$^3\text{He}(n,p)^3\text{H}$

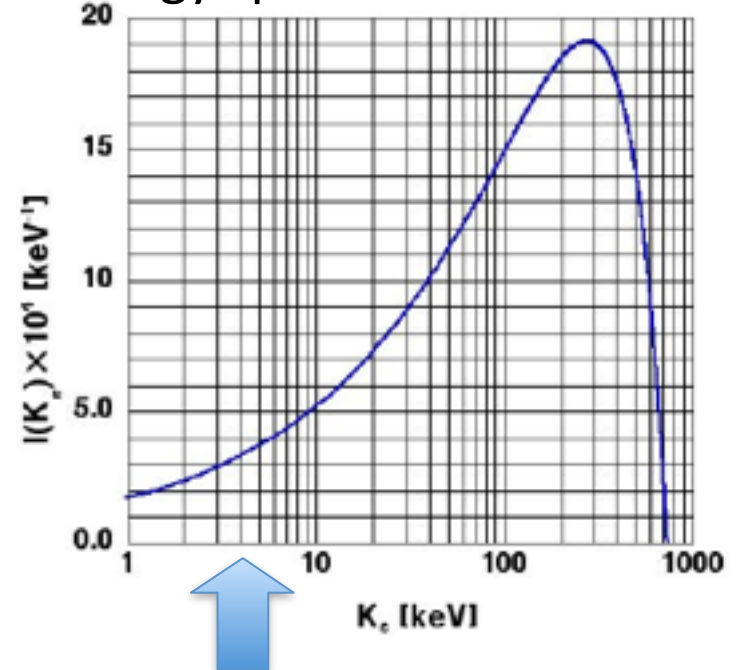


$$N_p = \epsilon_p t \rho_n \rho_{^3\text{He}} \sigma_{^3\text{He}}(\nu_n)$$

$$\sigma_{^3\text{He}}(\nu_n) \nu_n = \sigma_{^3\text{He}}(\nu_0) \nu_0$$

Reaction rate is proportional to $1/\nu$
 β decay $\sim 3.6 \text{ mPa } ^3\text{He}$

Energy spectrum of electron

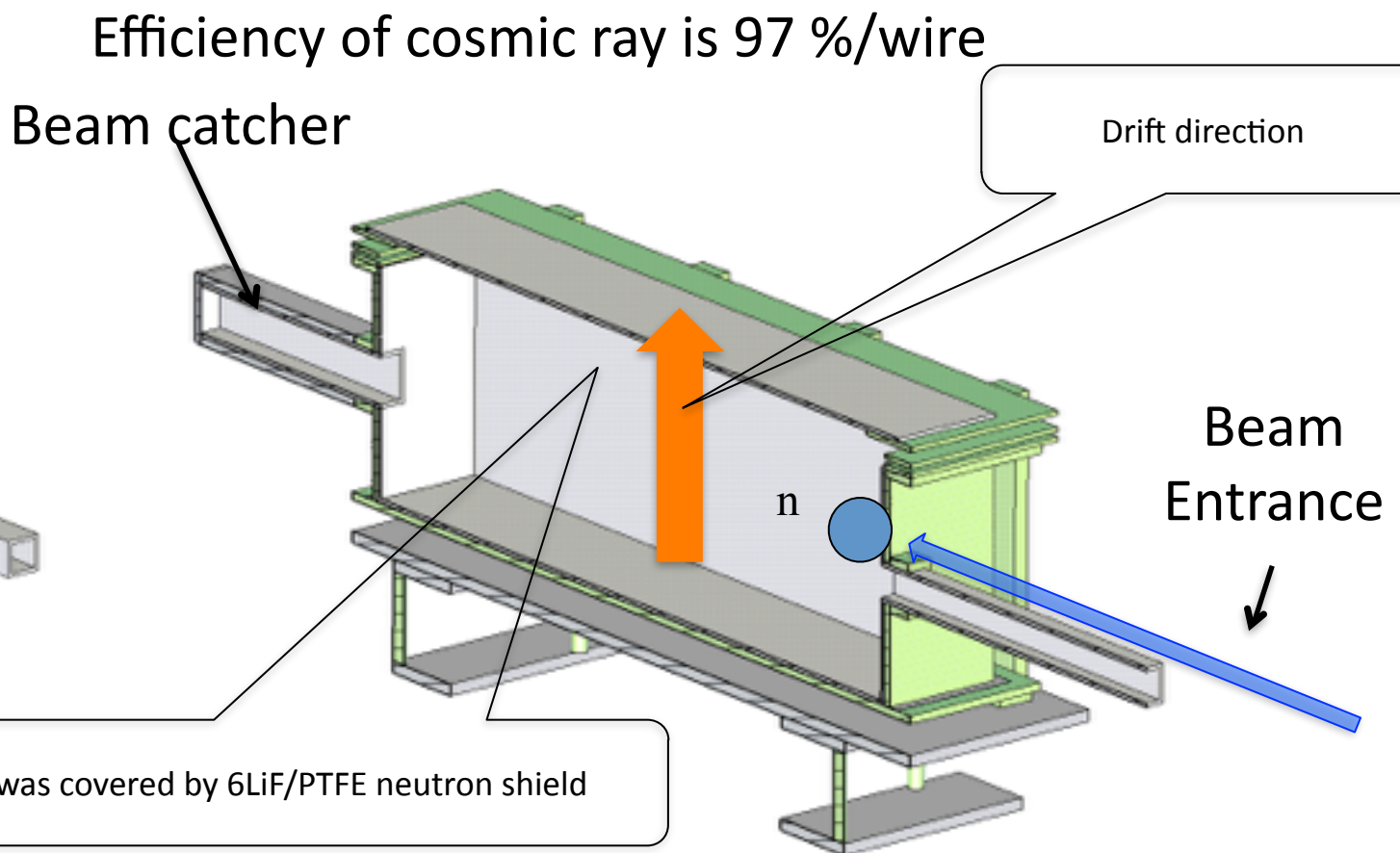
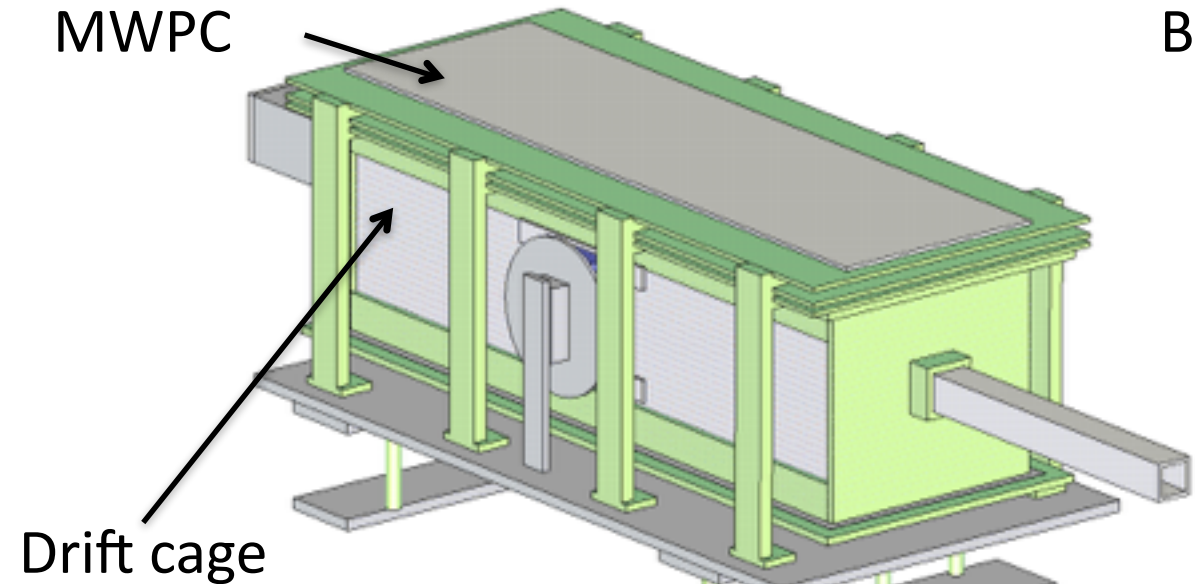


Both of β -decay events and He capture events are detected with high efficiency in a same detector.

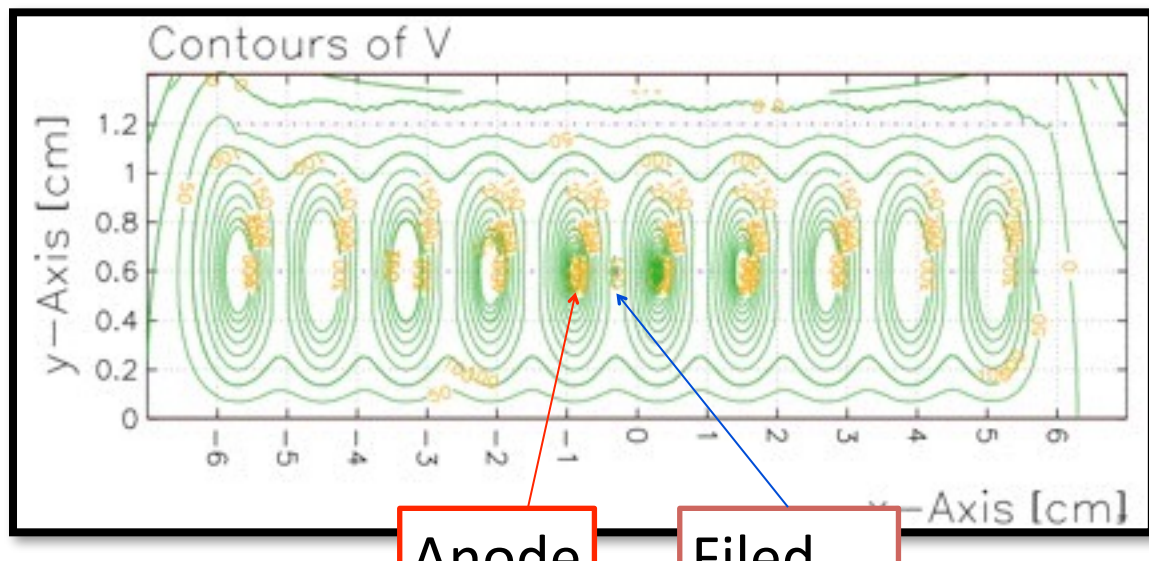
Efficiency 99.9% electron $> 4 \text{ keV}$

Neutron Lifetime

Time projection chamber



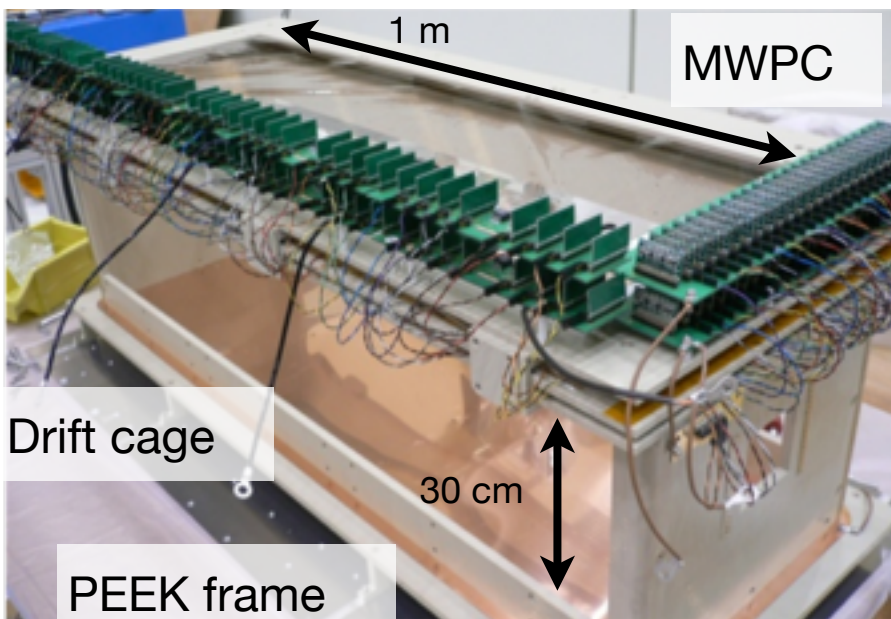
Voltage of MWPC (12 mm pitch)



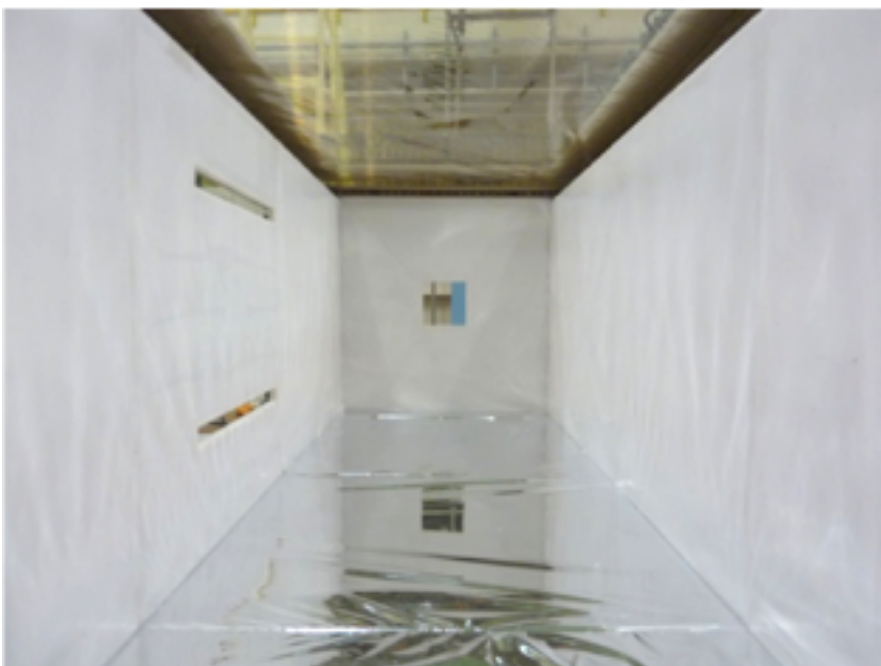
Anode wire	29 of W-Au wires(+1780V)
Field wire	28 of Be-Cu (0V)
Cathode wire	120 of Be-Cu (0V)
Drift length	30 cm (-9000V)
Gas mixture	He:CO ₂ =85kPa:15kPa
TPC size(mm)	300,300,970

J-PARC パルス中性子を用いた高精度測定

タイムプロジェクションチェンバー (TPC)

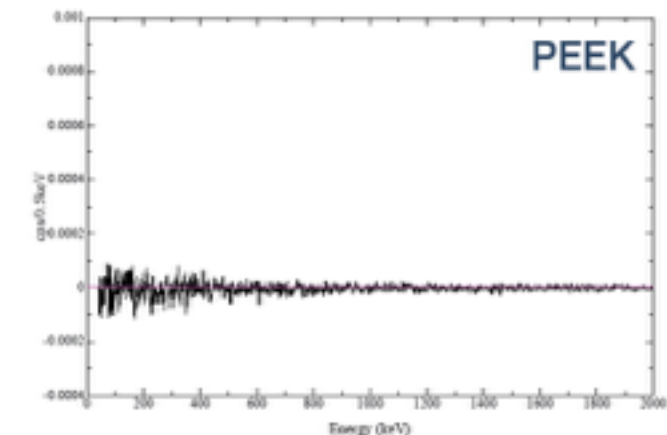
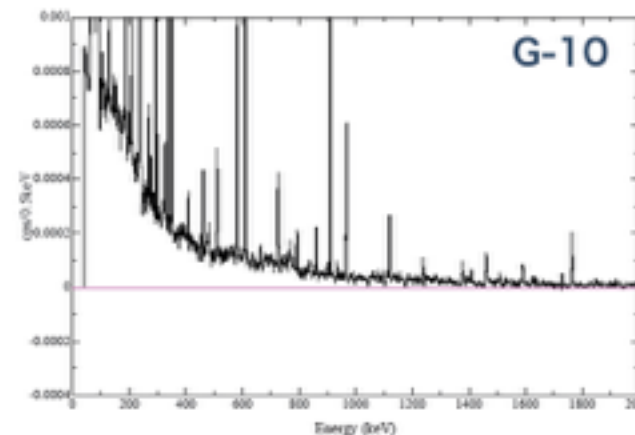


^{6}Li で内部100%覆う
→ビーム起因即発 γ 線BGを低減



崩壊 β 線、 ^{3}He 吸収反応を高効率で同時計数
24本24chのAnode/Field Wireを
120本40chのCathode Wire2層でサンド

PEEK使用 →放射性物質からのBG大幅低減



Veto



S/N ~ 1:1 を達成

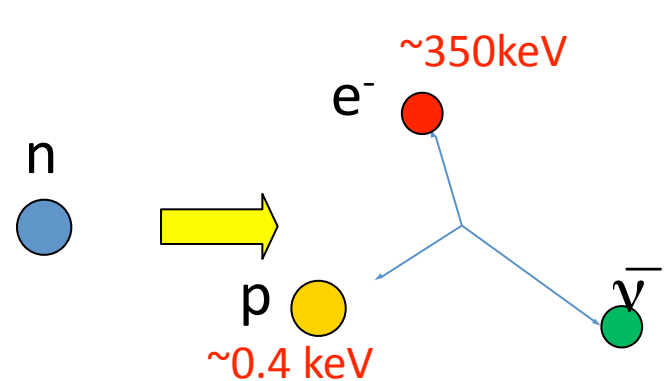
ドリフト速度ばらつき1%以下

高精度測定のための解析手法の開発

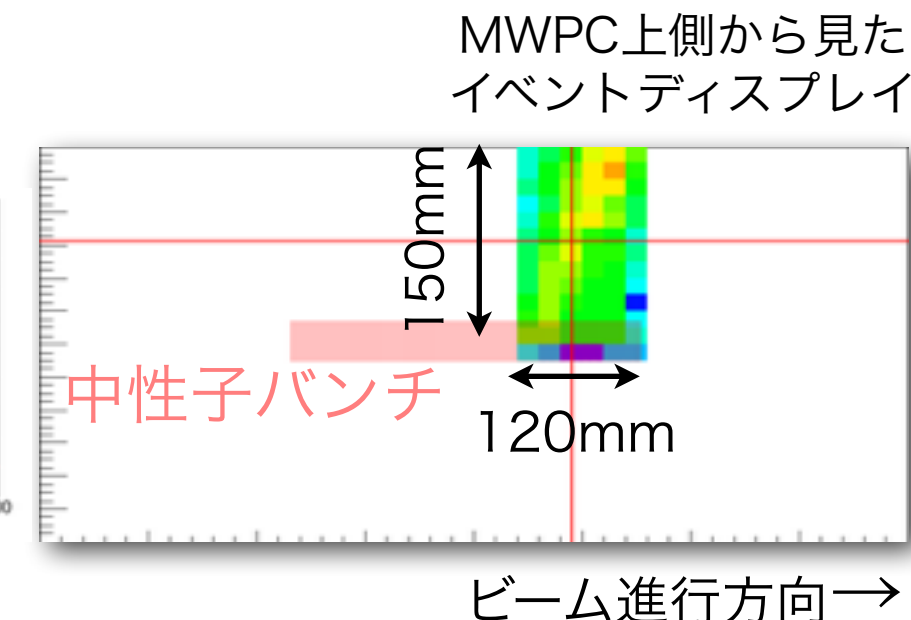
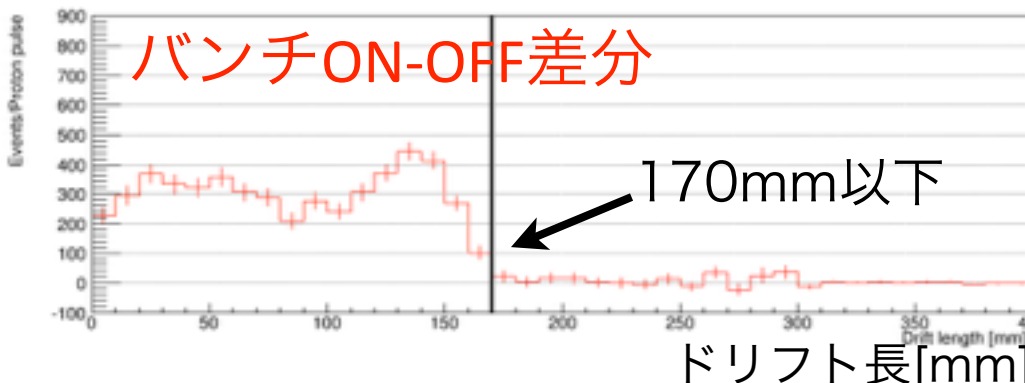
TPCコミッショニングを行い、イベントを確認した

中性子 β 崩壊

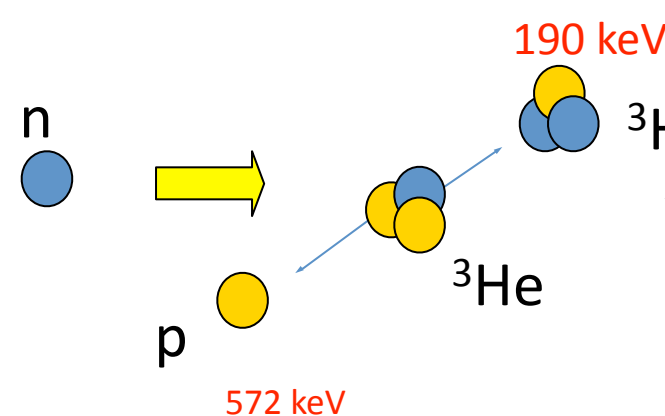
Q valueは 0-782keV の連続分布。Energy depositは 10keV 程度。



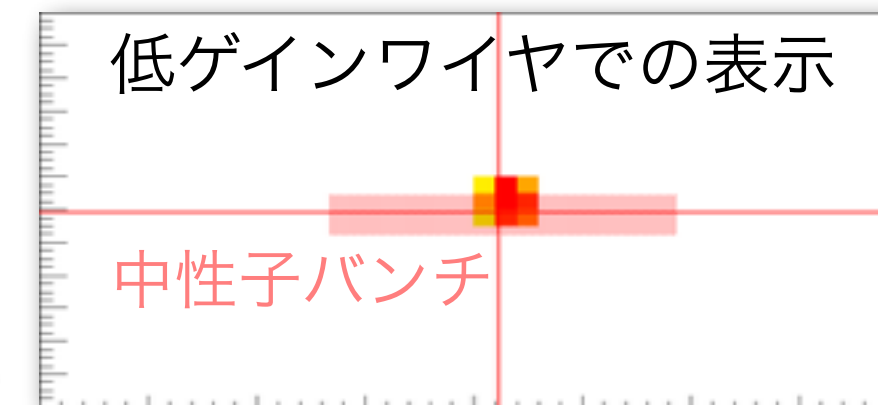
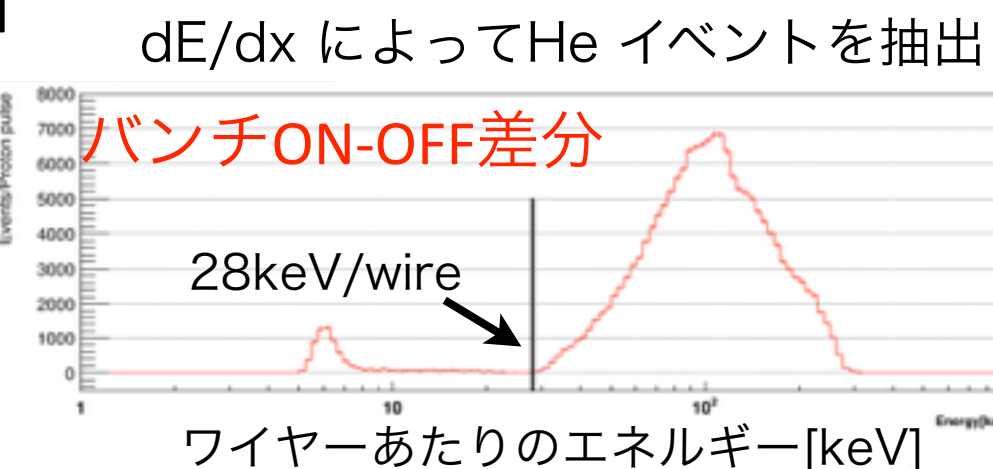
トラック端点の位置など
中性子バンチから発生していることを要請



$^3\text{He}(n,p)^3\text{H}$



Q valueは 762keV(单色)を全てTPCに落とす。100kPaでは飛程 5cm。



高精度測定のための解析手法の開発

TPCコミッショニングを行い、イベントを確認した

シミュレーションでバックグラウンドを含んだイベントを作成

イベント形状、スペクトルなどを評価し、（ビーム起因）バックグラウンドの含有率を推定。 β 崩壊イベントの量を見積もる
→測定の妥当性の評価に用いることができる、系統誤差はO(1%)まで

Data driven のイベント抽出による解析で、精度O(0.1%)へ

ガス圧の違うランなど複数の測定を組み合わせてバックグラウンドを除去しイベントを抽出。

→バックグラウンドを（シミュレーションに依らずに）引き算できる
系統誤差はO(0.1%)まで下げるこことを目指している

有効相互作用理論の精査 (中性子β崩壊角相関項)

名大・理研・KEK

$$w dE_e d\Omega_e d\Omega_{\bar{\nu}_e} = \frac{1}{(2\pi)^5} p_e E_e (E_0 - E_e)^2 dE_e d\Omega_e d\Omega_{\bar{\nu}_e} \xi$$

$$\times \left[1 + a \frac{\mathbf{p}_e \cdot \mathbf{p}_{\bar{\nu}_e}}{E_e E_{\bar{\nu}_e}} + b \frac{m_e}{E_e} + \frac{\mathbf{J}}{J} \cdot \left(A \frac{\mathbf{p}_e}{E_e} + B \frac{\mathbf{p}_{\bar{\nu}_e}}{E_{\bar{\nu}_e}} + D \frac{\mathbf{p}_e \times \mathbf{p}_{\bar{\nu}_e}}{E_e E_{\bar{\nu}_e}} \right) \right]$$

$$a = \frac{1 - |\lambda|^2}{1 + 3|\lambda|^2}, \quad b = 0, \quad A = -2 \frac{|\lambda| \cos \phi + |\lambda|^2}{1 + 3|\lambda|^2}, \quad B = -2 \frac{|\lambda| \cos \phi - |\lambda|^2}{1 + 3|\lambda|^2}, \quad D = 2 \frac{|\lambda| \sin \phi}{1 + 3|\lambda|^2}$$

標準理論の高精度検証

寿命と合わせて CKM行列のUnitarityを検証 $|V_{ud}|^2 = \frac{1}{\tau_n} \frac{(4908.7 \pm 1.9) \text{ s}}{(1 + 3\lambda^2)}$

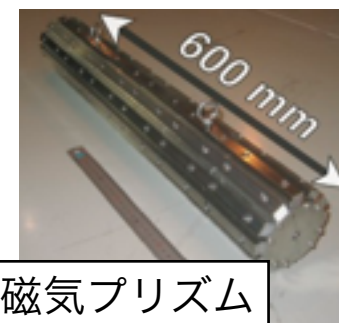
→ A項：中性子スピンと電子の運動量

入射中性子の **偏極を10⁻⁴の精度 + 大強度化**

Next Leading Order項の測定

→ a項：陽子のエネルギースペクトル

陽子エネルギー測定のための **超電導検出器**



磁気プリズム

標準理論を超える物理の探索

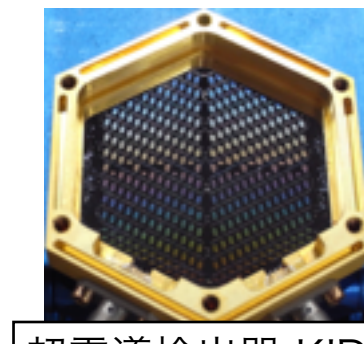
新物理は、標準理論と異なる依存性がNLOに現れる

→ B項：ニュートリノ非対称度

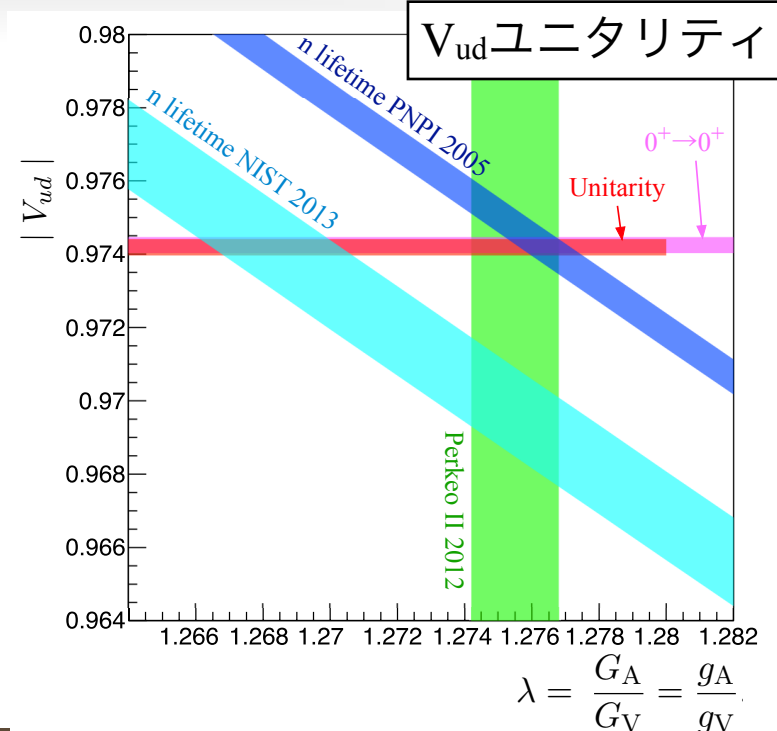
D項は標準理論ではゼロ、時間反転対称性を破る

→ D項：ベクトル三重積

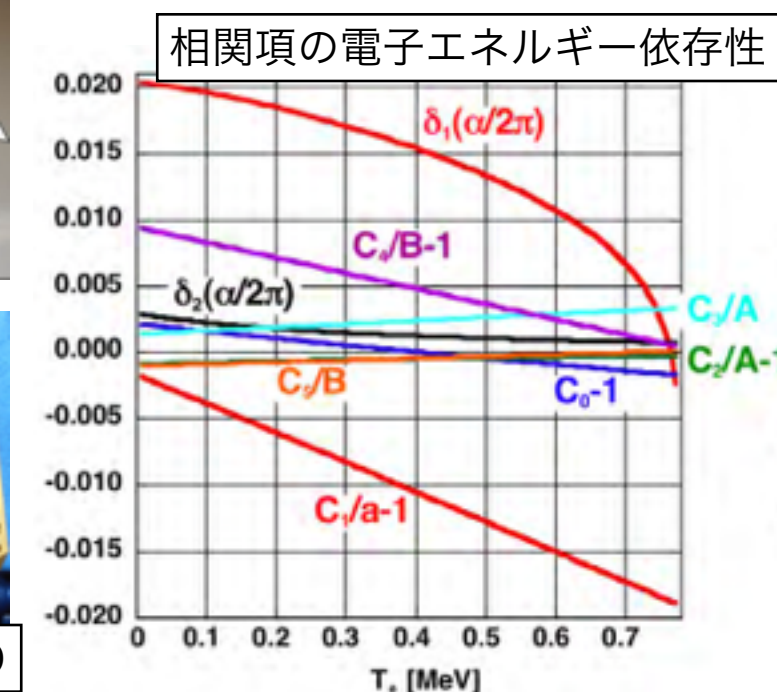
電子・陽子の運動量測定と中性子バンチによる崩壊点決定で三体崩壊を完全に決定できる



超電導検出器 KID



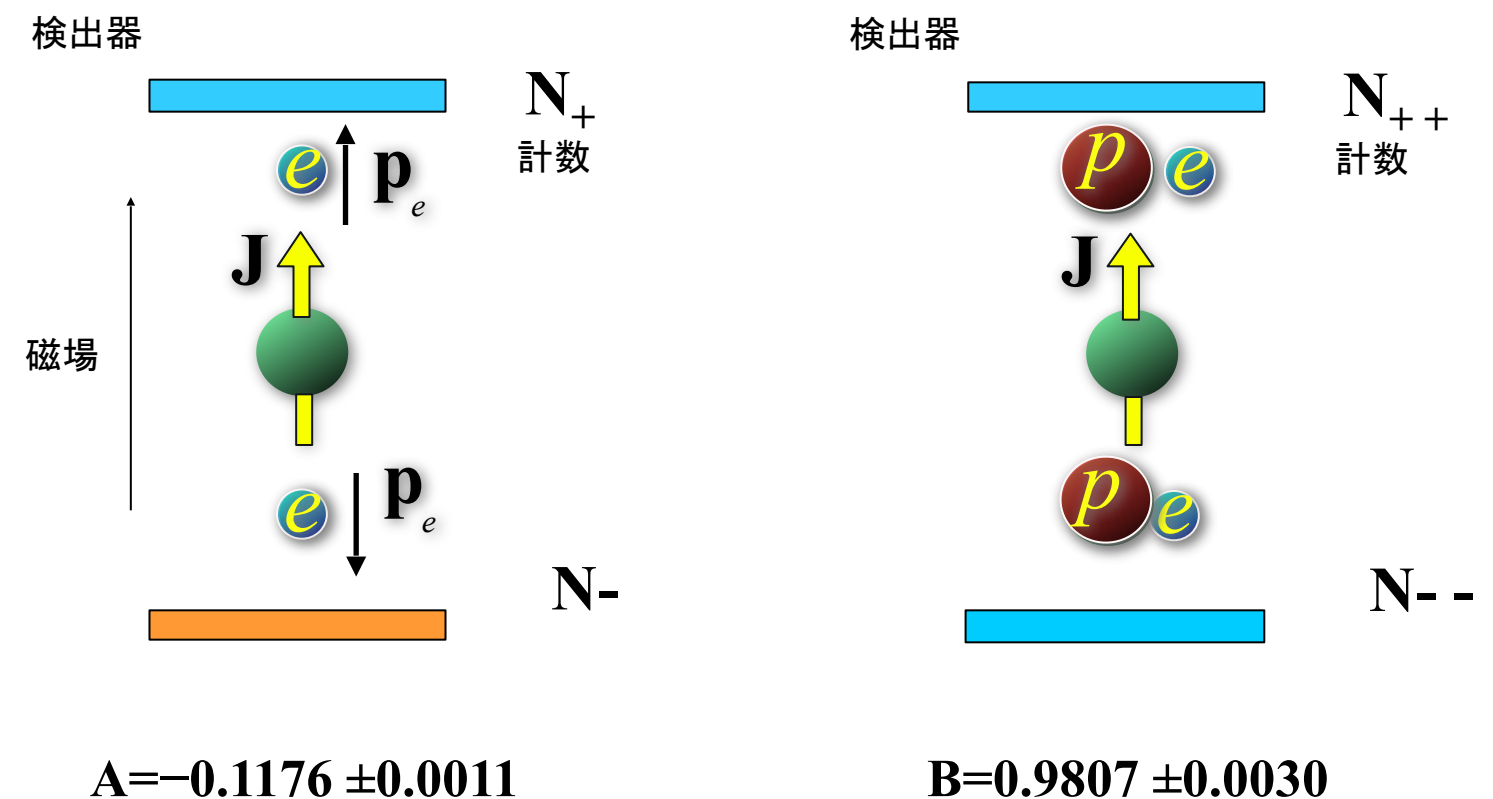
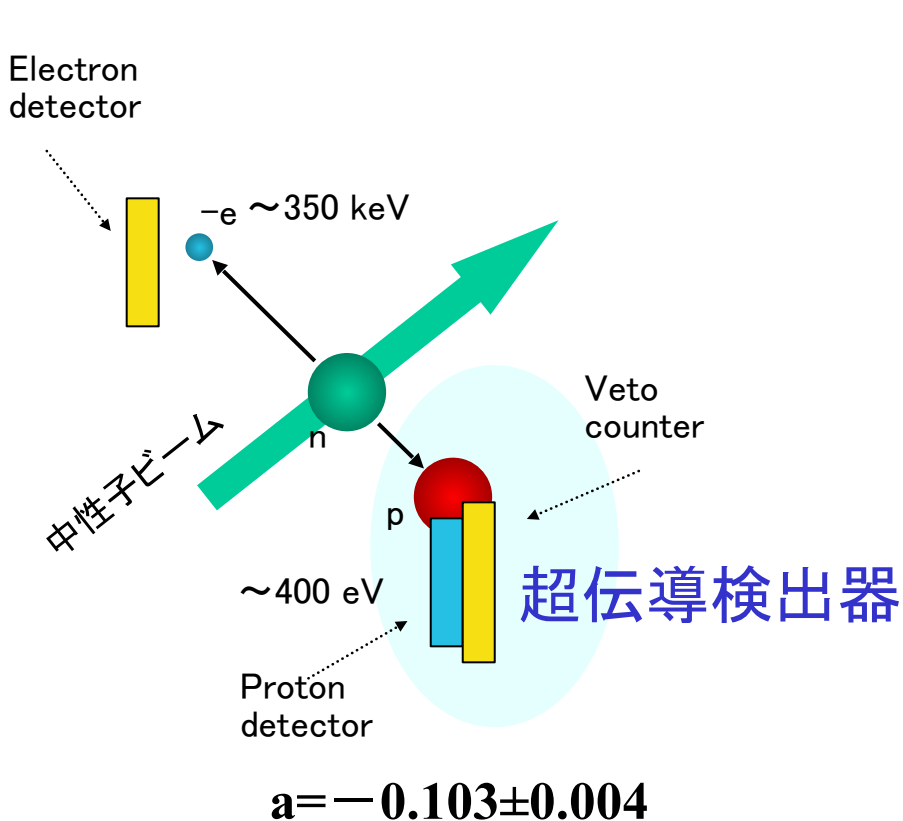
$$\lambda = \frac{G_A}{G_V} = \frac{g_A}{g_V}$$



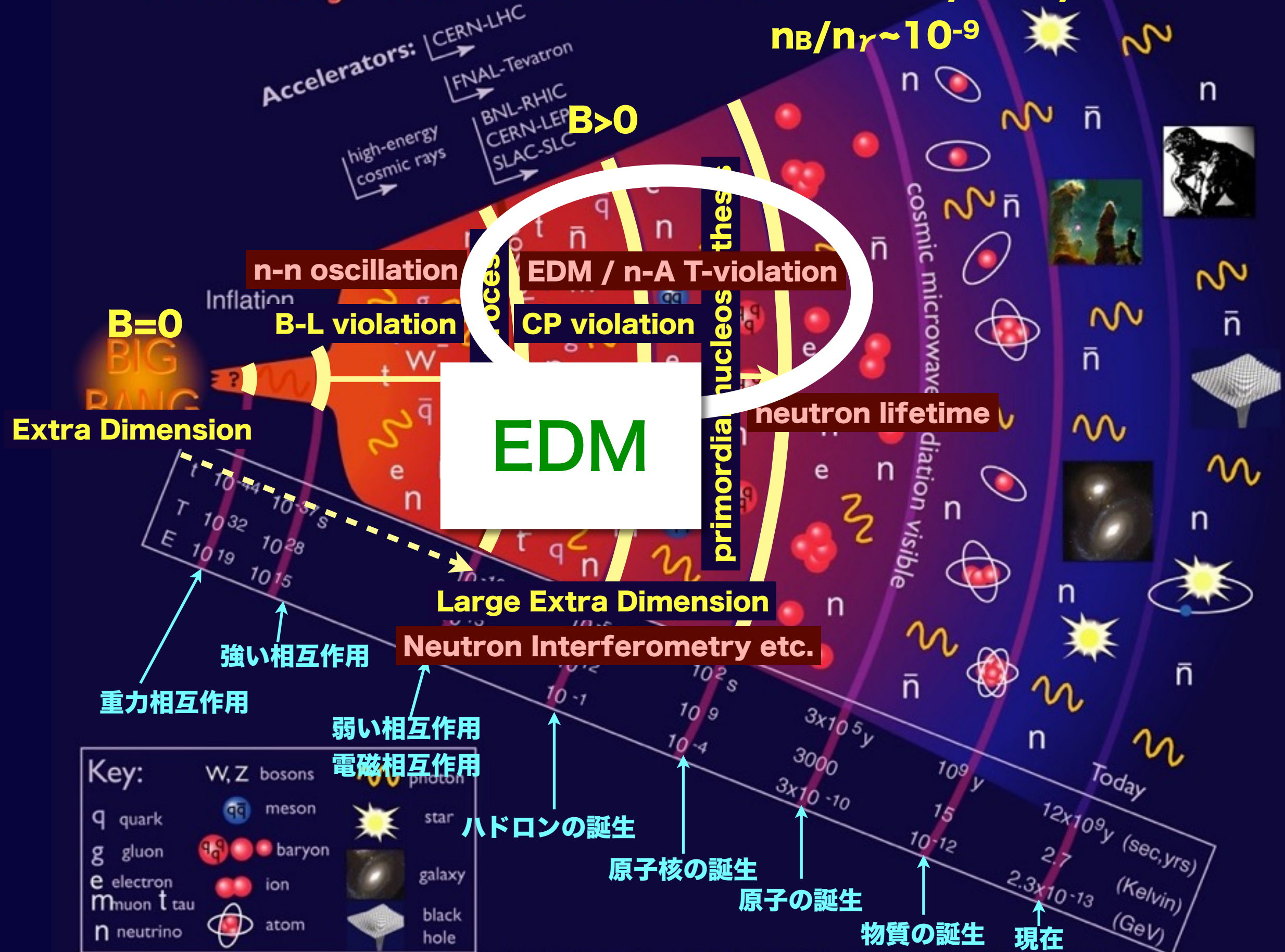
$$dN \propto \left[1 + a \frac{\mathbf{p}_e \cdot \mathbf{p}_{\bar{\nu}}}{E_e \cdot E_{\bar{\nu}}} + \frac{\mathbf{J}}{J} \cdot \left(A \frac{\mathbf{p}_e}{E_e} + B \frac{\mathbf{p}_{\bar{\nu}}}{E_{\bar{\nu}}} + D \frac{\mathbf{p}_e \times \mathbf{p}_{\bar{\nu}}}{E_e E_{\bar{\nu}}} \right) + \dots \right]$$

$$a = \frac{1 - |\lambda|^2}{1 + 3|\lambda|^2} \quad A = -2 \frac{|\lambda| \cos \phi + |\lambda|^2}{1 + 3|\lambda|^2} \quad B = -2 \frac{|\lambda| \cos \phi - |\lambda|^2}{1 + 3|\lambda|^2} \quad D = 2 \frac{|\lambda| \sin \phi}{1 + 3|\lambda|^2}$$

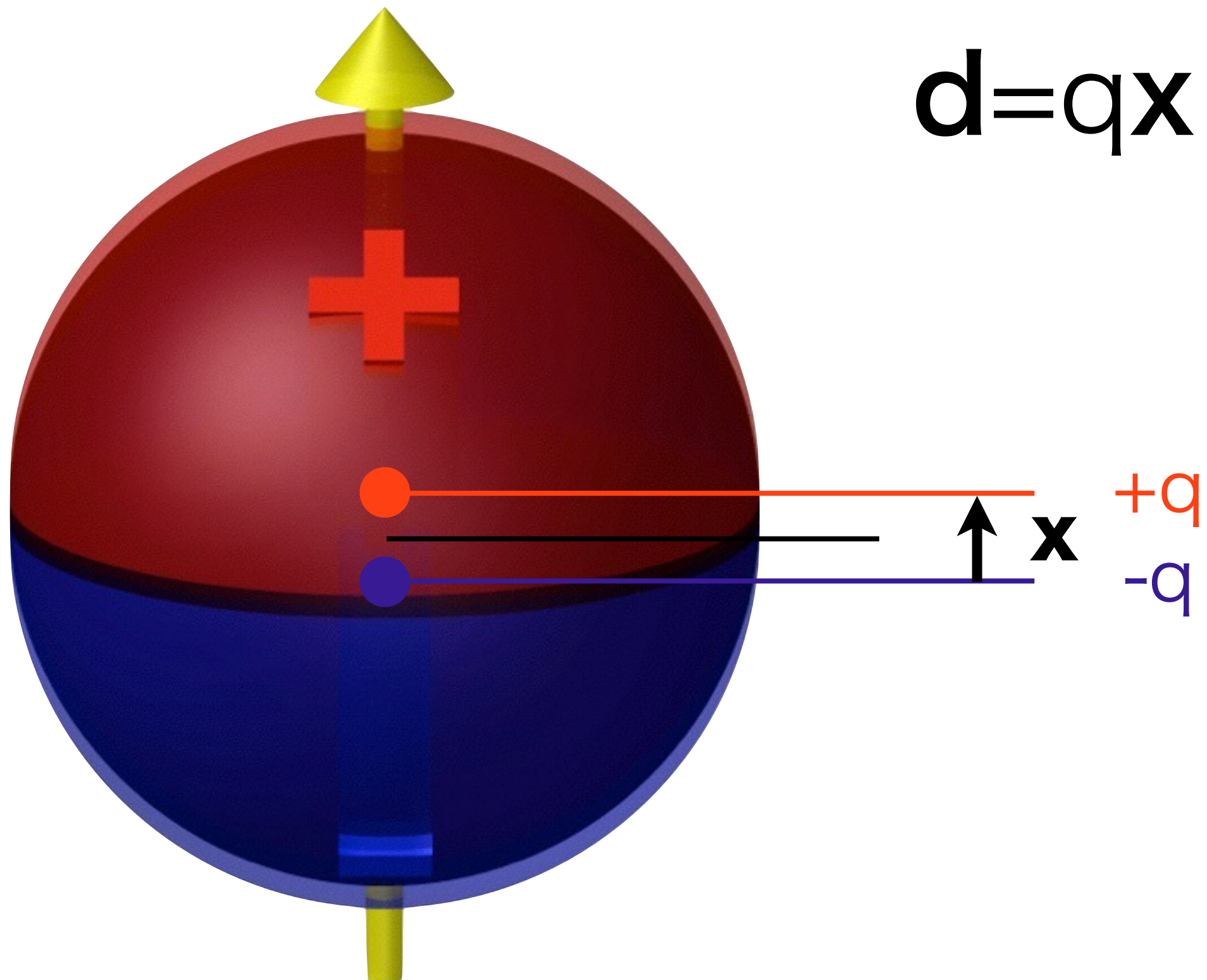
$$\tau = \frac{K / \ln 2}{V_{ud}^2 G_F^2 (1 + \lambda^2) f}$$



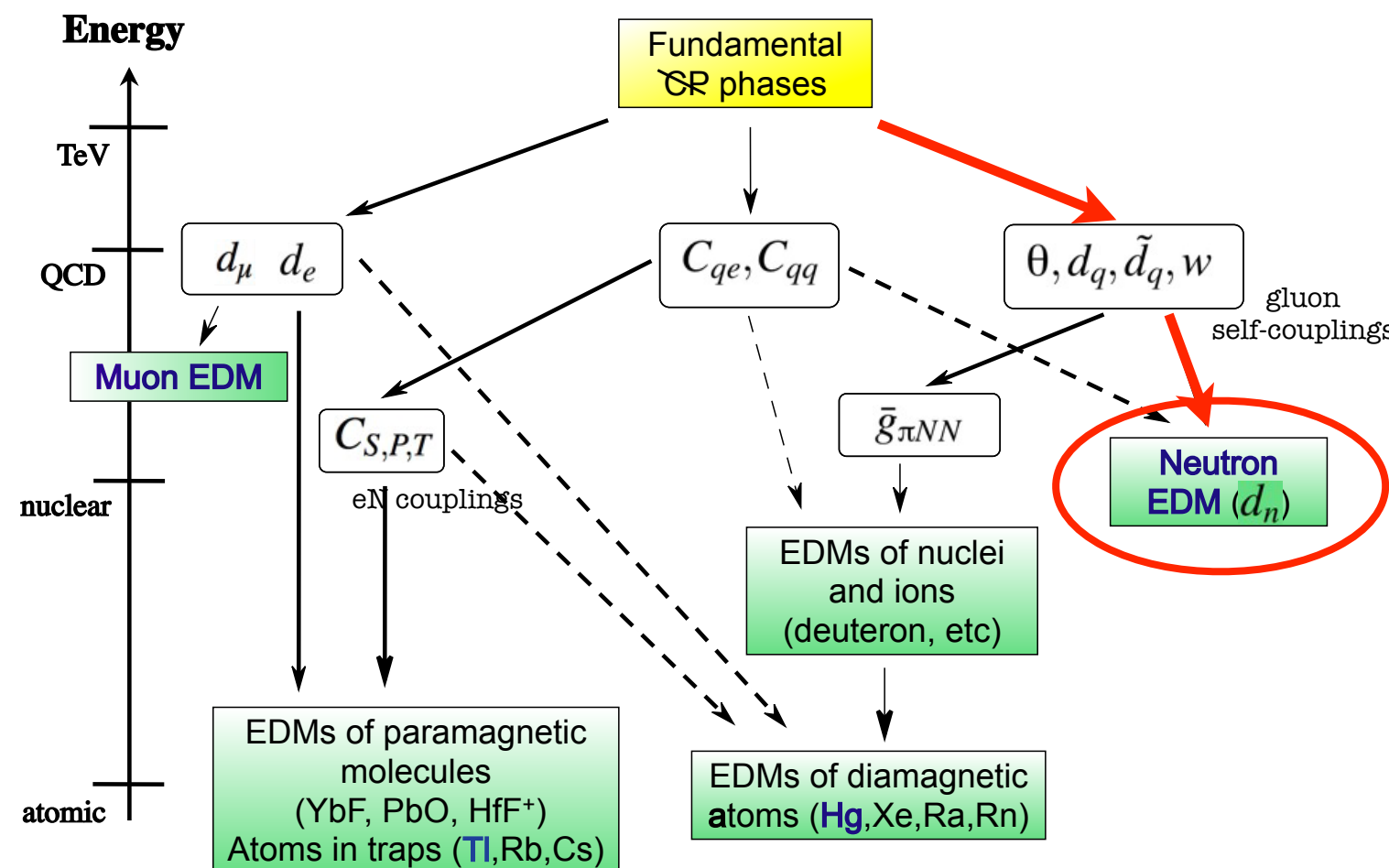
History of the Universe



Neutron EDM



Neutron EDM



Present upper limit

$$|d_n| < 2.9 \times 10^{-26} e \text{ cm}$$

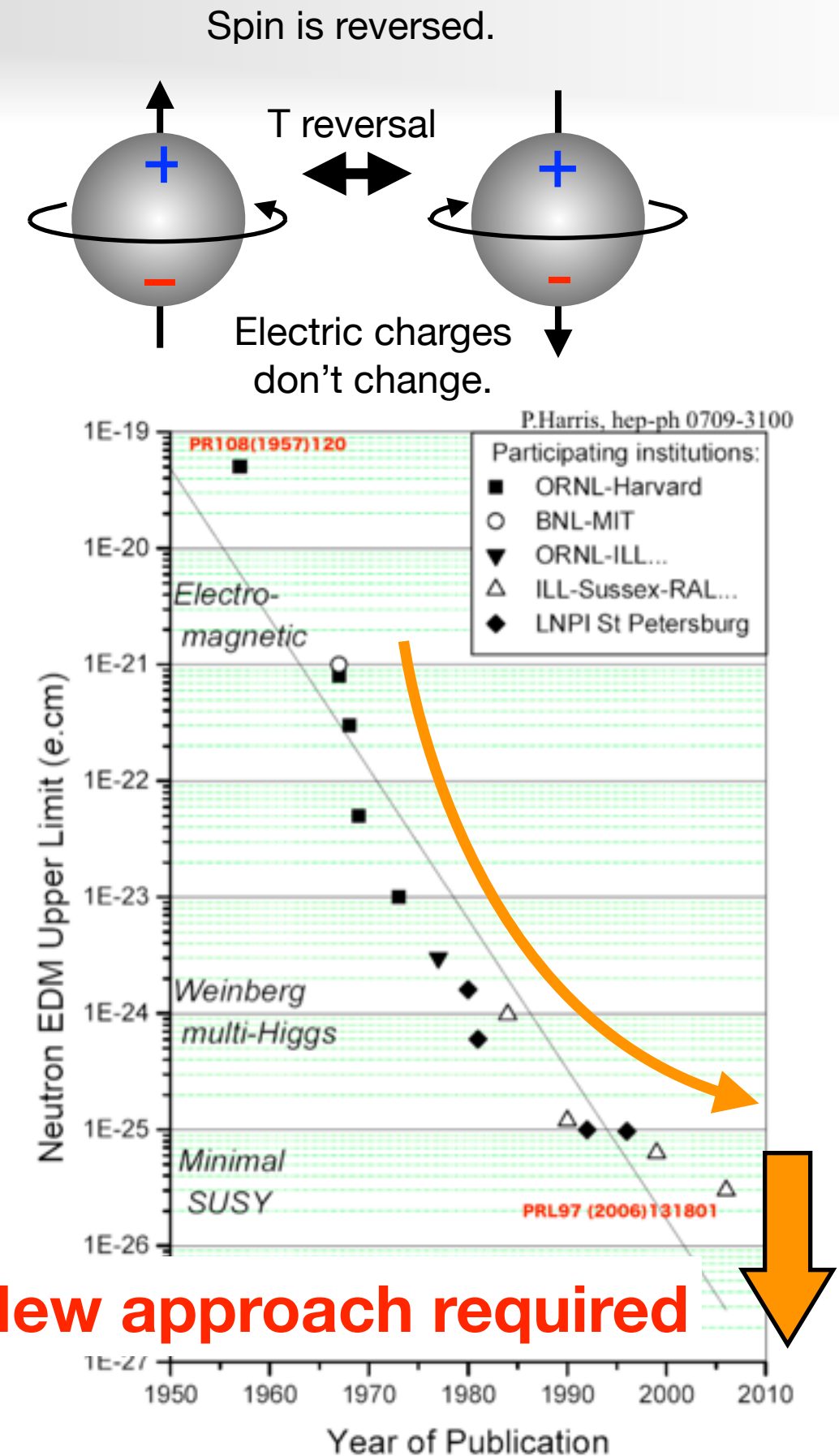
is approaching to the predictions of some physics beyond the standard model of particle physics.

Standerd Model :

$$|d_n| \sim 10^{-32} e \text{ cm}$$

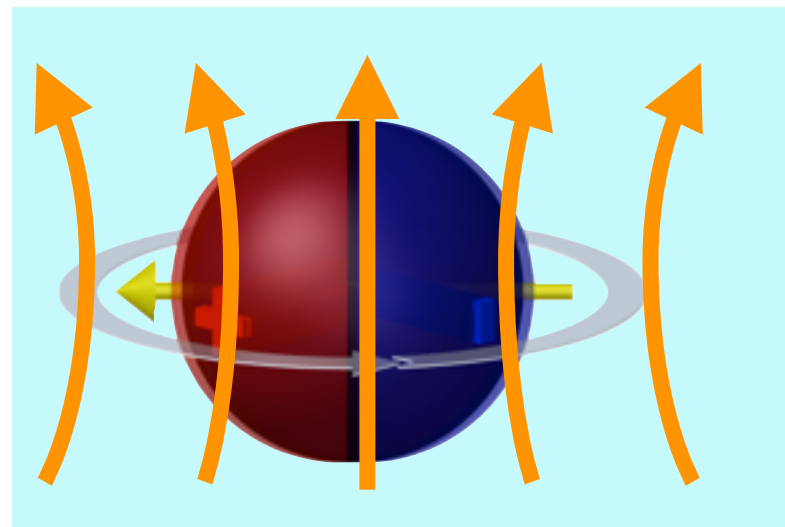
New Physics (SUSY ...)

$$|d_n| \sim 10^{-27 \sim -28} e \text{ cm}$$

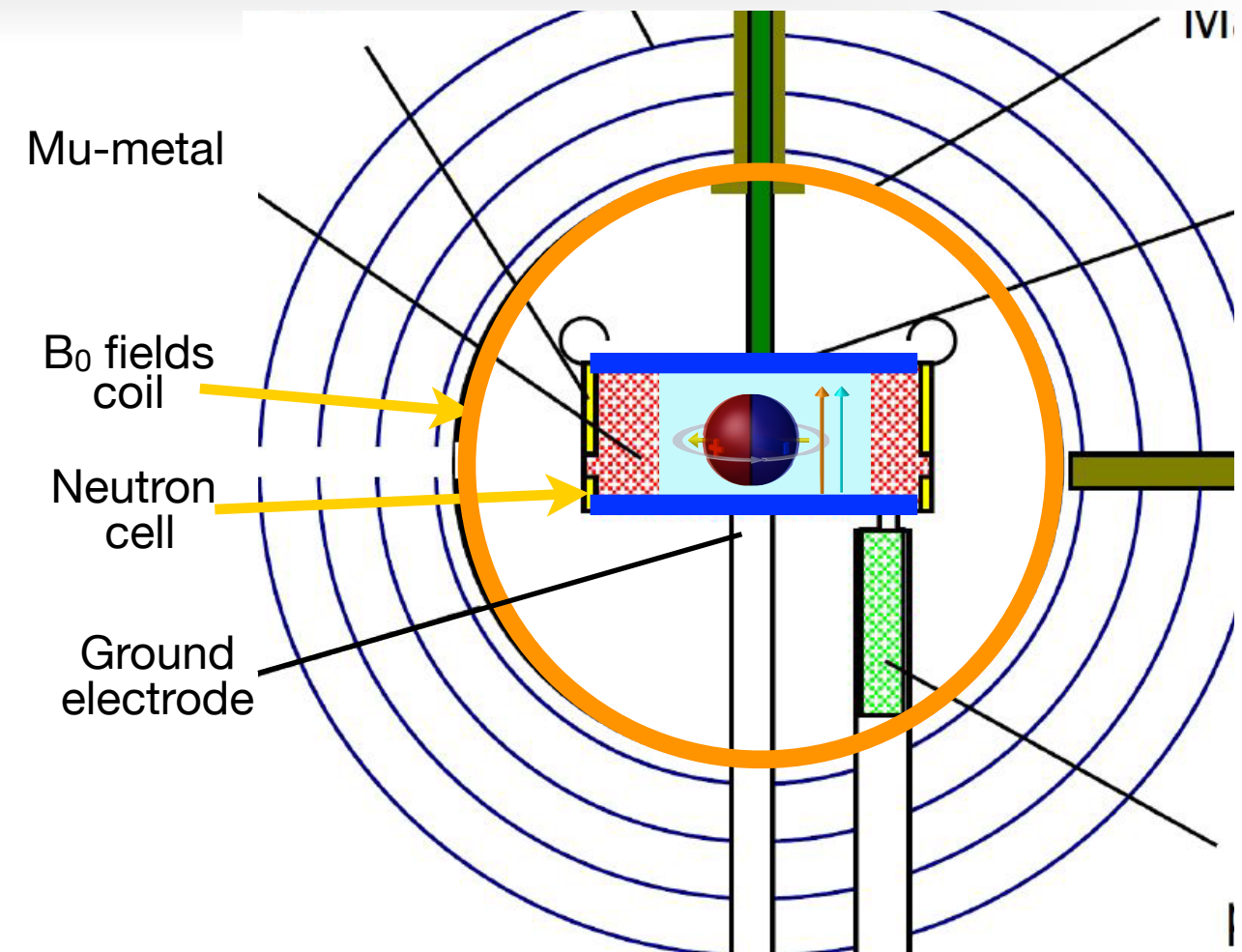


How to measure EDM

Precessions of **stored UCNs** are measured in magnetic and electric field.



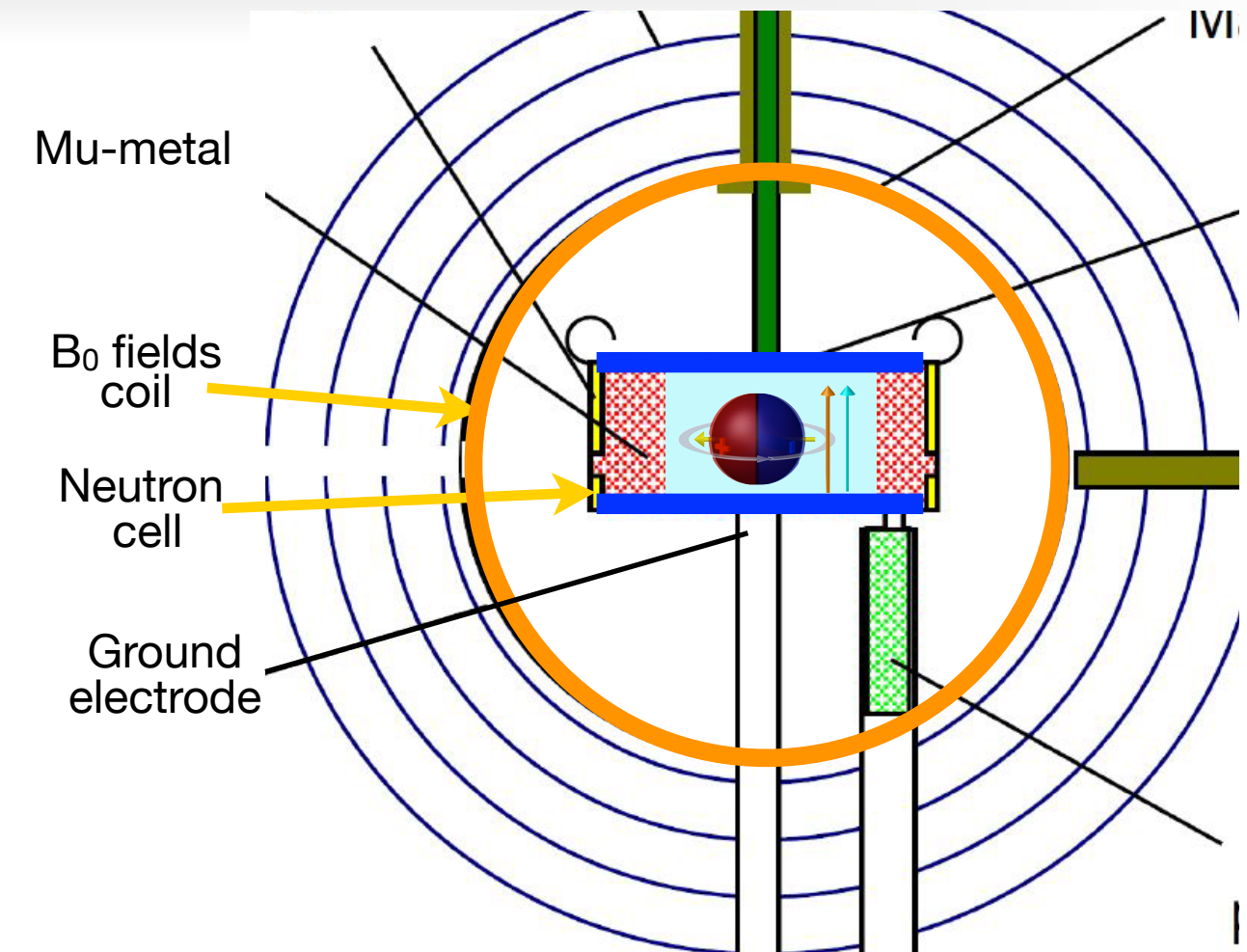
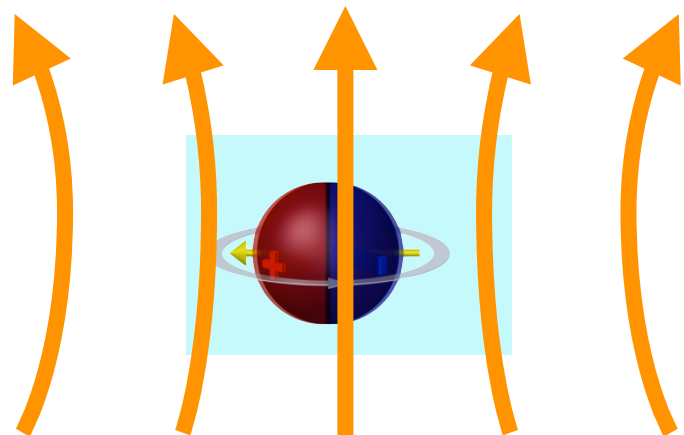
Small storage area is better.



Stable and uniform magnetic field are required.
Precision measurement of the magnetic field is also required.

How to measure EDM

Precessions of **stored UCNs** are measured in magnetic and electric field.



Small storage area is better.

Dense UCNs & understanding of systematic uncertainties

Our new approach is **UCN precision optics**

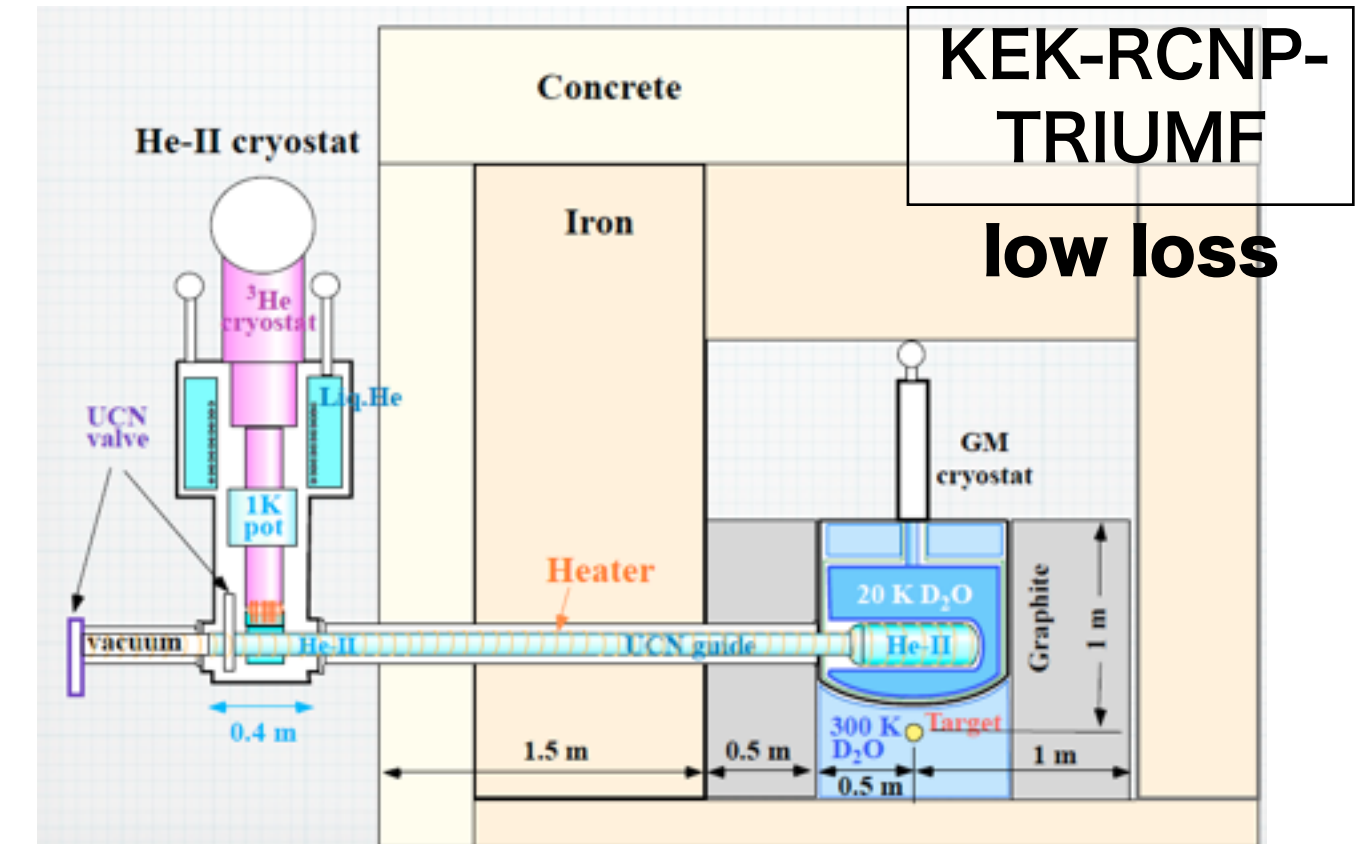
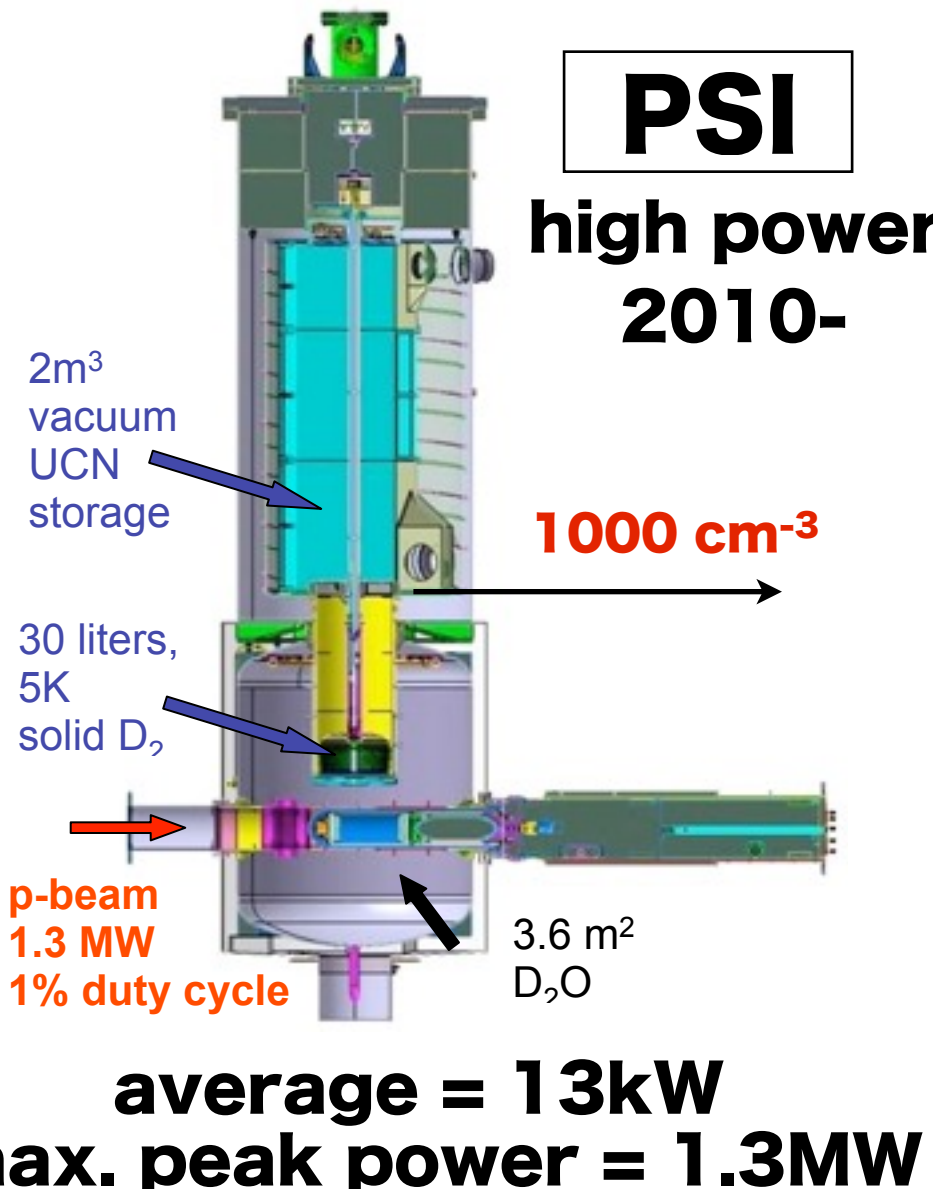
Stable and uniform magnetic field are required.

Precision measurement of the magnetic field is also required.

How to increase UCN density

Use intense source

High power proton beam (by accelerator)
and large volume neutron target can make intense UCNs.

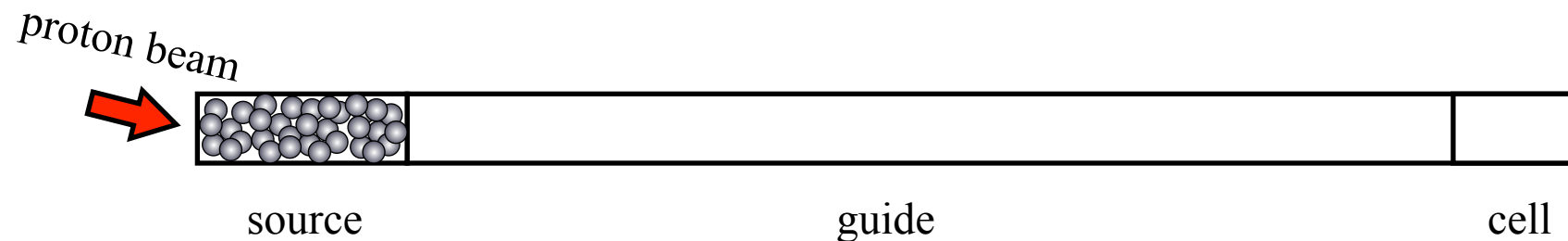


How to increase UCN density

Use intense source

High power proton beam (by accelerator)
and large volume neutron target can make intense UCNs.

High power proton beam also makes **heavy heat load** at the source.
It is difficult to increase the UCNs anymore.

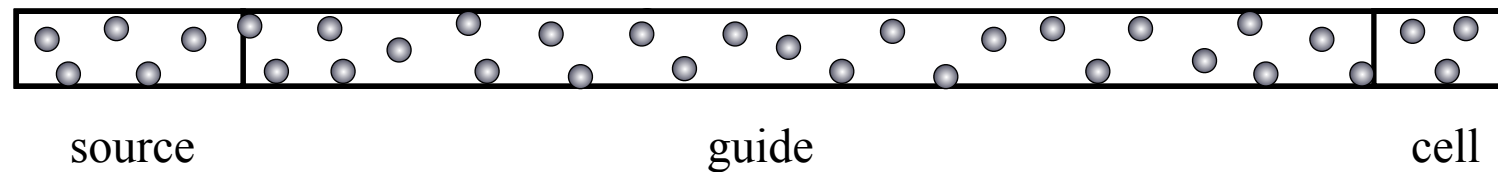


How to increase UCN density

Use intense source

High power proton beam (by accelerator)
and large volume neutron target can make intense UCNs.

High power proton beam also makes **heavy heat load** at the source.
It is difficult to increase the UCNs anymore.



UCNs are **spread spatially** while transport, however,
intense source makes enough UCNs at the cell.

Most of UCNs are not used for measurement.

More efficient way ? → **UCN precision optics**

How to increase UCN density

Use efficient transport

If UCN **pulse** can be delivered, we can get **dense** UCNs at the cell.

How can we realize such kind of transport ?

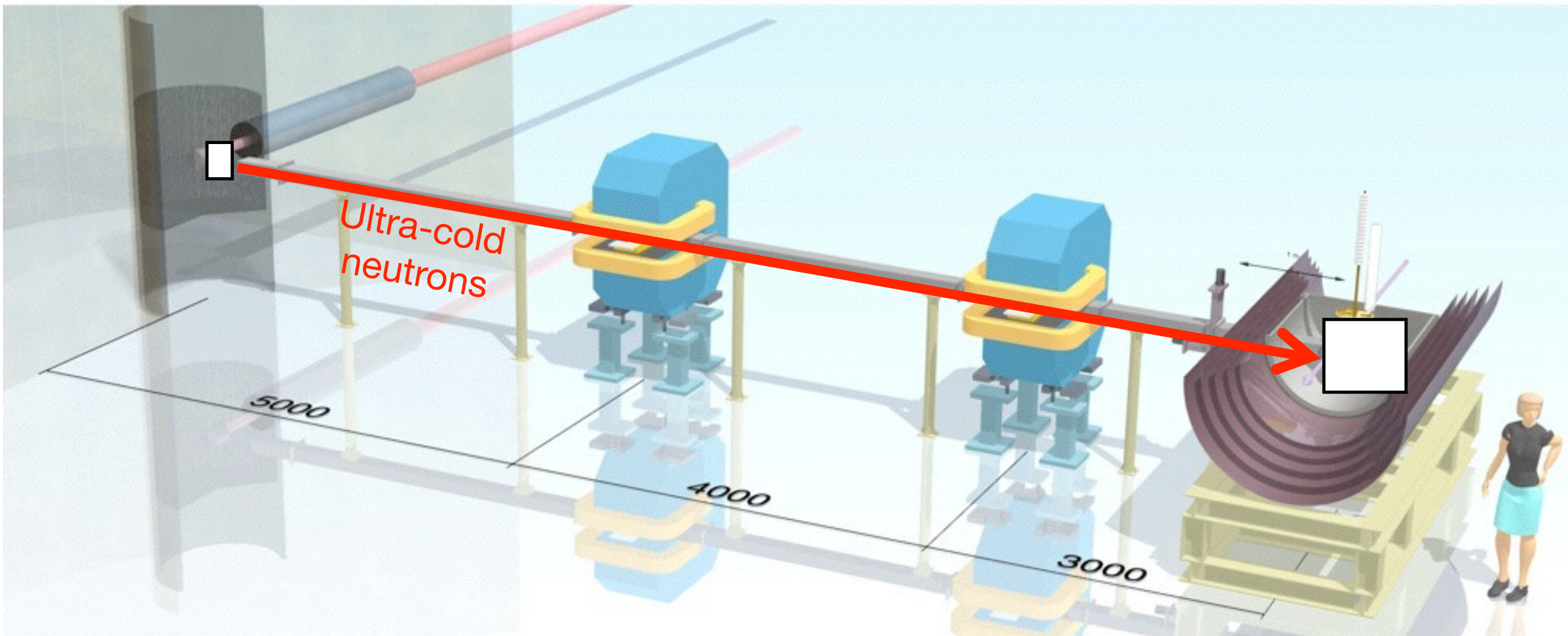


?

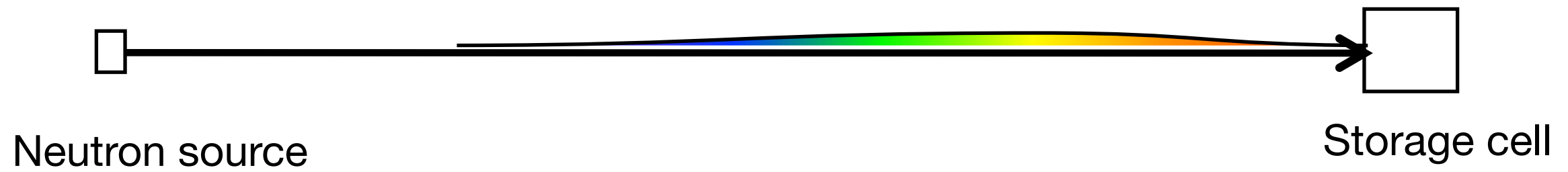
UCN Rebuncher, a UCN optical device

requires **controlling the UCN** velocity properly
and keeping velocity before and after the device.

Pulsed UCN transport



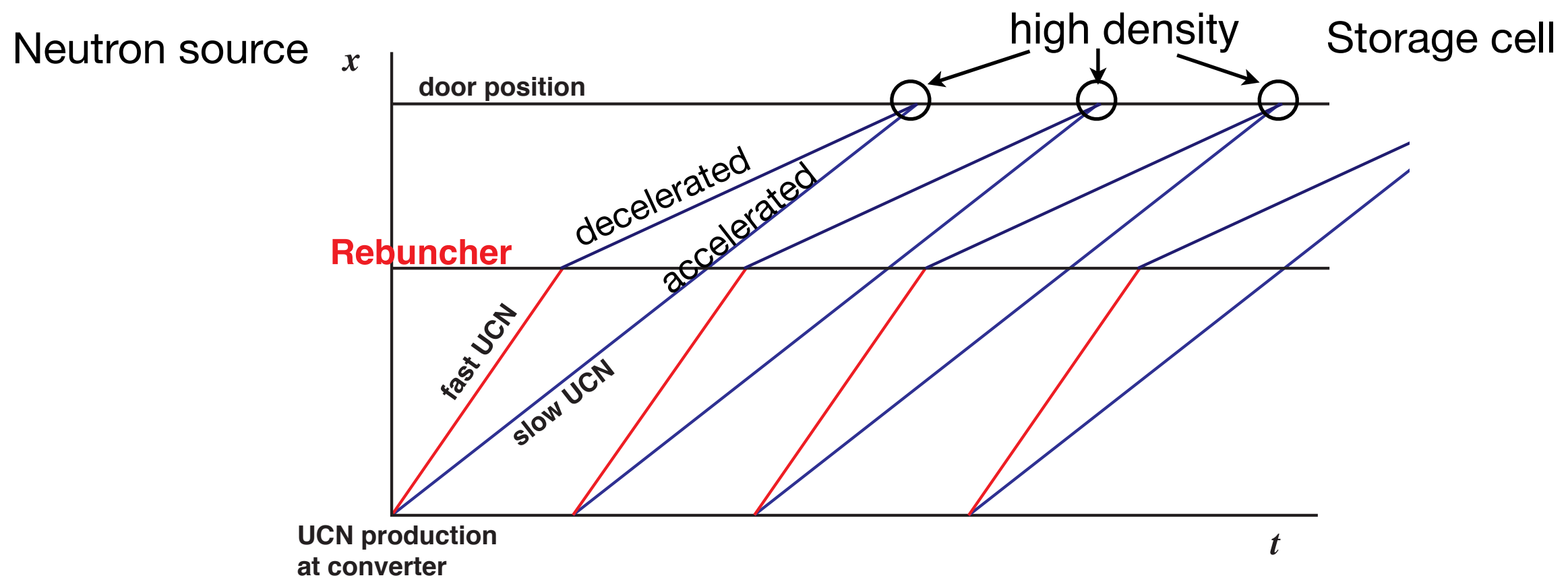
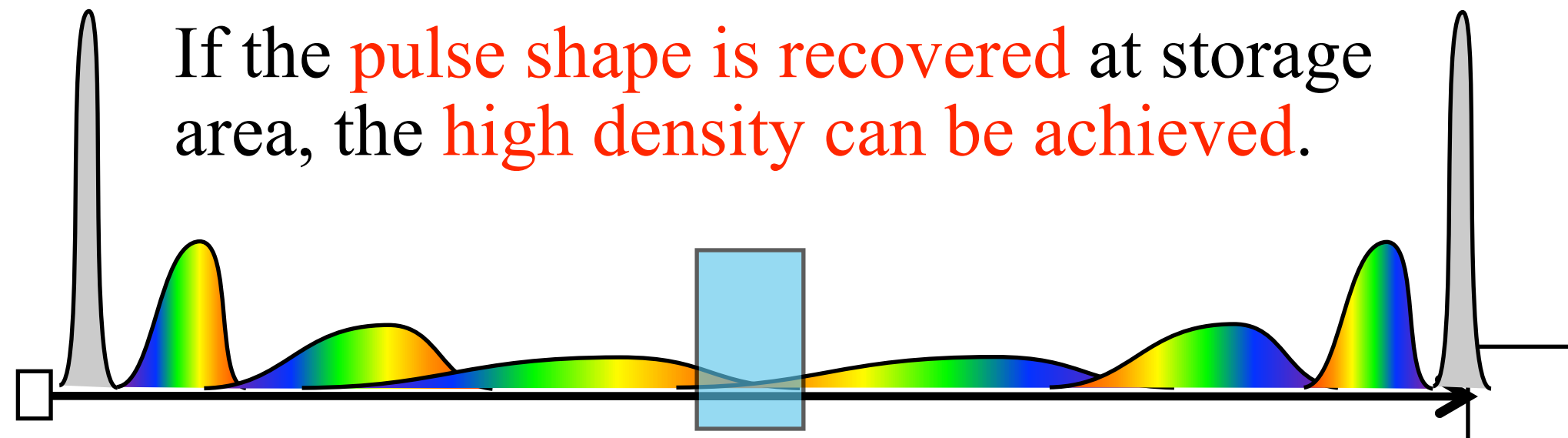
Pulsed UCN transport



Pulsed UCNs spread spatially,
Density decreases quickly
without any treatment.

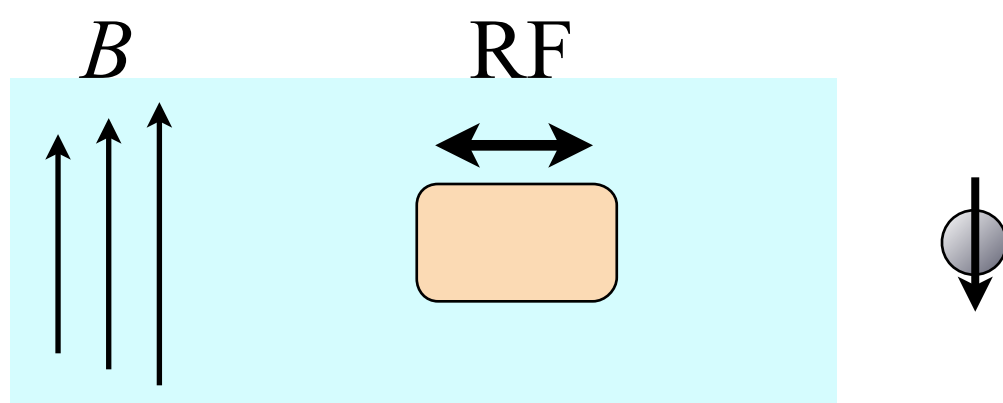
Pulsed UCN transport

UCN Rebuncher = Neutron Accelerator



Rebuncher

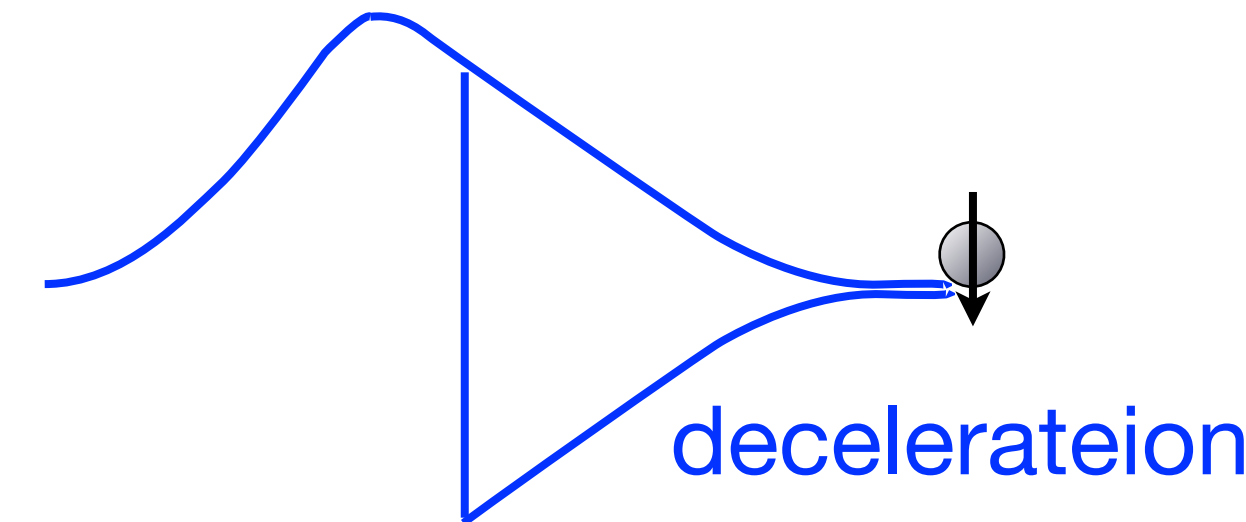
Adiabatic Fast Passage (AFP) spin flipper is used for control of the neutron energy.



RF magnetic field in gradient field gives/removes the energy with spin flip.

$$2\mu B = \hbar\omega$$

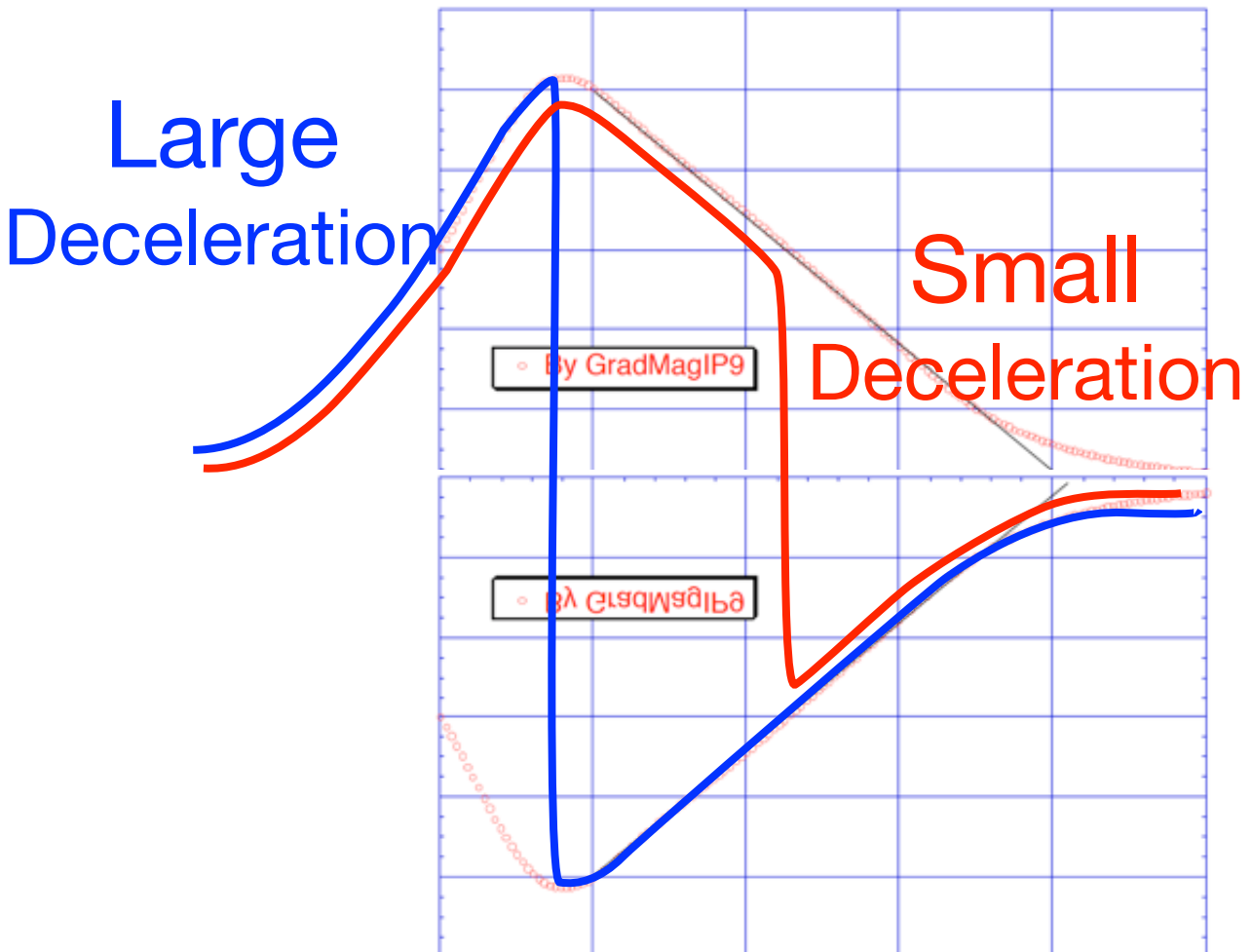
$$30 \text{ MHz} = 1 \text{ T} = 120 \text{ neV}$$



Opposite-spin neutrons are accelerated.

Rebuncher

Adiabatic Fast Passage (AFP) spin flipper is used for control of the neutron energy.



Energy exchange is proportional to the **RF frequency**.

RF magnetic field in gradient field gives/removes the energy with spin flip.

$$2\mu B = \hbar\omega$$

$$30 \text{ MHz} = 1 \text{ T} = 120 \text{ neV}$$

Faster neutrons arrive early.

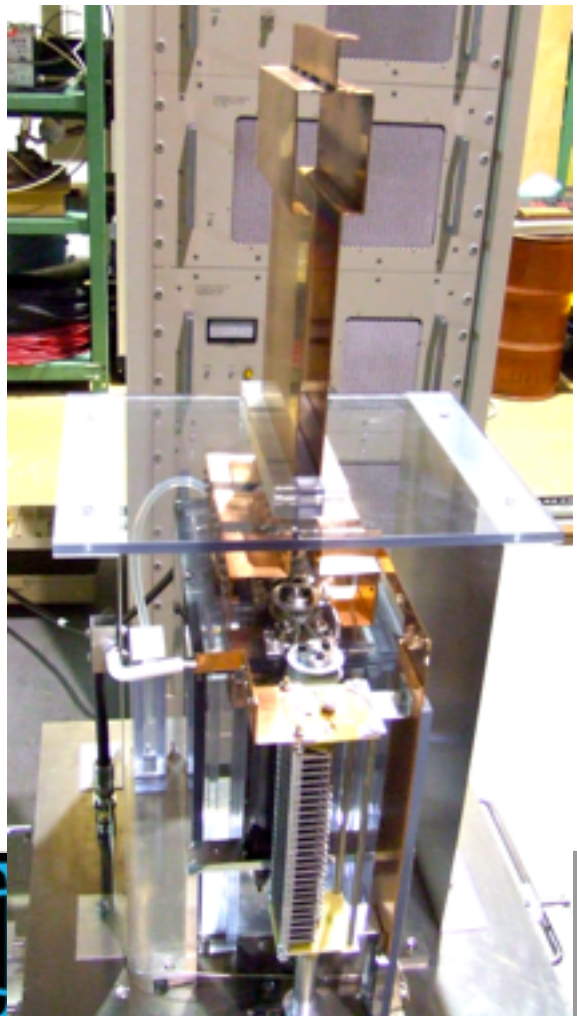
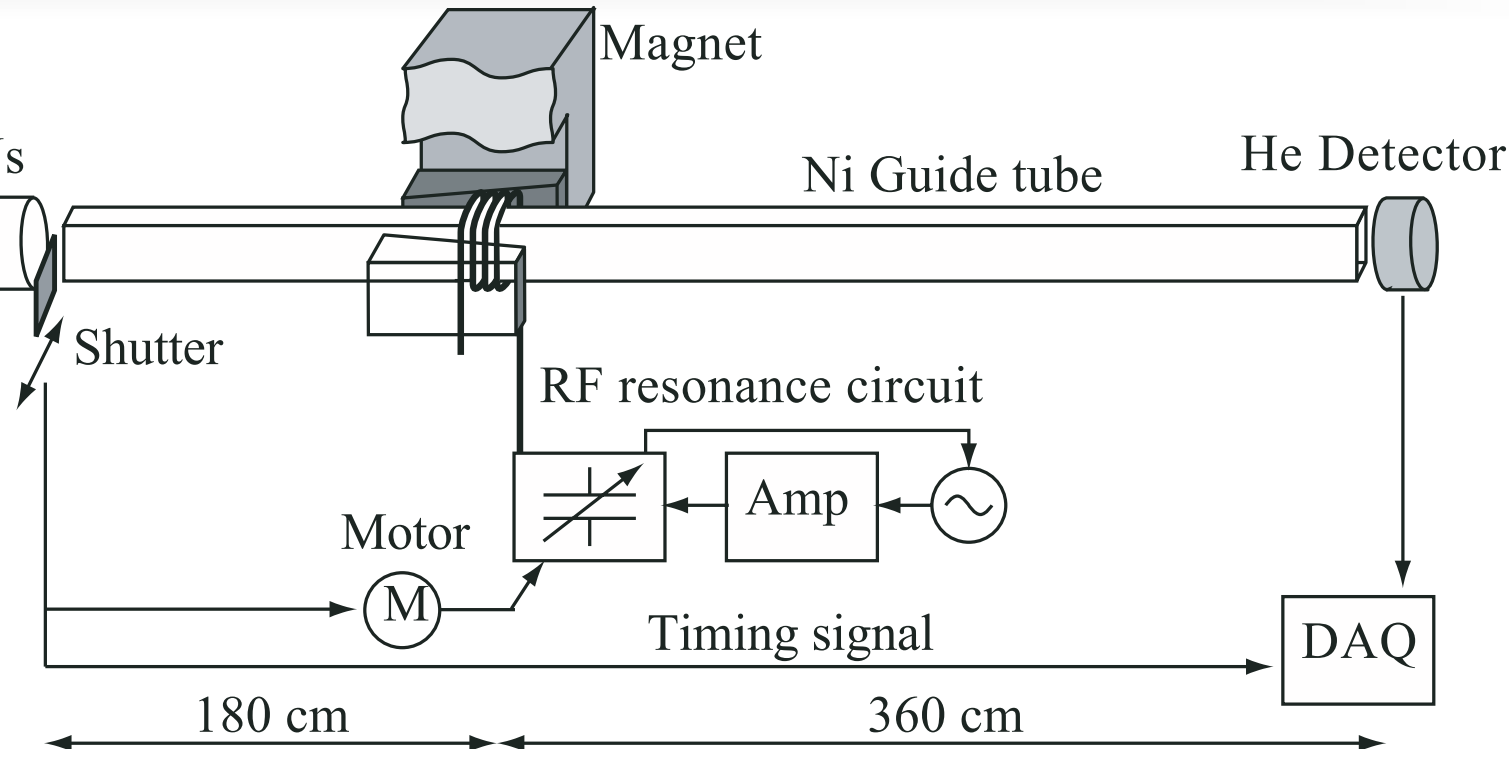
Large deceleration = High Freq. RF

Slower neutrons arrive late.

Small deceleration = Low Freq. RF

Sweeping frequency according to time

Rebuncher

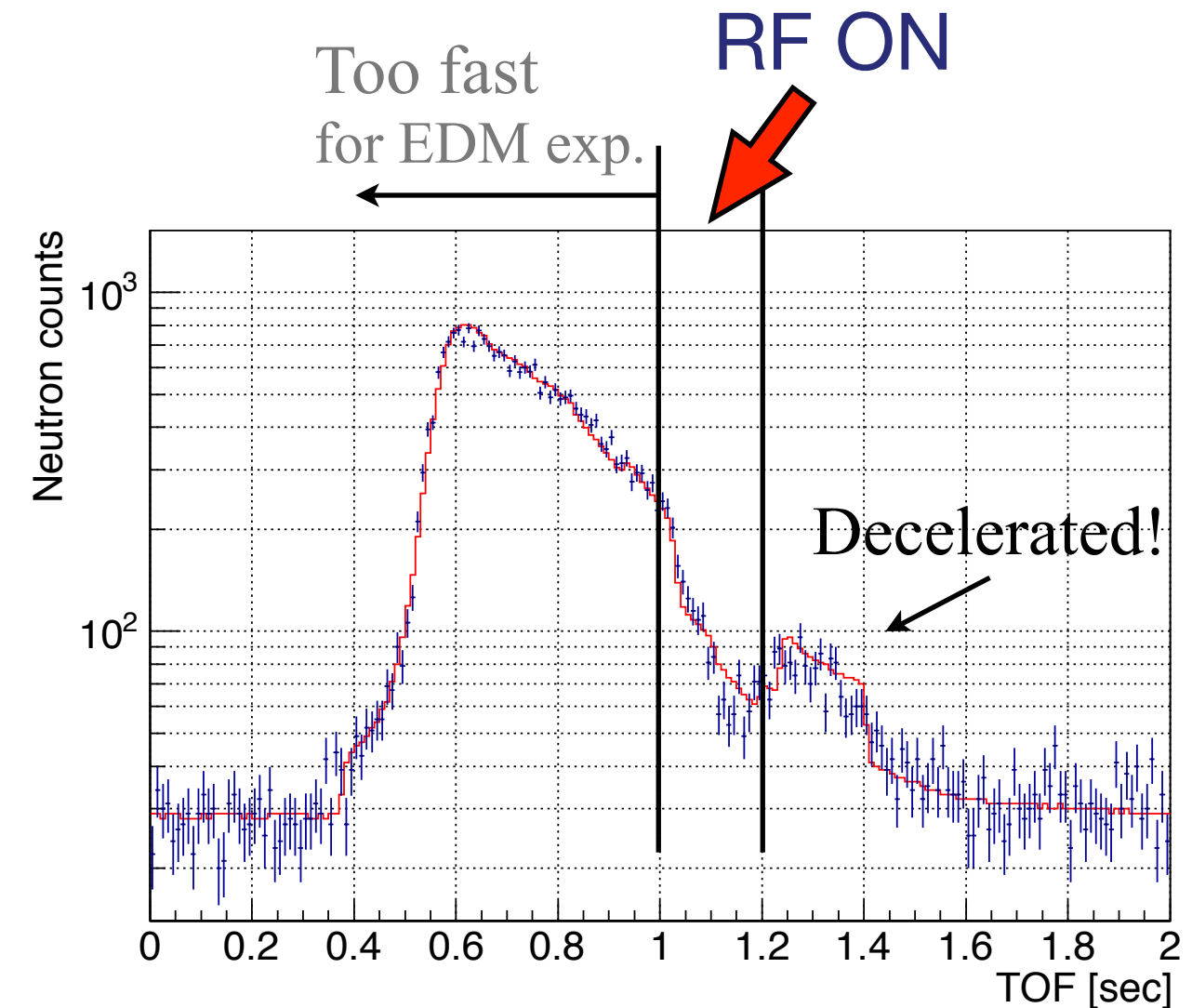
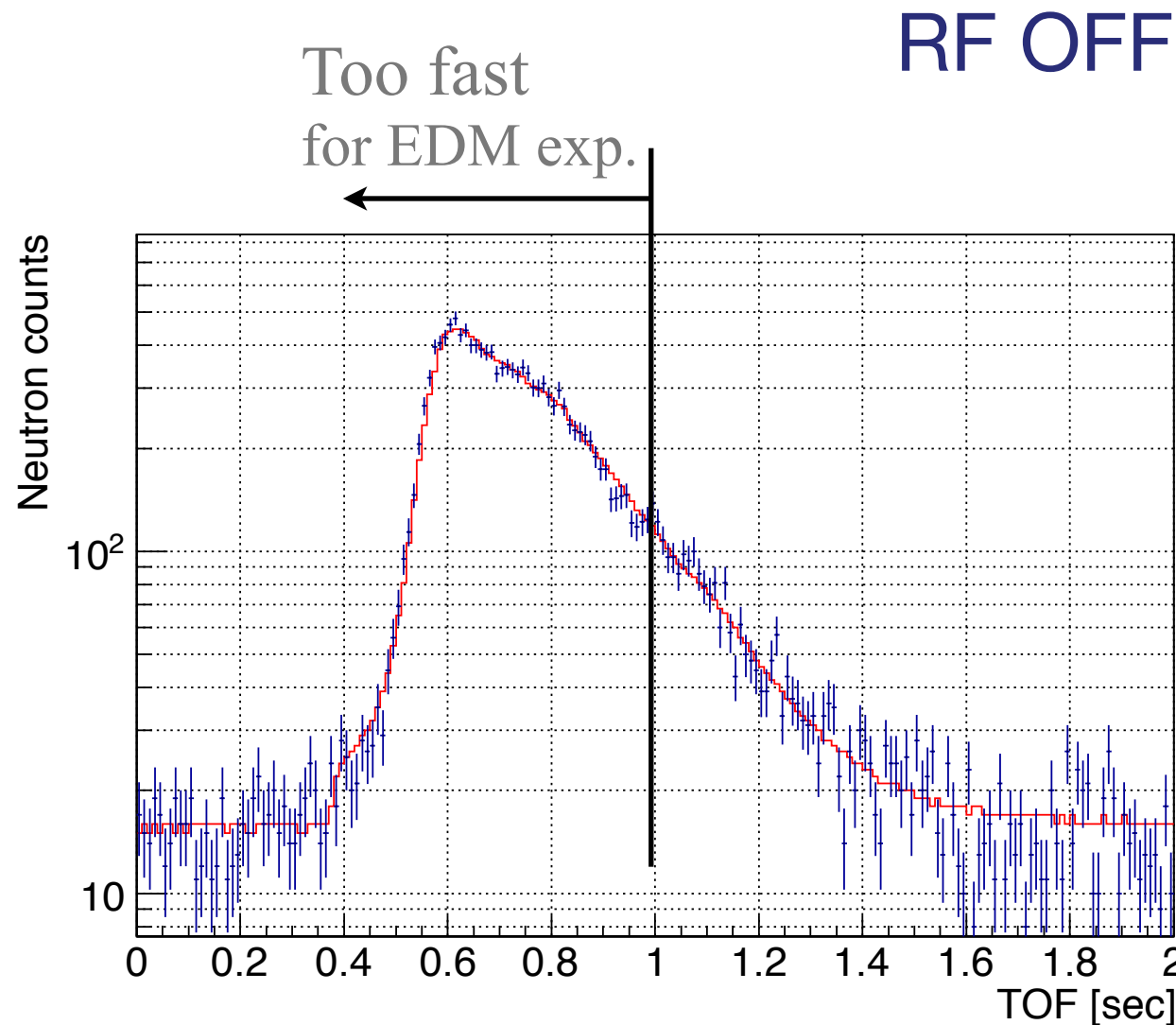


12 Feb. 2014, KMI Topics
Center for Experimental Studies, KMI
Laboratory for Particle Properties, Masaaki KITAGUCHI

page 40

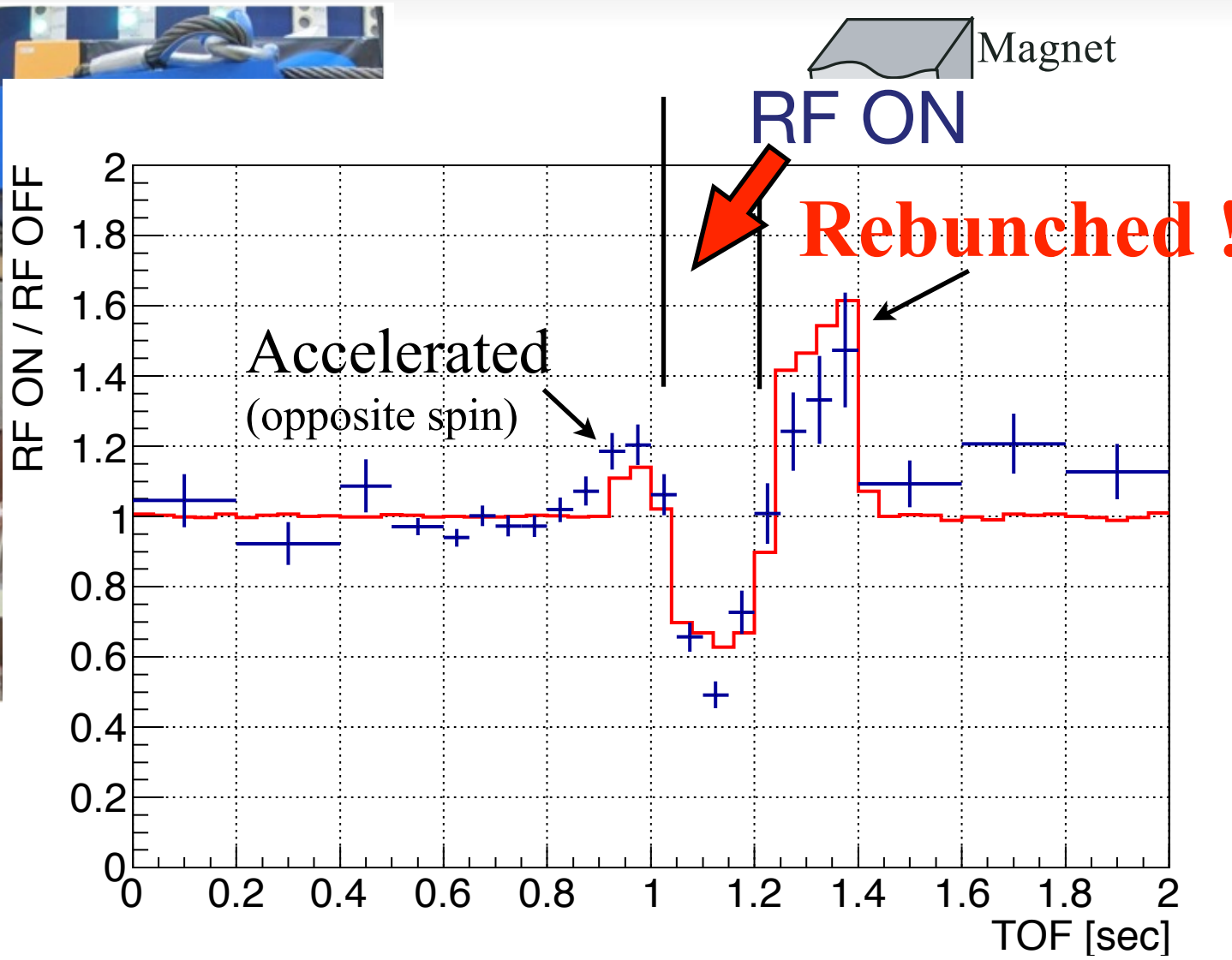
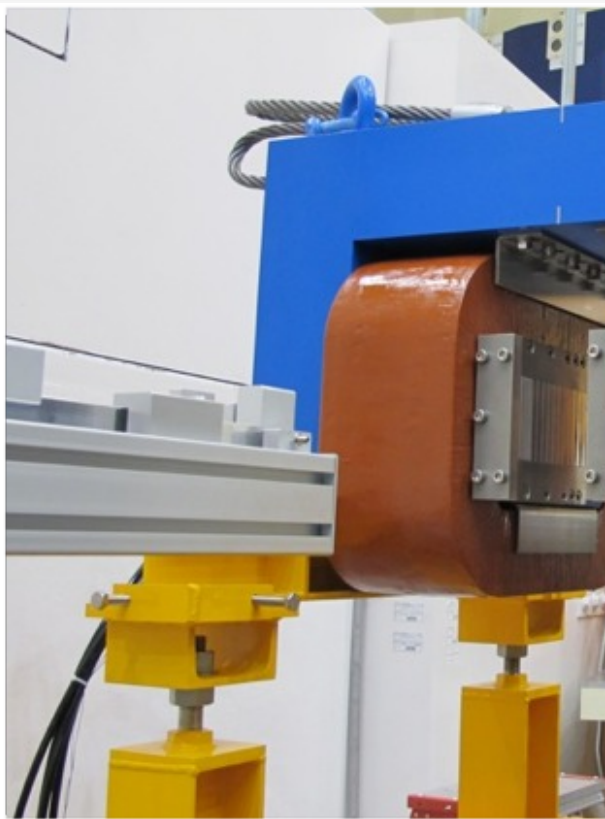
Rebuncher

Demonstration in HFR at ILL



Y. Arimoto, et., al.,
Phys. Rev. A 86, 023843 (2012).

Rebuncher

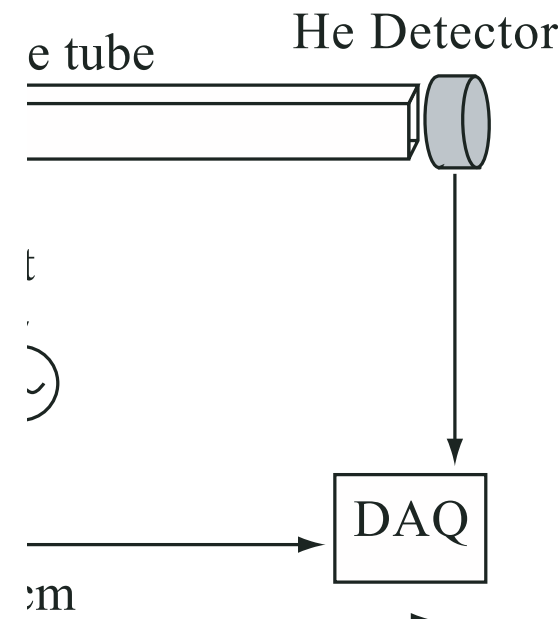
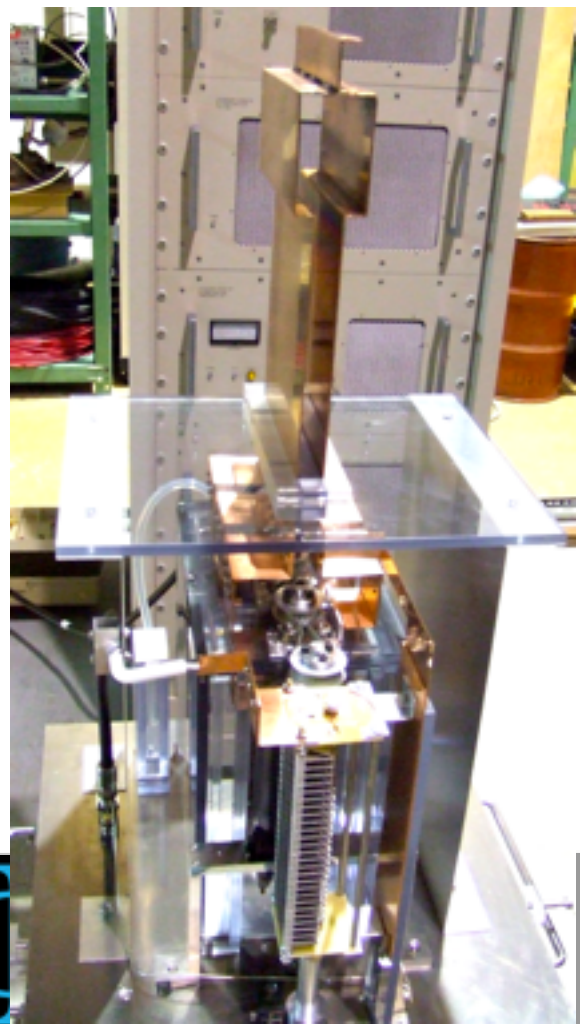


Blue : Exp. Data

Red : Simulation

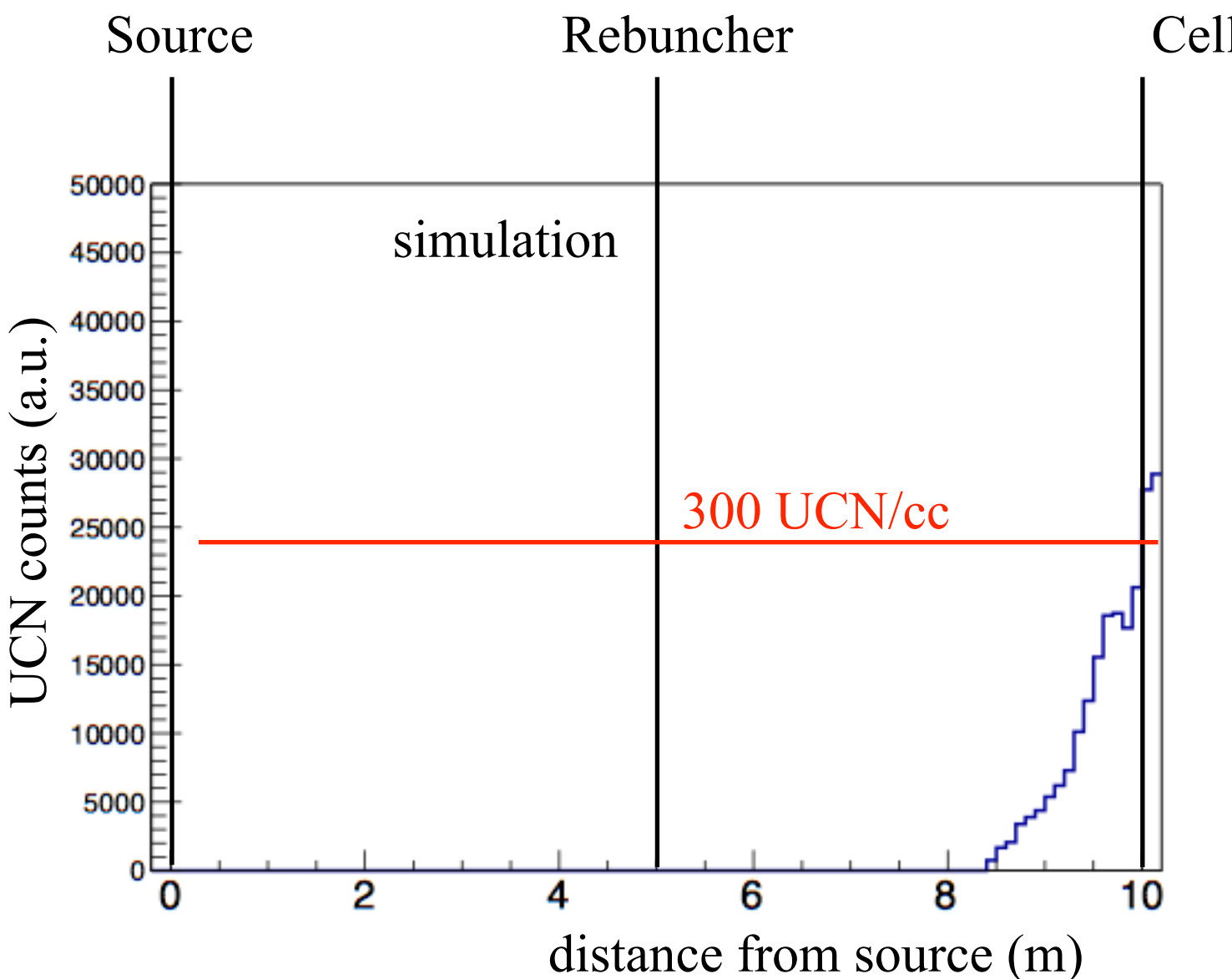
Y. Arimoto, et., al.,

Phys. Rev. A 86, 023843 (2012).



Pulsed UCN transport

J-PARC LINAC



This shows only polarized UCNs
which can be used for measurement.

Small converter is enough.

Statistical error

$$(\Delta d_n)_{\text{stat}} = \frac{\hbar/2}{\alpha ET \sqrt{N}},$$

physics run 5000 h in one year,
100 s for one measurement,
 $E = 10 \text{ kV/cm}$, $\alpha = 0.75$,

$$(\Delta d_n)_{\text{stat}} \times \sqrt{\frac{100}{5000 \times 3600}} \\ = 10^{-27} \text{ e cm}$$

$$N = 1.1 \times 10^6$$

For example, cylindrical cell with
20cm diameter, 20cm high,

density = 175 UCN/cc

Understanding of systematic uncertainties

Simulation of UCN movement

When the randomization of UCN movement in the storage cell is not perfect, false EDM appears.

We must understand how much the injected UCNs are randomized in a finite storage time with real surface of the cell.

→ **UCN precision optics**

We have developed the **simulation tools** based on GEANT4.

- . Add the reflection law
- . Incorporate relativistic spin precession
- . Adopt high precision variable to avoid rounding error

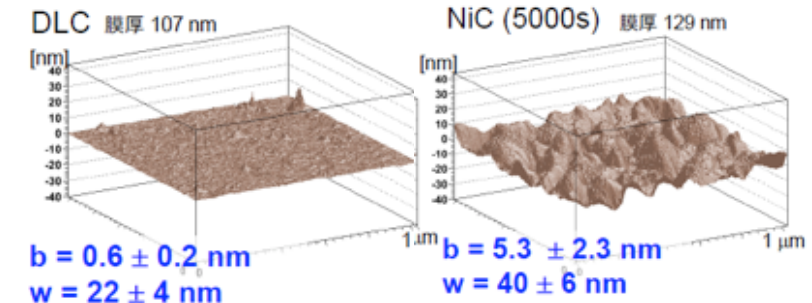
Now we can estimate the false EDM by movement of UCNs in the cell with actual surface.

Other development items

DLC mirror

Neutron mirror with high reflectivity on complex shape can be fabricated using diamond-like carbon by CVD.

potential 240 neV
off-specular reflection < 1%



Hg Co-magnetometer

Hg laser with power of 1mW/cm^2 and frequency accuracy better than 1MHz can measure the magnetic field of the order of 0.1 fT by Faraday rotation method.



Hg laser

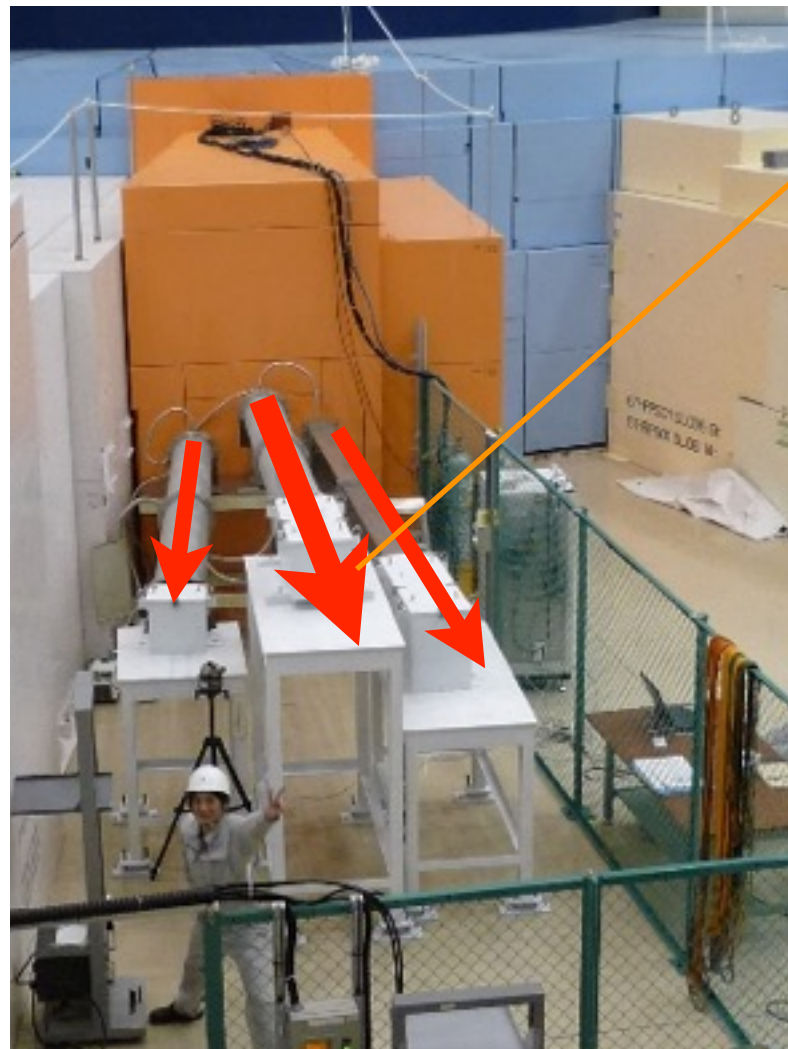
Kyoto Univ.

VCN moderator and UCN converter

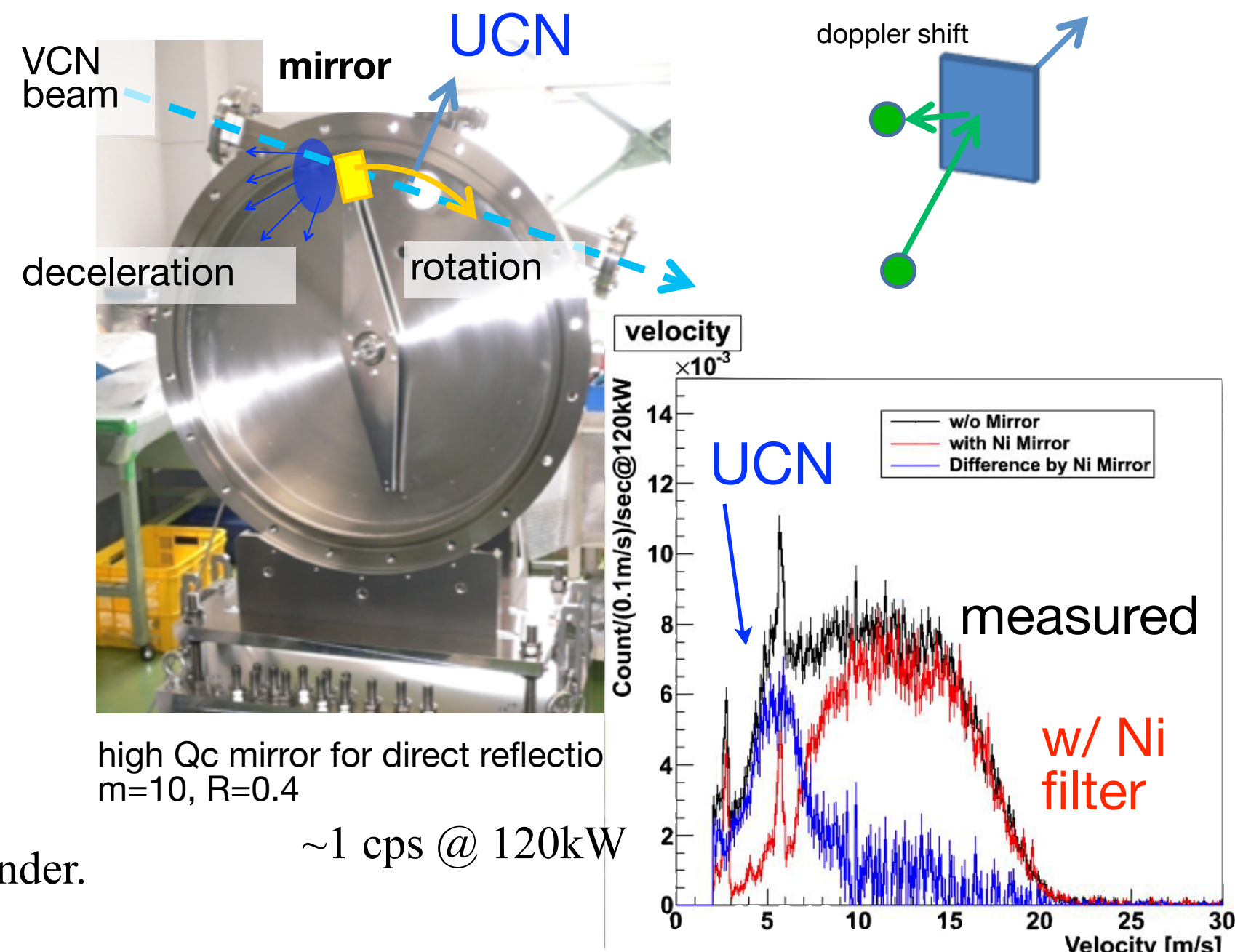
Injecting Very-Cold Neutrons should be increased before the UCN converter. Optimization of the shape of moderator is required. For pulsed UCN, high production rate and fast extraction are better.

Development of UCN optical devices

To develop UCN optical devices, our own UCN generator was constructed at J-PARC MLF BL05 (NOP beam line).



Unpolarized branch



Three branches of cold neutrons are extracted through the supermirror bender.

Summary

Neutron is suitable for the precision measurement of the small influence of new physics beyond the standard model of elementary particles.

Precision measurement of neutron lifetime has started at J-PARC BL05 NOP.

Spin Flip Chopper and Time Projection Chamber enables us to perform extremely-low back ground experiment.

We are now planning the new nEDM experiment using UCN precision optics at high intensity pulsed beam facility, J-PARC.

In order to increase the sensitivity of the experiment using UCNs, UCN optical devices has been developed.

Various experiments are planning and now under developing.

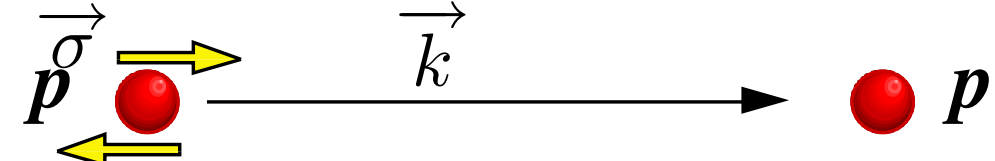
複合核共鳴吸収反応

P対称性

Helicity Dependence of Cross Section

非対称度 $\sim 10^{-7}$

P-violation in NN interaction



15MeV $-(1.7 \pm 0.8) \times 10^{-7}$

45MeV $-(2.3 \pm 0.8) \times 10^{-7}$

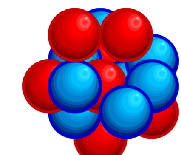
45MeV $-(1.3 \pm 0.8) \times 10^{-7}$

800MeV $-(2.4 \pm 1.1 \pm 0.1) \times 10^{-7}$

P-violation 増幅率 $\sim 10^6$

Epithermal Neutron Capture Reactions

$$\Delta\sigma_P^{nA} \leq \Delta\sigma_P^{NN} \times 10^6$$



A

$^{139}La(E_n=0.734eV)$

0.097 ± 0.003

*of p-wave resonance
cross section*

$\sim 2\%$ of total cross section

複合核共鳴 $\sim 10^{-1}$

$^{81}Br(E_n=0.88eV)$ 0.021 ± 0.001

$^{111}Cd(E_n=4.53eV)$ $-(0.013^{+0.007}_{-0.004})$

複合核共鳴吸収反応

T対称性 でも同様の増幅効果がある可能性がある

meson交換によるEDM (chromo-EDM) のみ着目

$$\begin{aligned} |\Delta\sigma_T^{nA}| &\leq 10^6 \times \kappa(J) \left[\bar{g}_\pi^{(0)} + 0.26\bar{g}_\pi^{(1)} - 0.0012\bar{g}_\eta^{(0)} + 0.0034\bar{g}_\eta^{(1)} \right. \\ &\quad \left. - 0.0071\bar{g}_\rho^{(0)} + 0.0035\bar{g}_\rho^{(1)} + 0.0019\bar{g}_\omega^{(0)} - 0.00063\bar{g}_\omega^{(1)} \right] \\ &\simeq 10^5 [b] \times \boxed{\kappa(J)} \times \boxed{\bar{g}_\pi^{(0)}} \end{aligned}$$



nEDMの上限値 $|d_n| < 2.9 \times 10^{-26} [\text{e cm}]$ は $\bar{g}_\pi^{(0)} < 2.5 \times 10^{-10}$ に対応

$$\Rightarrow |\Delta\sigma_T^{nA}| < 2.5 \times 10^{-4} [b] \times \boxed{\kappa(J)}$$

0.25[mb] $\times \kappa(J)$ より高い精度で測定すると、
nEDMより高感度で新物理探索

複合核共鳴吸収反応

Gudkov, Phys. Rep. 212 (1992) 77

T対称性

$$\Delta\sigma_{CP} = \kappa(J) \frac{w}{v} \Delta\sigma_P$$

T-violation

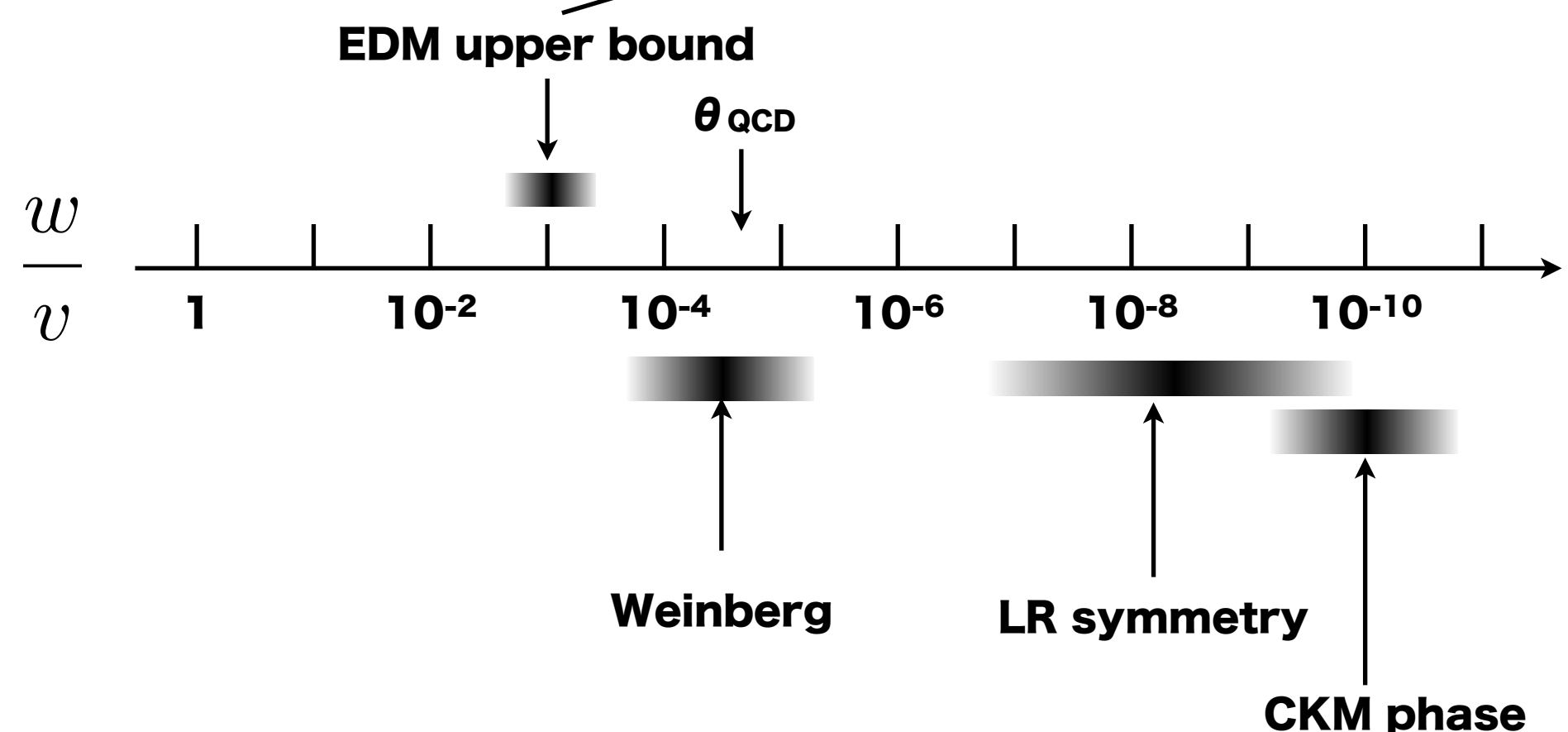
g_{CP}/g_P

P-violation

測定すべき非対称度

10^{-3}

$10^{-2} \sigma_{tot}$



複合核共鳴吸収反応

Gudkov, Phys. Rep. 212 (1992) 77

T対称性

$$\Delta\sigma_{CP} = \frac{\kappa(J)}{v} \Delta\sigma_P$$

T-violation

g_{CP}/g_P P-violation

測定すべき非対称度

10⁻³ 10⁻² σ_{tot}

$$\kappa(J = I + \frac{1}{2}) = \frac{3}{2\sqrt{2}} \left(\frac{2I+1}{2I+3} \right) \frac{\sqrt{2I+1}(2\sqrt{I}x - \sqrt{2I+3}y)}{(2I-3)\sqrt{2I+3}x - (2I+9)\sqrt{I}y}$$

$$\kappa(J = I - \frac{1}{2}) = -\frac{3}{2\sqrt{2}} \left(\frac{(2I+1)\sqrt{I}}{\sqrt{(I+1)(2I-1)}} \right) \frac{2\sqrt{I+1}x + \sqrt{2I-1}y}{(I+3)\sqrt{2I-1}x + (4I-3)\sqrt{I+1}y}$$

$$x^2 = \frac{\Gamma_{p,1/2}^n}{\Gamma_p^n}$$

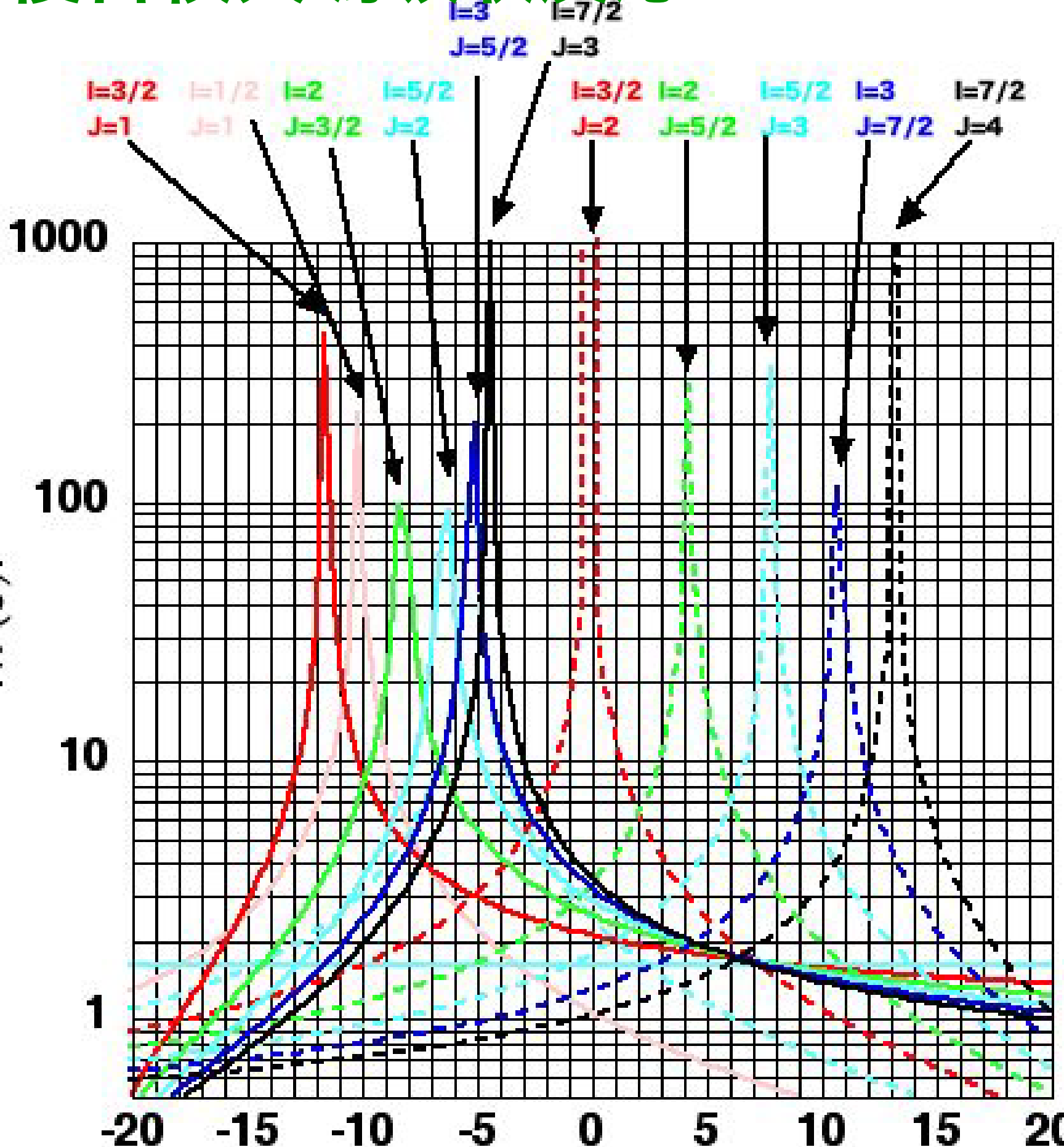
$$y^2 = \frac{\Gamma_{p,3/2}^n}{\Gamma_p^n}$$

$$x^2 + y^2 = 1$$

$$x = \cos \phi$$

$$y = \sin \phi$$

複合核共鳴吸収反応



ov, Phys. Rep. 212 (1992) 77

$$\frac{w}{v} - \Delta\sigma_P$$

CP/g_P P-violation

0-3 $10^{-2}\sigma_{tot}$

$$x = \cos \phi$$

$$y = \sin \phi$$

複合核共鳴吸収反応

$$\frac{d\sigma}{d\Omega} = \frac{1}{2} \left(a_0 + a_1 \mathbf{k}_n \cdot \mathbf{k}_\gamma + a_3 \left((\mathbf{k}_n \cdot \mathbf{k}_\gamma)^2 - \frac{1}{3} \right) \right)$$

$$a_0 = \sum_{J_s} |V_1(J_s)|^2 + \sum_{J_s, j} |V_2(J_p j)|^2$$

Flambaum, Nucl. Phys. A435 (1985) 352

$$a_1 = 2\text{Re} \sum_{J_s, J_p, j} V_1(J_s) V_2^*(J_p j) P(J_s J_p \frac{1}{2} j 1 IF)$$

$$a_3 = \text{Re} \sum_{J_s, j, J'_p, j'} V_2(J_p j) V_2^*(J'_p j') P(J_p J'_p j j' 2 IF) 3\sqrt{10} \begin{Bmatrix} 2 & 1 & 1 \\ 0 & \frac{1}{2} & \frac{1}{2} \\ 2 & j & j' \end{Bmatrix}$$

$$V_1 = \frac{1}{2k_s} \sqrt{\frac{E_s}{E}} \frac{\sqrt{g\Gamma_s^n \Gamma_\gamma}}{E - E_s + i\Gamma_s/2}$$

n, γ の角相関から ϕ が求まる

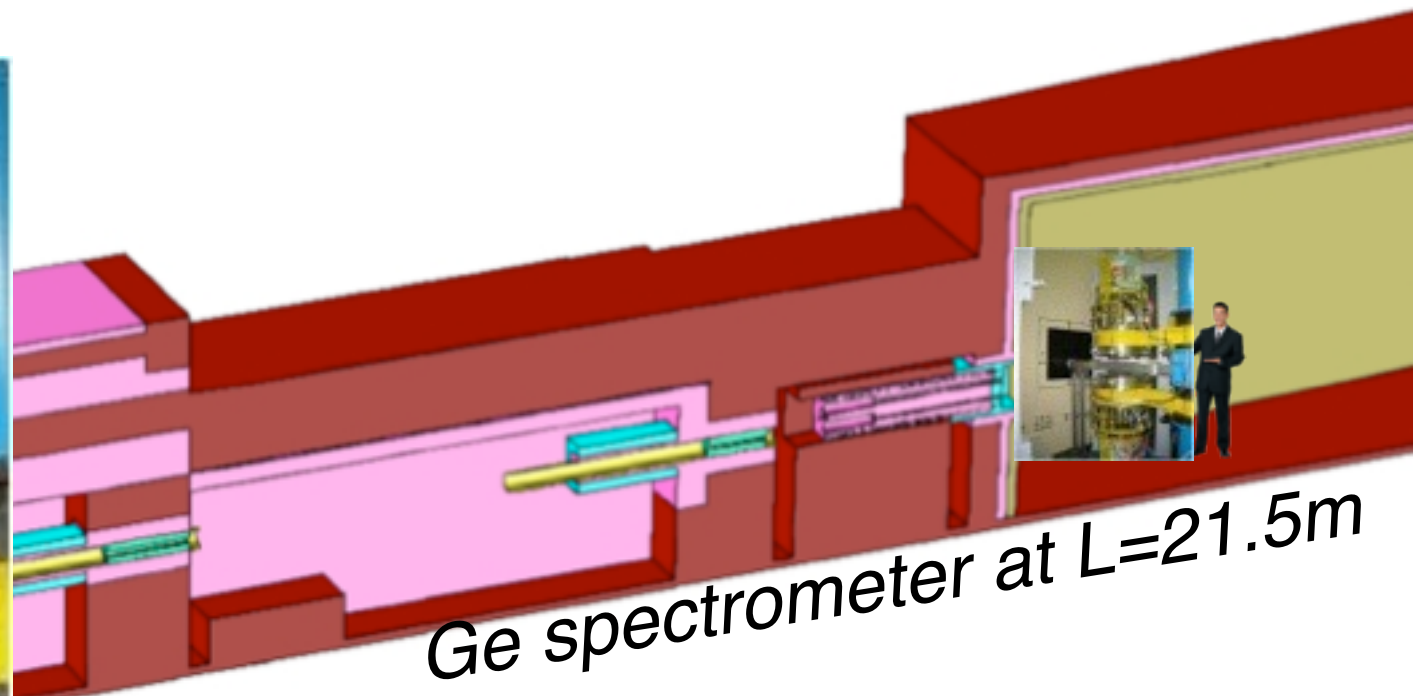
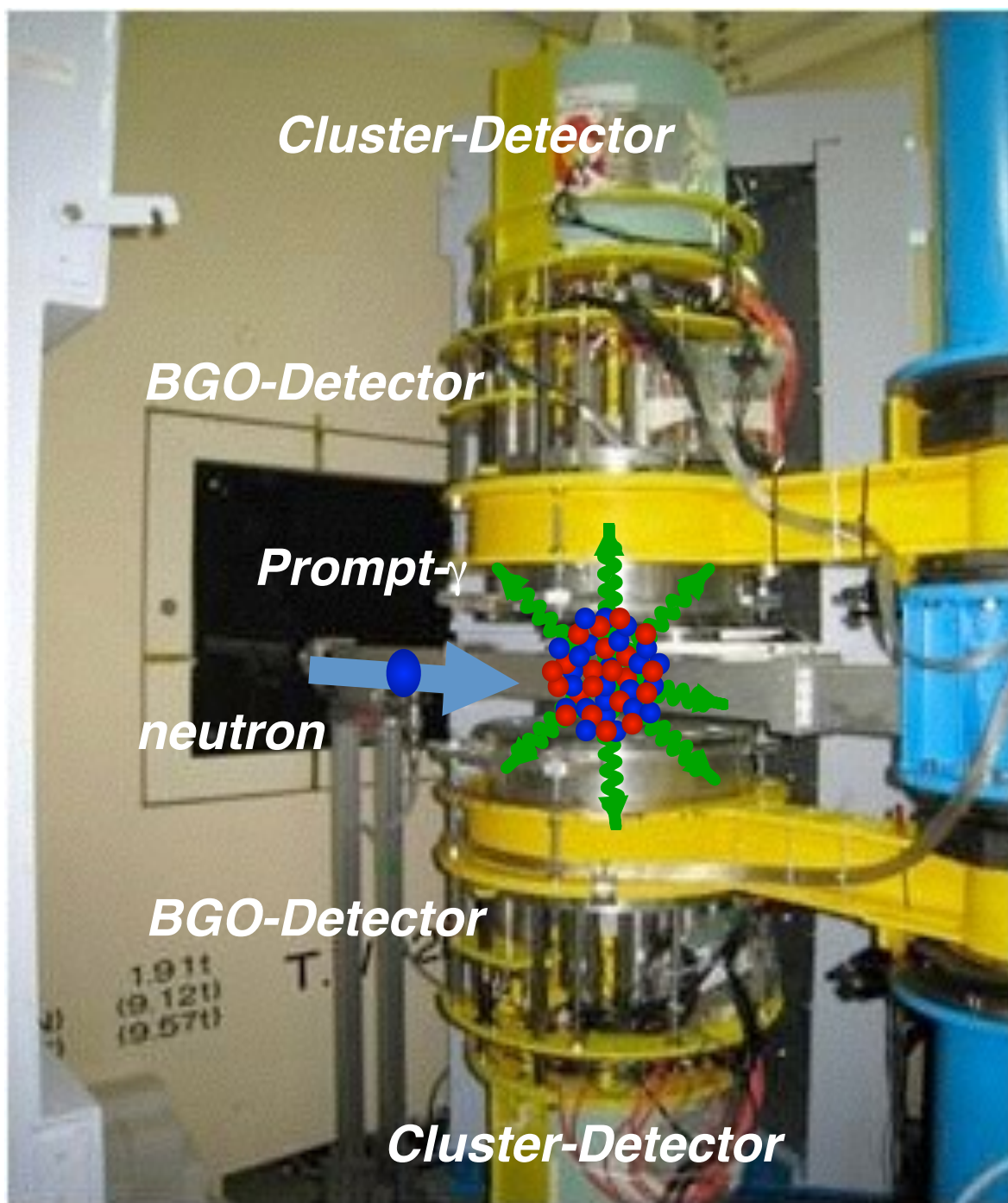
$$V_2(j) = \frac{1}{2k_p} \sqrt{\frac{E_p}{E}} \sqrt{\frac{\Gamma_{pj}^n}{\Gamma_p^n}} \frac{\sqrt{g\Gamma_p^n \Gamma_\gamma}}{E - E_p + i\Gamma_p/2}$$

$$\begin{aligned} V_2(j=1/2) &= x V_2 \\ V_2(j=3/2) &= y V_2 \end{aligned}$$

$$P(J J' j j' k IF) = (-1)^{J+J'+j'+I+F} \frac{3}{2} \sqrt{(2J+1)(2J'+1)(2j+1)(2j'+1)} \begin{Bmatrix} j & j' & j' \\ I & J' & J \end{Bmatrix} \begin{Bmatrix} k & 1 & 1 \\ F & J & J' \end{Bmatrix}$$

複合核共鳴吸収反応

MEASUREMENT OF NEUTRON-CAPTURE CROSS SECTION with 4π Ge at ANNRI



The 4π Ge spectrometer

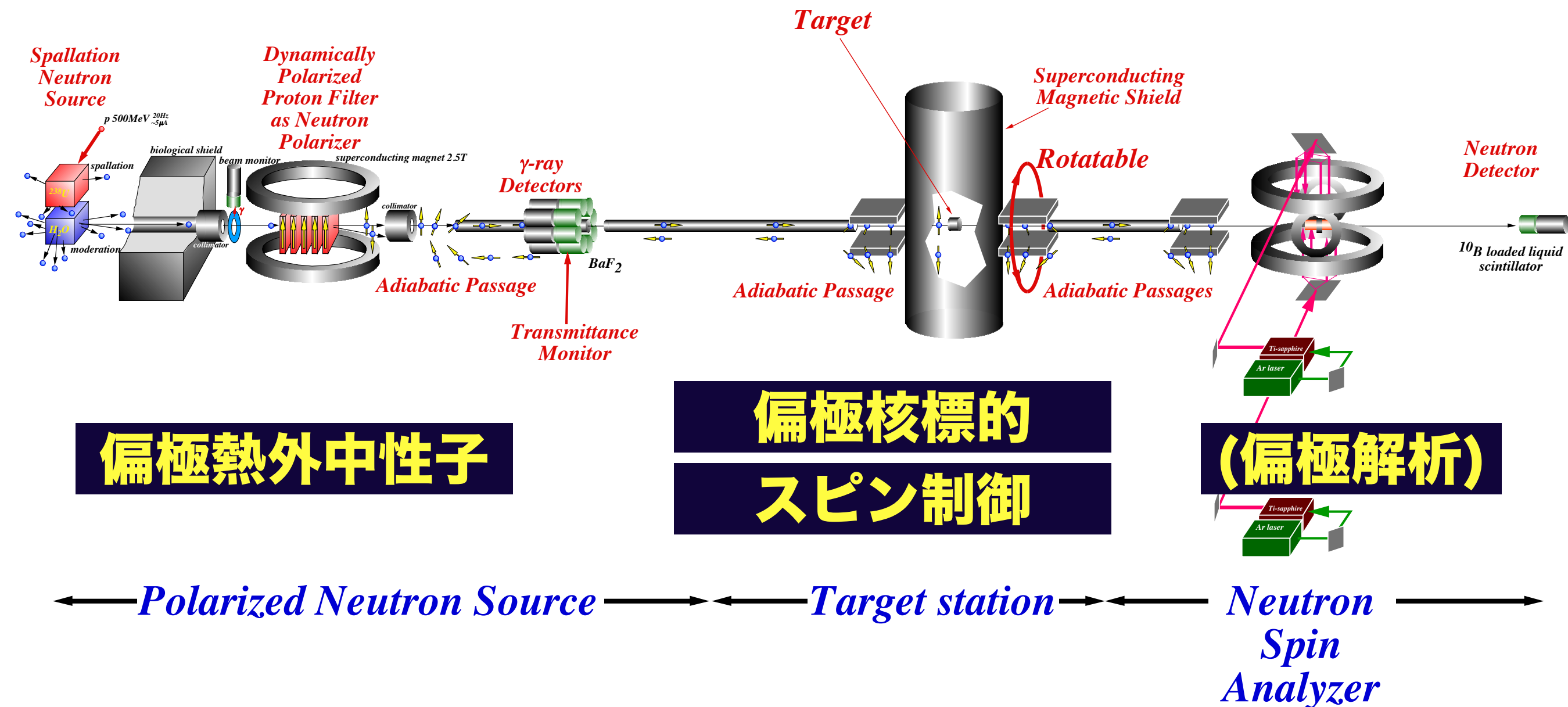
- * Two Cluster Ge detectors with BGO anti-coincidence shields were used.
- * One to Eight coaxial Ge detectors can be installed.

The beam condition

- * 120 kW, 25 Hz, Double-Bunch
- * Notch filters: Mn, Co, In, Ag, Cd

複合核共鳴吸収反応

実験の概念図



複合核共鳴吸収反応



$\kappa(J)$ の大きな原子核の探索

J-PARC MLF BL04 での (n, γ) 測定 ⇒ 進行中

$$\Delta\sigma_{CP} = \kappa(J) \frac{w}{v} \Delta\sigma_P$$

P非対称度

$$A_L = -\frac{2xv}{E_p - E_s} \sqrt{\frac{\Gamma_s^n}{\Gamma_p^n}}$$

x は (n, γ) 測定で分かる

$$x^2 = \frac{\Gamma_{p,1/2}^n}{\Gamma_p^n}$$

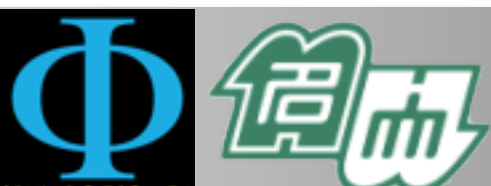
⇒ CPを破る行列要素 w

新物理が核子間相互作用に与える効果のモデル計算

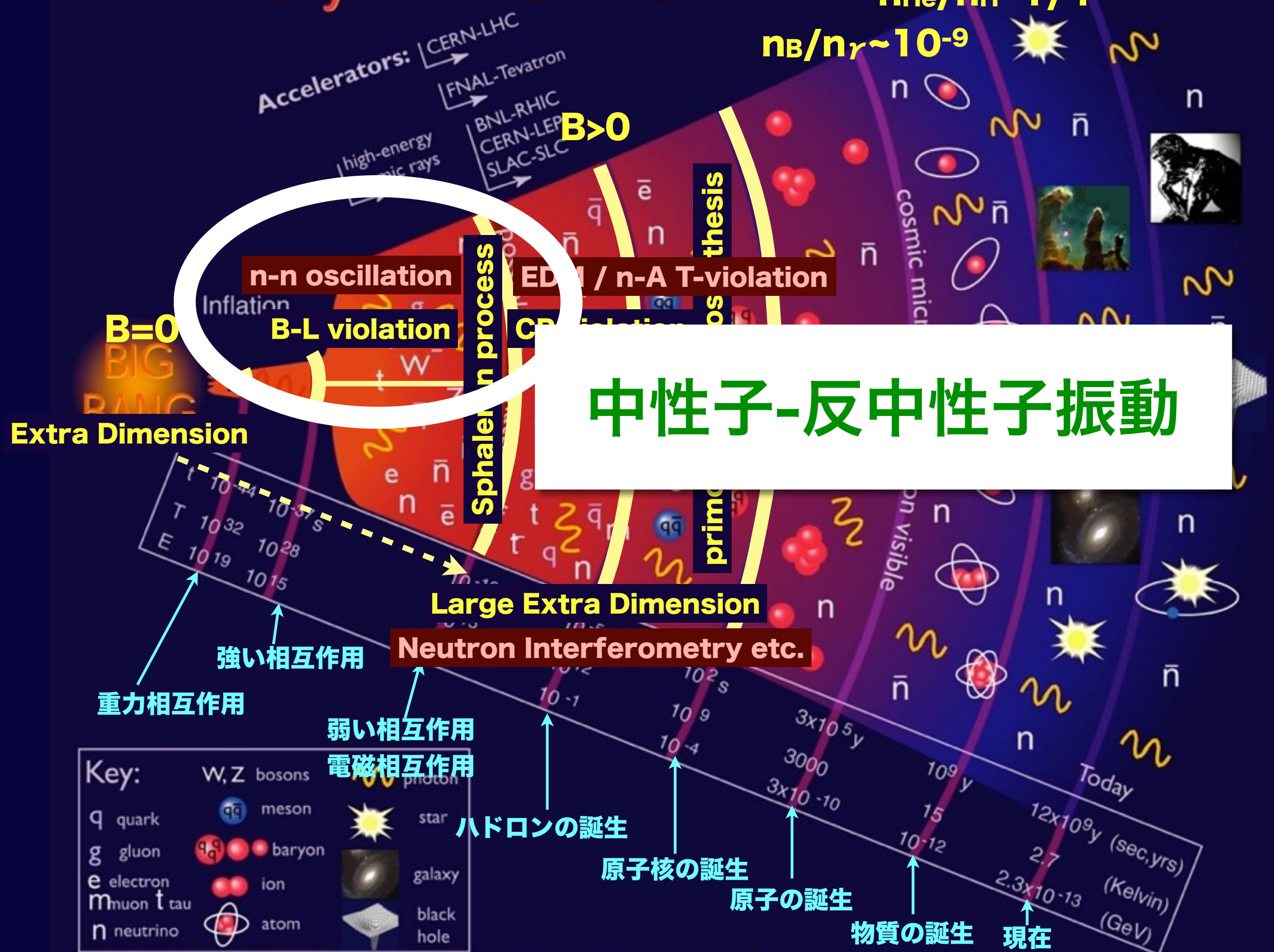
κ は x の関数

$$\begin{aligned} \kappa(J=I+\frac{1}{2}) &= \frac{3}{2\sqrt{2}} \left(\frac{2I+1}{2I+3} \right) \\ &\times \frac{\sqrt{2I+1}(2\sqrt{I}x - \sqrt{2I+3}y)}{(2I-3)\sqrt{2I+3}x - (2I+9)\sqrt{I}y} \\ \kappa(J=I-\frac{1}{2}) &= -\frac{3}{2\sqrt{2}} \left(\frac{(2I+1)\sqrt{I}}{\sqrt{(I+1)(2I-1)}} \right) \\ &\times \frac{2\sqrt{I+1}x + \sqrt{2I-1}y}{(I+3)\sqrt{2I-1}x + (4I-3)\sqrt{I+1}y} \end{aligned}$$

$$y^2 = \Gamma_{p,3/2}^n / \Gamma_p^n = 1 - x^2$$



History of the Universe



中性子反中性子振動

Sakharovの3条件

1. B非保存
2. C, CP非保存
3. 熱平衡からのズレ

$$B_f = \frac{8N_g + 4}{22N_g + 13} (B - L)_i \simeq 0.35(B - L)_i \quad \text{for SM and MSSM}$$

$B_i \neq 0, (B - L)_i = 0 \rightarrow B_f = 0$

~~SU(5) GUT Barvoaenesis~~

$B_i = 0, L_i \neq 0, (B - L)_i \neq 0 \rightarrow B_f \neq 0$

Leptoogenesis

ニュートリノ質量は極めて小さい

Seesaw Mechanism

重い右巻きマヨラナニュートリノ

崩壊 $N \rightarrow l + H (\Delta L = +1)$
 $\rightarrow \bar{l} + \bar{H} (\Delta L = -1)$

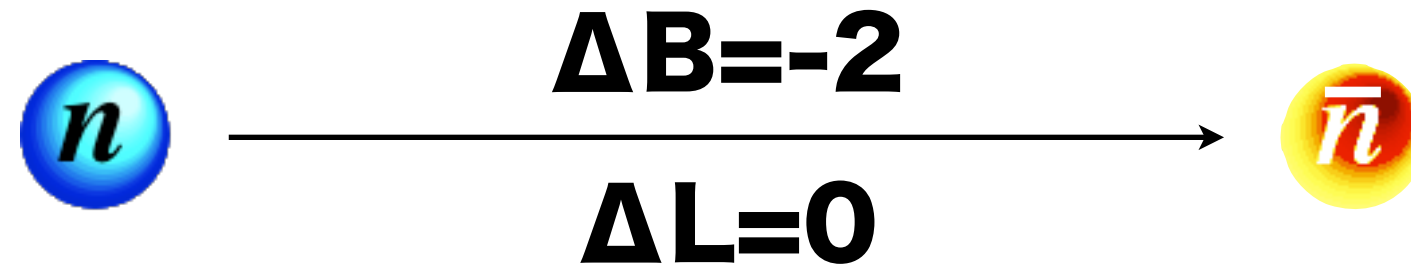
両反応のレートが異なるとレプトン数が保たれない
 \rightarrow Sphaleron \rightarrow バリオン数

$(B - L)_i = 0, (B + L)_i \neq 0 \rightarrow B_f \neq 0$

Electroweak Barvoaensis

KM行列だけではCPの破れが小さすぎる etc.

中性子反中性子振動



$$L = \bar{\psi} M \psi$$

$$\psi = \begin{pmatrix} n \\ \bar{n} \end{pmatrix} \quad M = \begin{pmatrix} E_0 & c^2 \delta m \\ c^2 \delta m & E_0 \end{pmatrix}$$

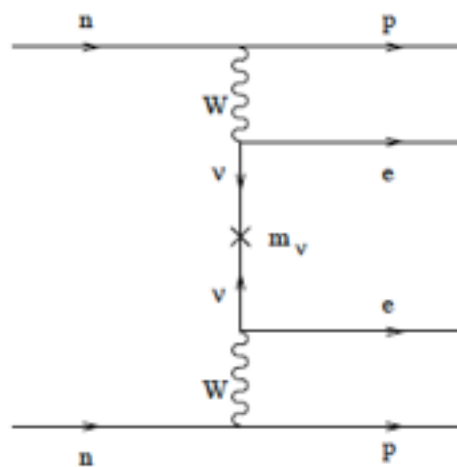
$$|n_{1,2}\rangle = \frac{1}{\sqrt{2}}(|n\rangle \pm |\bar{n}\rangle)$$

$$m_{1,2} = m_n \pm \delta m$$

$$I(t) = I(0) \sin^2 \frac{c^2 \delta m}{\hbar} t$$

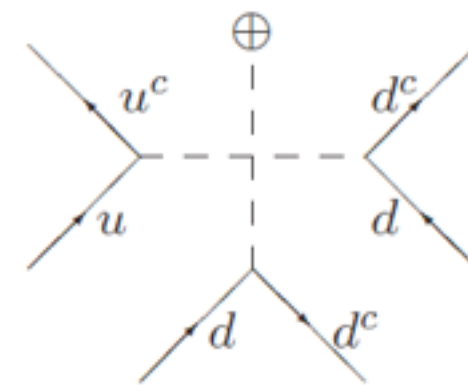
$$\delta m \propto \frac{1}{m_\nu}$$

Neutrinoless Double Beta Decay: $n + n \rightarrow p + p + e^- + e^-$ B=2; L=0; Neutron-Antineutron Oscillation: $n \leftrightarrow \bar{n}$

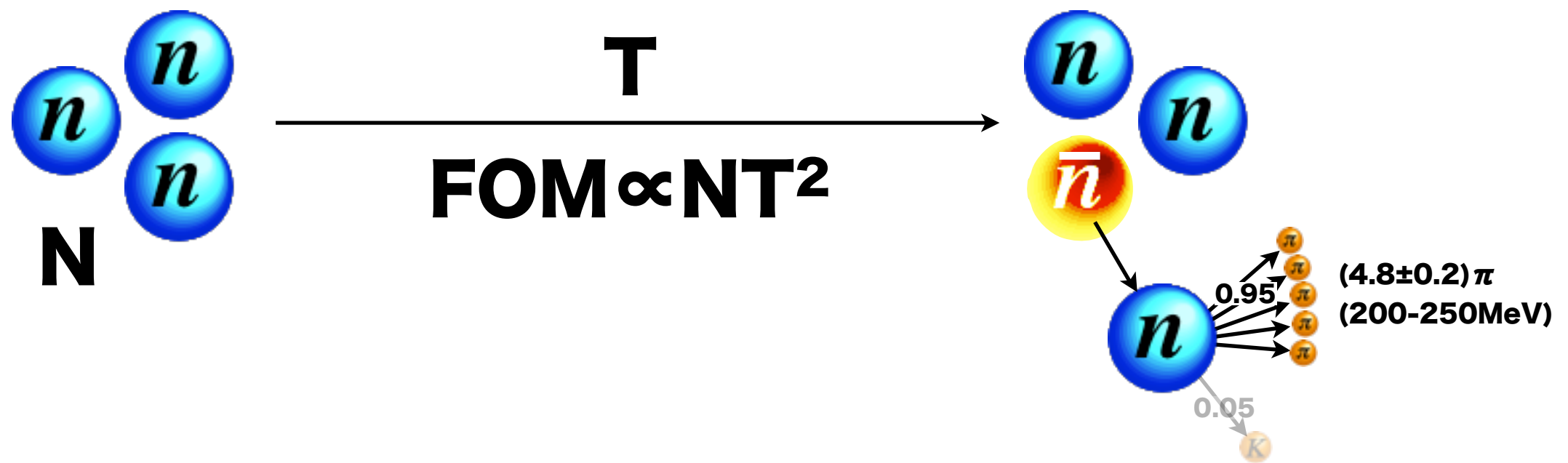


[W Fury]

[Marshak and Mohapatra]



中性子反中性子振動



free neutron $\tau_{n\bar{n}, \text{free}} > 8.6 \times 10^7 \text{ s} (\text{CL} = 90\%)$

$$L = \bar{\psi} M \psi$$

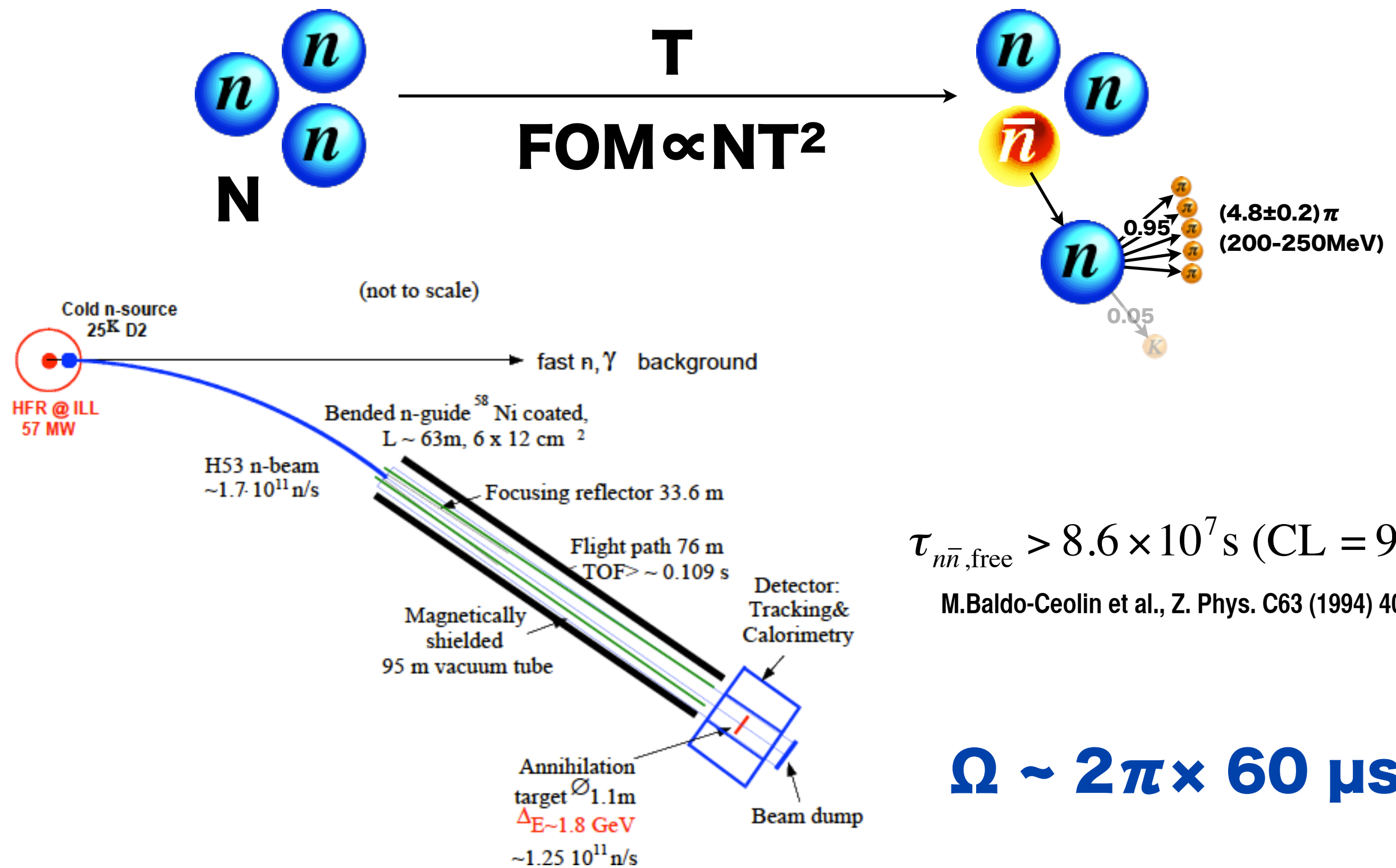
$$\psi = \begin{pmatrix} n \\ \bar{n} \end{pmatrix} \quad M = \begin{pmatrix} E_0 & c^2 \delta m \\ c^2 \delta m & E_0 \end{pmatrix}$$

$$|n_{1,2}\rangle = \frac{1}{\sqrt{2}}(|n\rangle \pm |\bar{n}\rangle)$$

$$m_{1,2} = m_n \pm \delta m$$

$$I(t) = I(0) \sin^2 \frac{c^2 \delta m}{\hbar} t$$

中性子反中性子振動

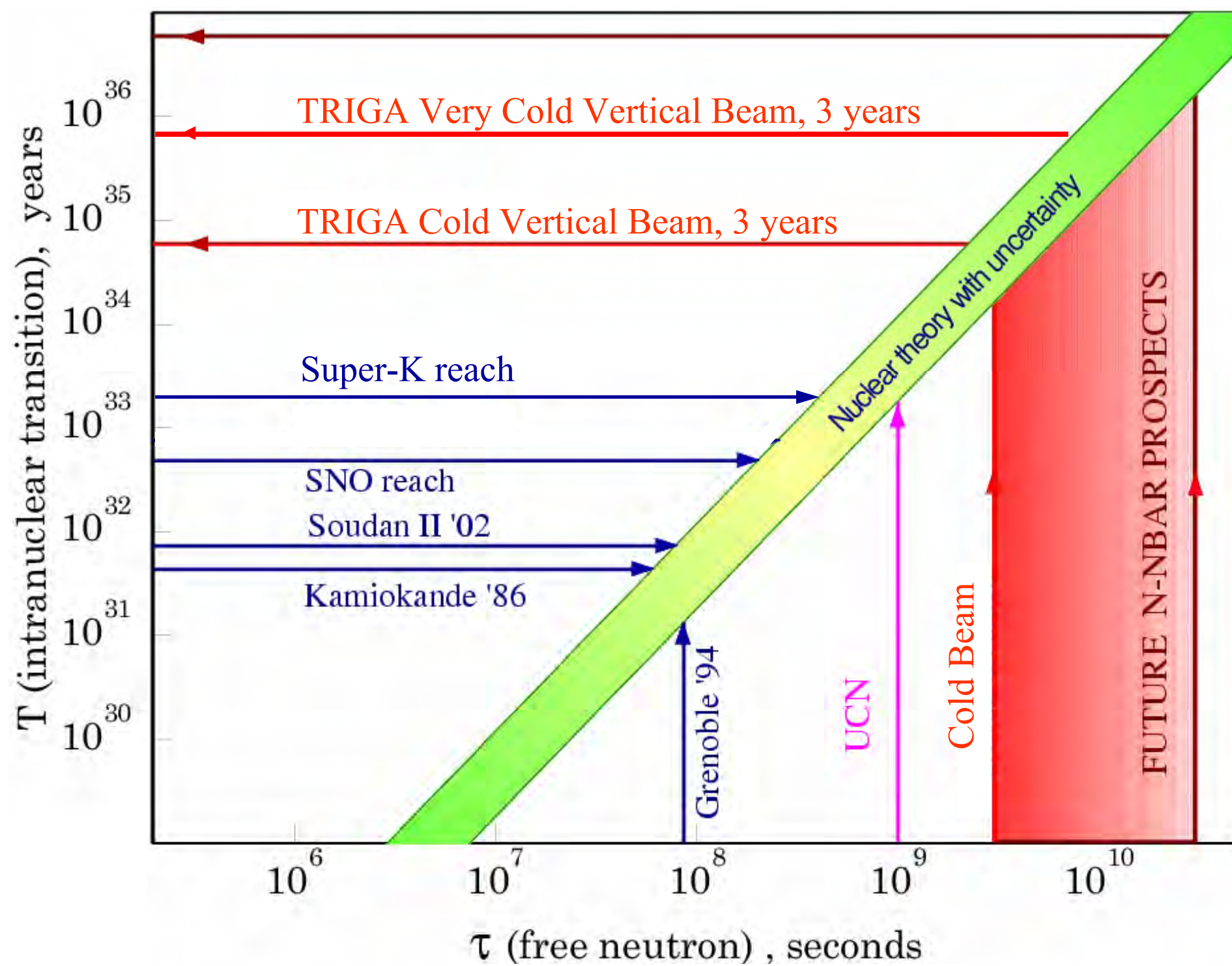


$$\tau_{n\bar{n},\text{free}} > 8.6 \times 10^7 \text{s} (\text{CL} = 90\%)$$

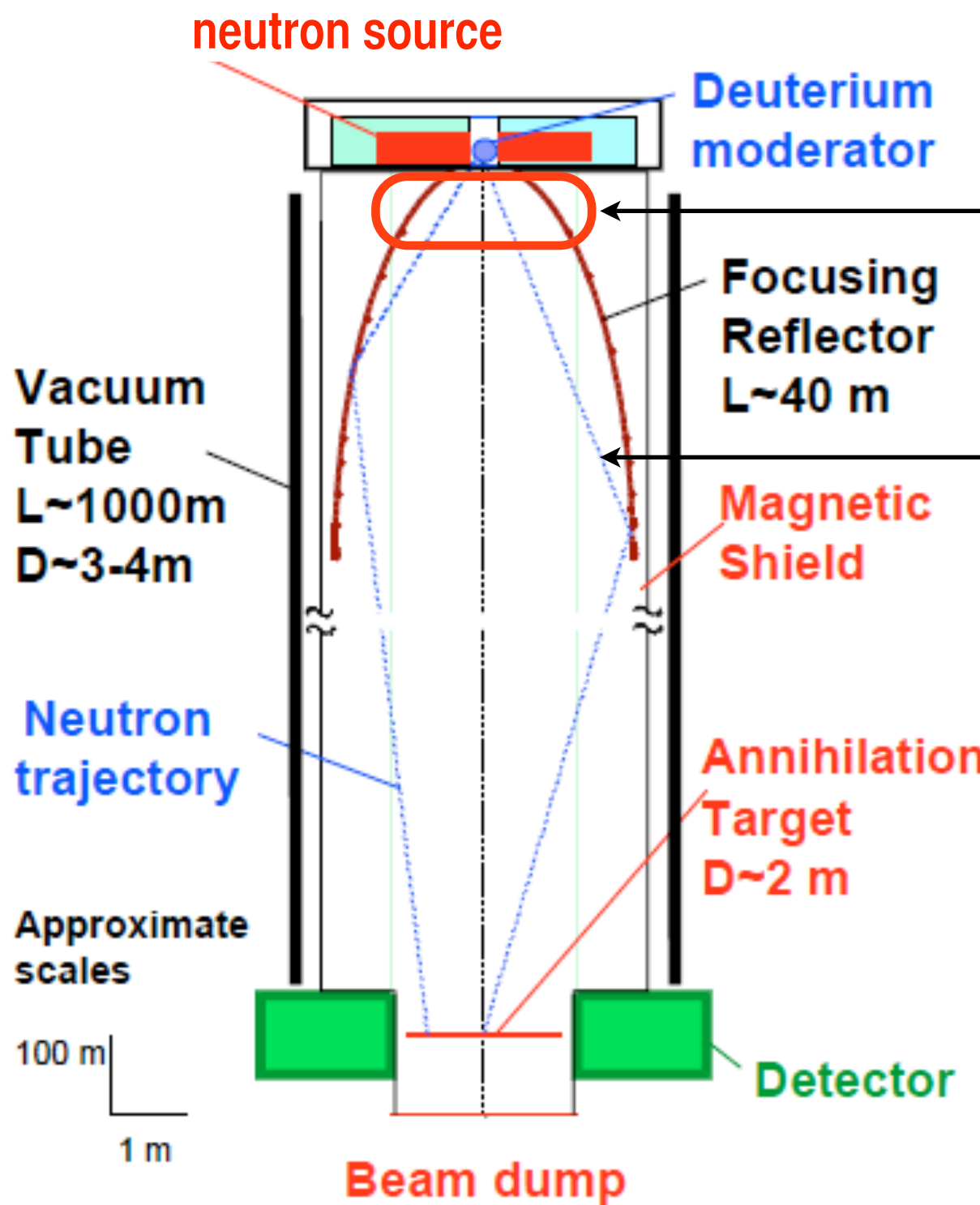
M.Baldo-Ceolin et al., Z. Phys. C63 (1994) 409.

$$\Omega \sim 2\pi \times 60 \text{ } \mu\text{sr}$$

中性子反中性子振動



中性子反中性子振動



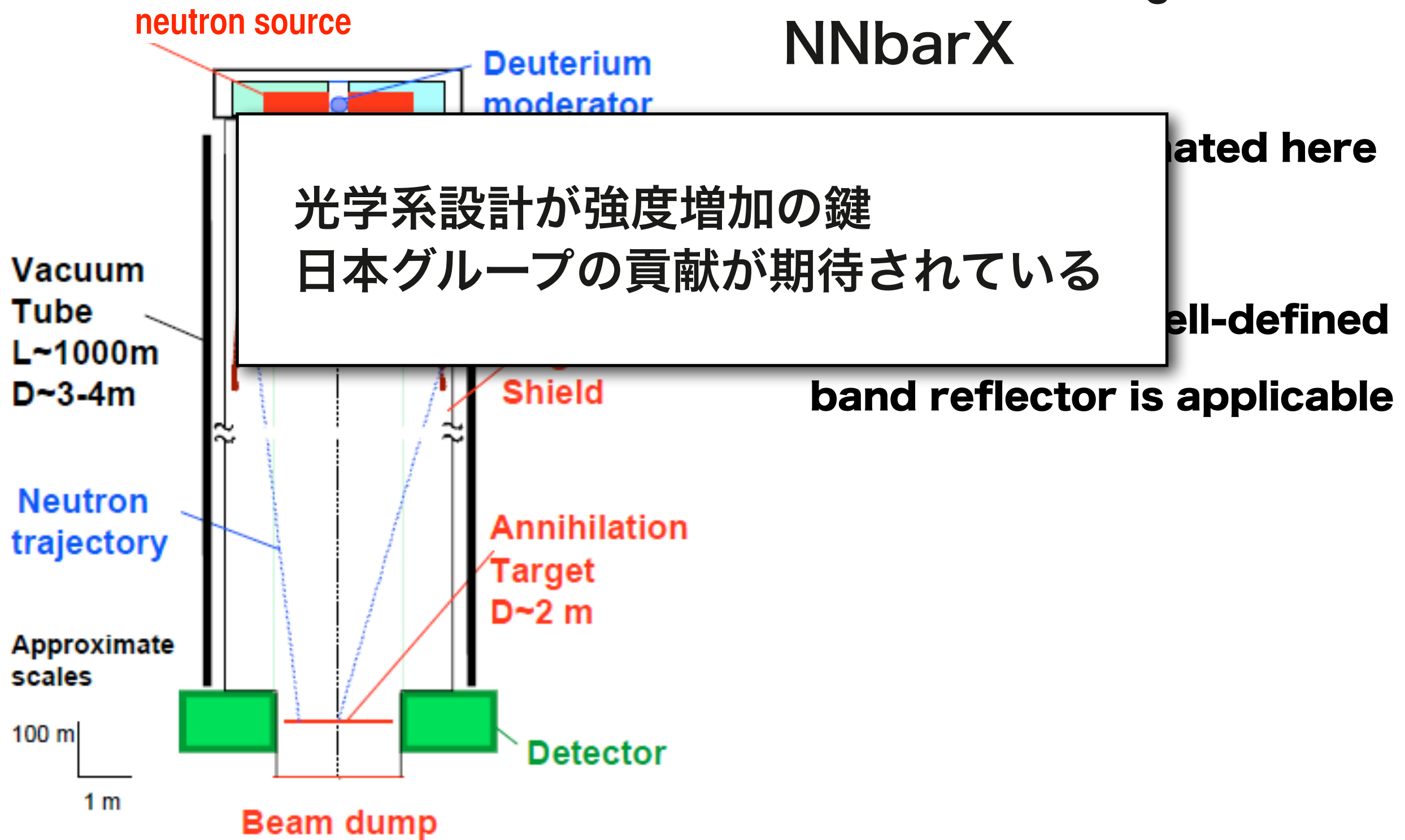
Fermilab ProjectX NNbarX

acceptance is dominated here

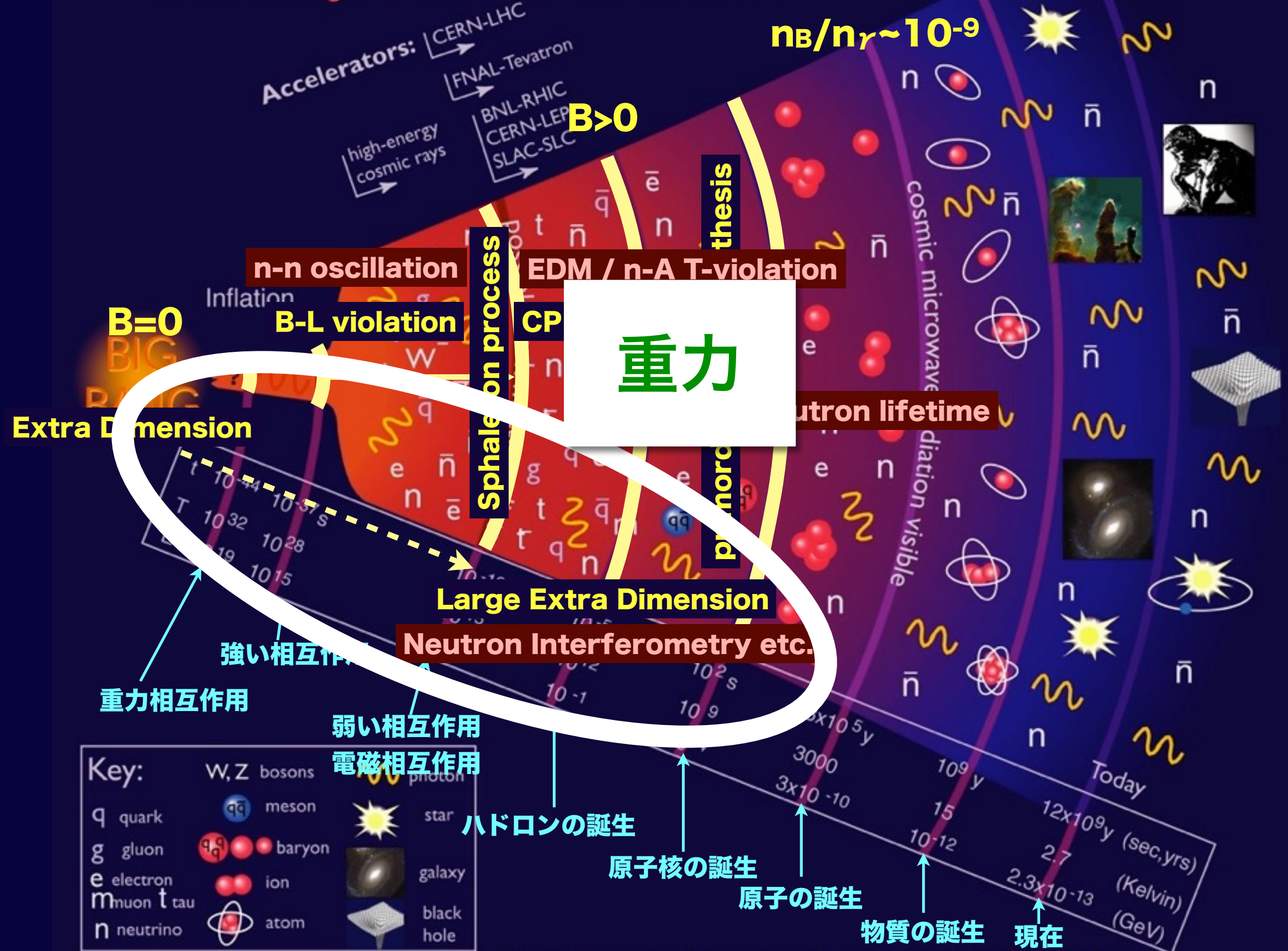
reflection angle is well-defined
band reflector is applicable

中性子反中性子振動

Fermilab ProjectX NNbarX



History of the Universe



未知短距離力・重力

PROPERTIES OF THE INTERACTIONS

Property	Interaction	Gravity	弱い力 Fermi Gauge	電磁力 Electromagnetic Gauge	Fundamental Strong Gauge	強い力 Fundamental Strong Gauge
Acts on:	Mass – Energy	Flavor	Electric Charge	Color Charge	See Residual Strong Interaction Note	
Particles experiencing:	All	Quarks, Leptons	Electrically charged	Quarks, Gluons	Hadrons	
Particles mediating:	Graviton (not yet observed)	W^+ W^- Z^0	γ	Gluons	Mesons	
Strength relative to electromagnetism for two u quarks at: for 3×10^{-17} m	10^{-41} 10^{-41}	0.8 10^{-4}	1 1	25 60 Not applicable to hadrons	Not applicable to quarks	
二つの陽子	10-36	10-7	1		20	

何故重力だけが極端に弱い？

Gravity is not renormalizable.

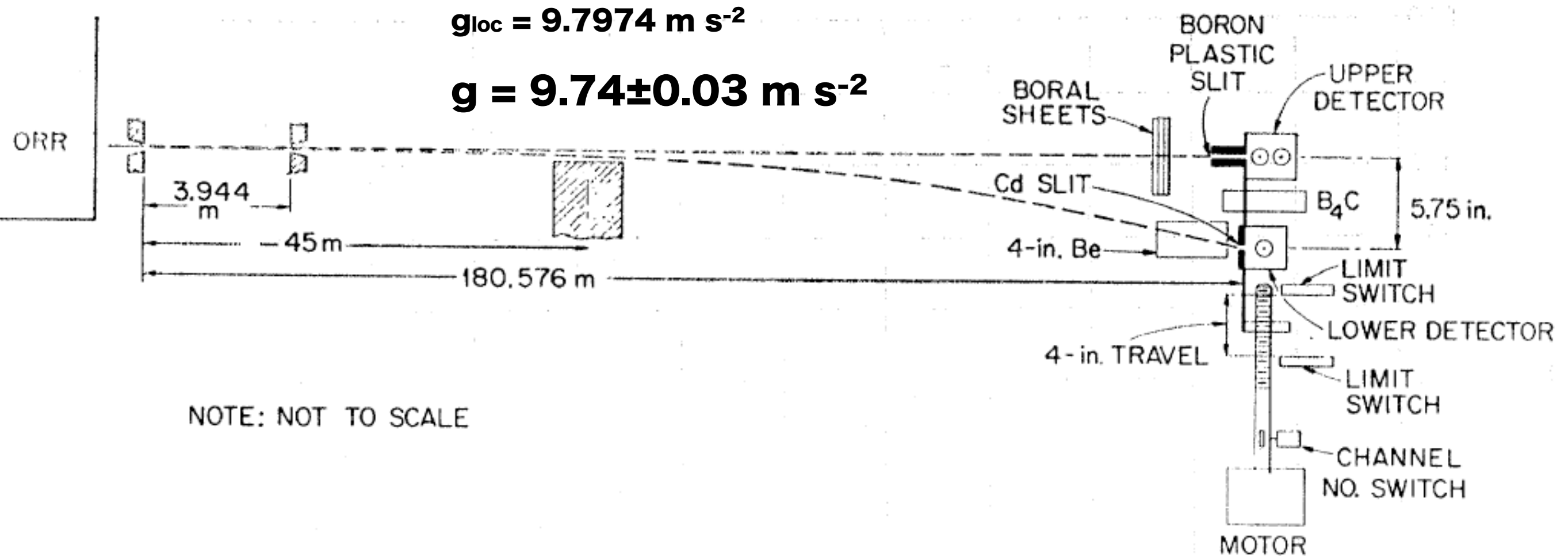
Gravity is the nature of space time.

Gravity is essential at the Planck scale.

未知短距離力・重力

中性子は重力を感じる

Dabbs et al., Phys. Rev. 139 (1965) B756



Gregoriev et al., Proc. 1st Int. Conf. Neutr. Phys., Kiev, 1 (1988) 60

$g = 9.801 \pm 0.013 \text{ m s}^{-2}$

$g_{loc} = 9.814 \text{ m s}^{-2}$

未知短距離力・重力

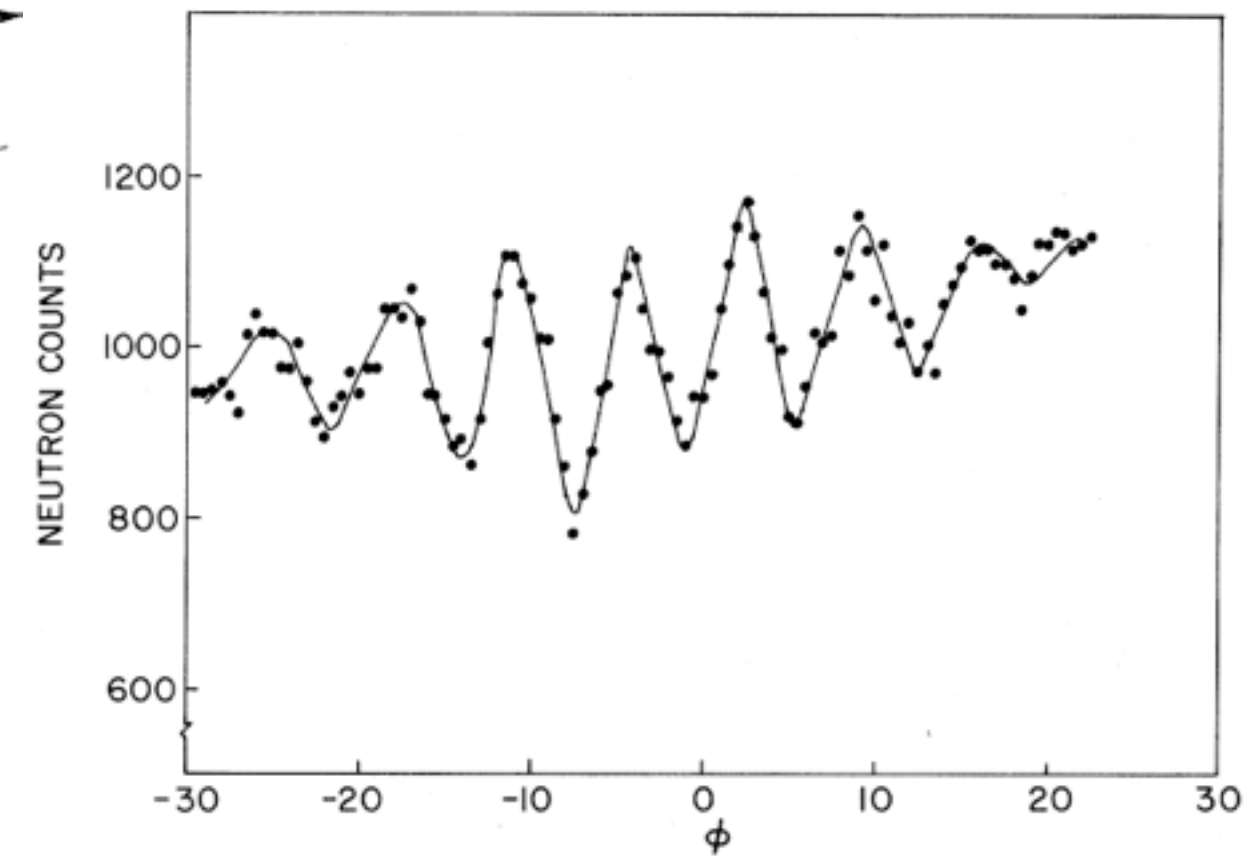
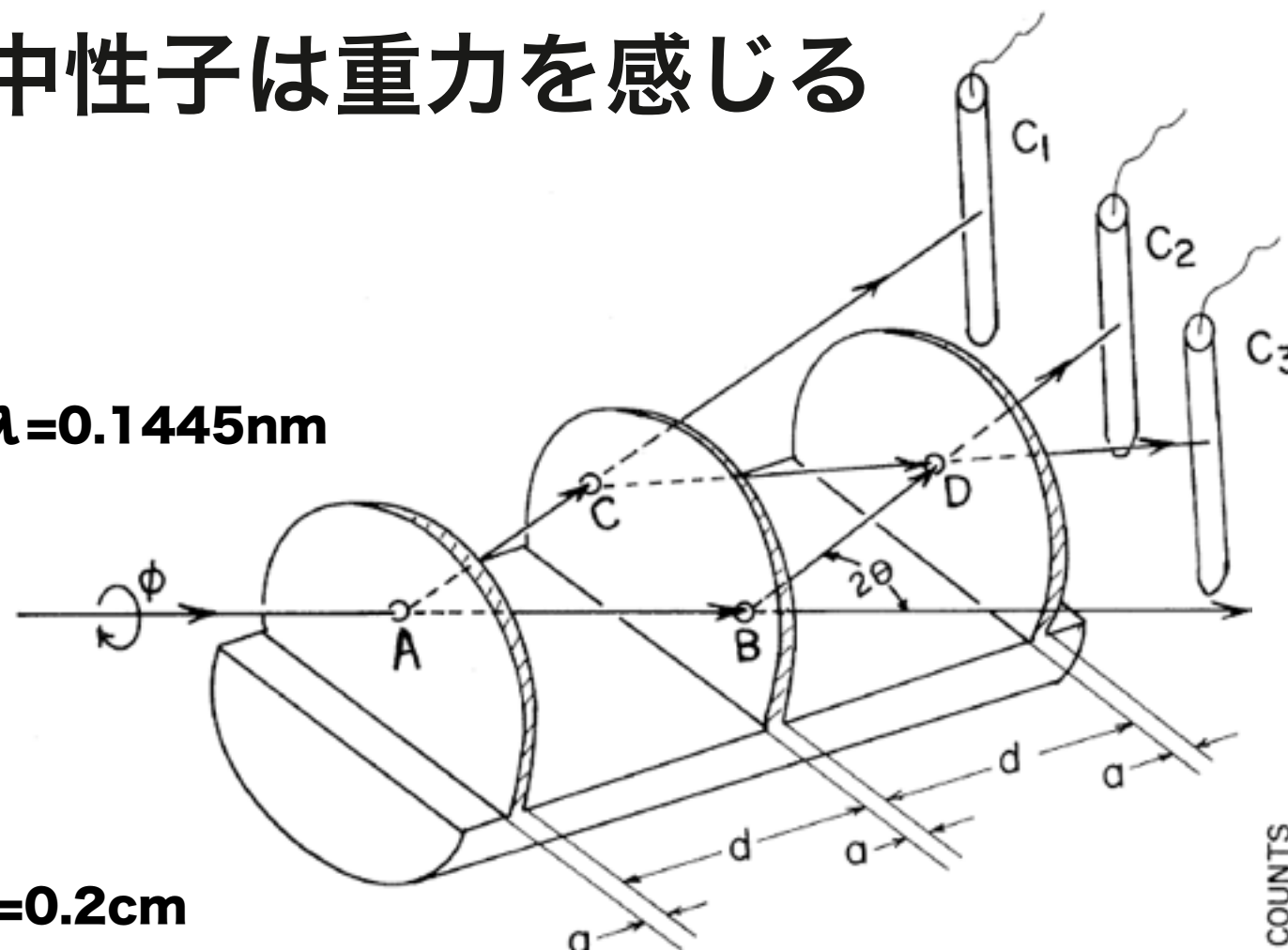
中性子は重力を感じる

$$\lambda = 0.1445\text{nm}$$

$$a = 0.2\text{cm}$$

$$d = 3.5\text{cm}$$

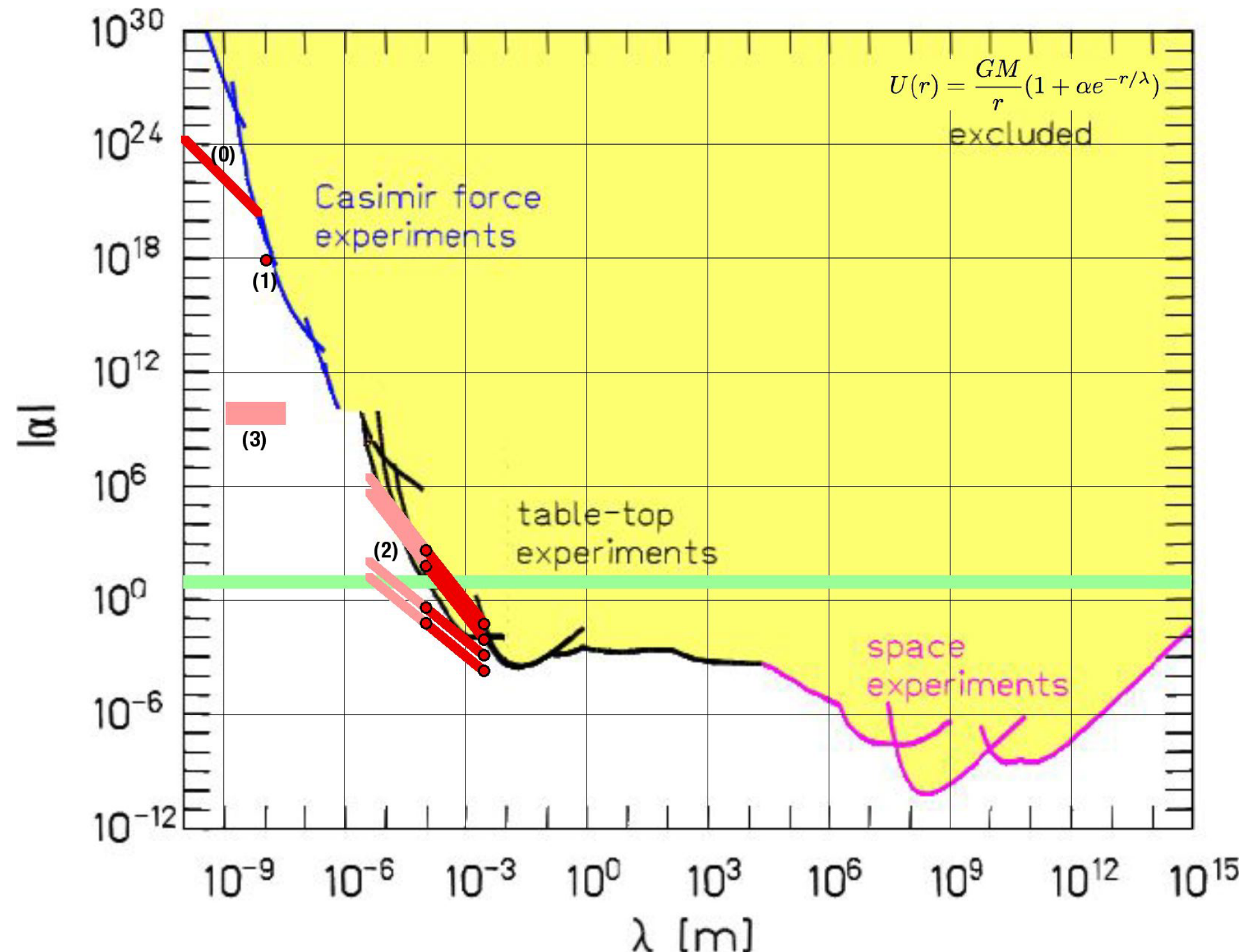
$$\theta = 22.1^\circ$$



Collela, Overhauser, Werner, Phys. Rev. Lett. 34 (1975) 1472

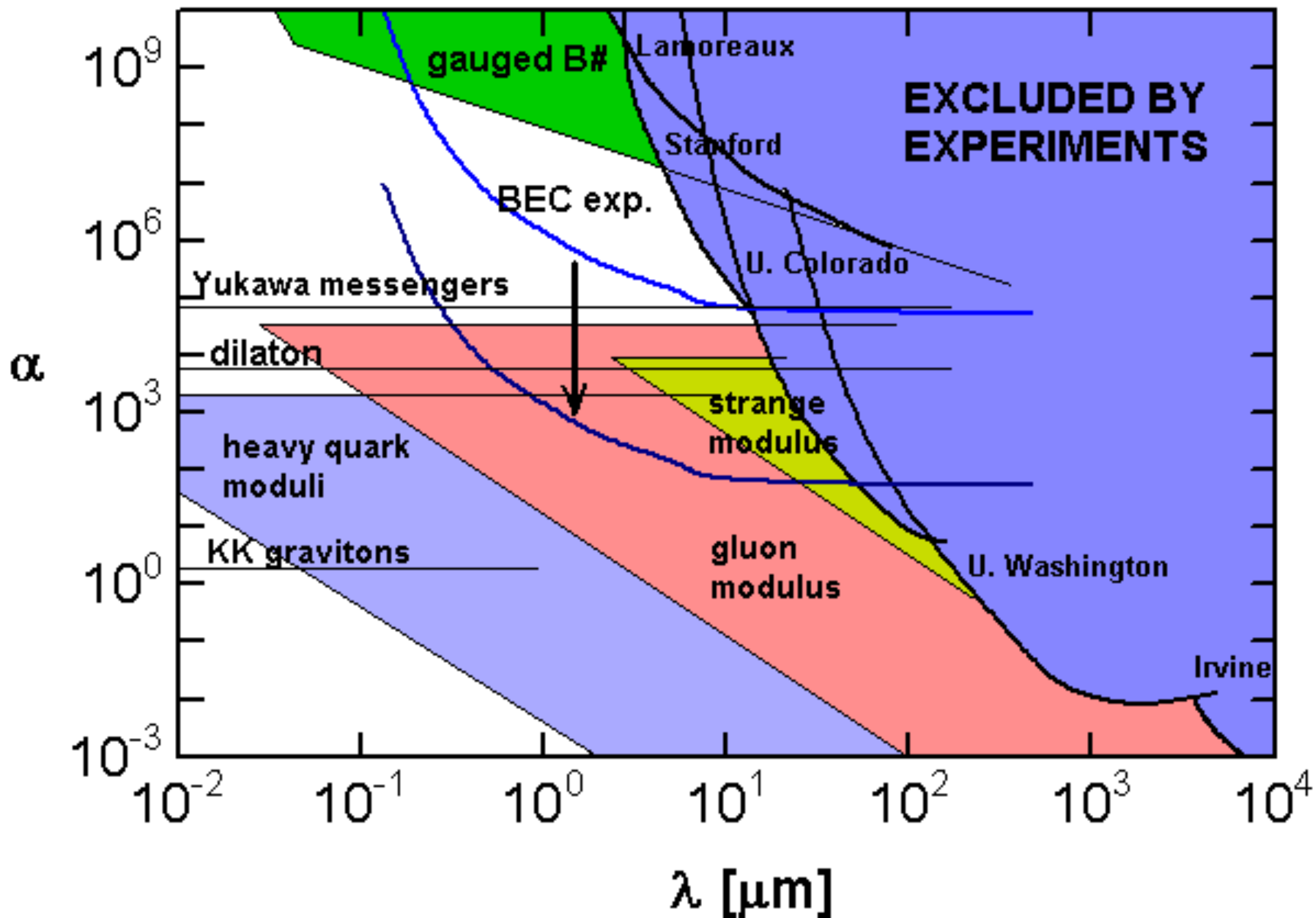
未知短距離力・重力

$$V(r) = -(GM/r)(1 + \alpha e^{-r/\lambda})$$



未知短距離力・重力

$$V(r) = -(GM/r)(1 + \alpha e^{-r/\lambda})$$



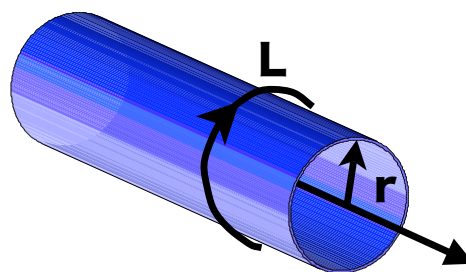
未知短距離力・重力

Newtonian **exotic interaction (Yukawa-type)**

$$V_G(r) = V_g(r) \cdot (1 + \alpha \exp(-r/\lambda)) \quad \left(V_g(r) = -G \frac{M \cdot m}{r} \right)$$

Newton重力からのズレを探索する

大きな余剰次元モデル



N次元のうち3次元以外は
コンパクト化されている

3次元空間における重力

$$F_3(r) = G_3 \frac{m_1 m_2}{r^2}$$

N次元空間における重力

$$F_N(r) = G_N \frac{m_1 m_2}{r^{N-1}}$$

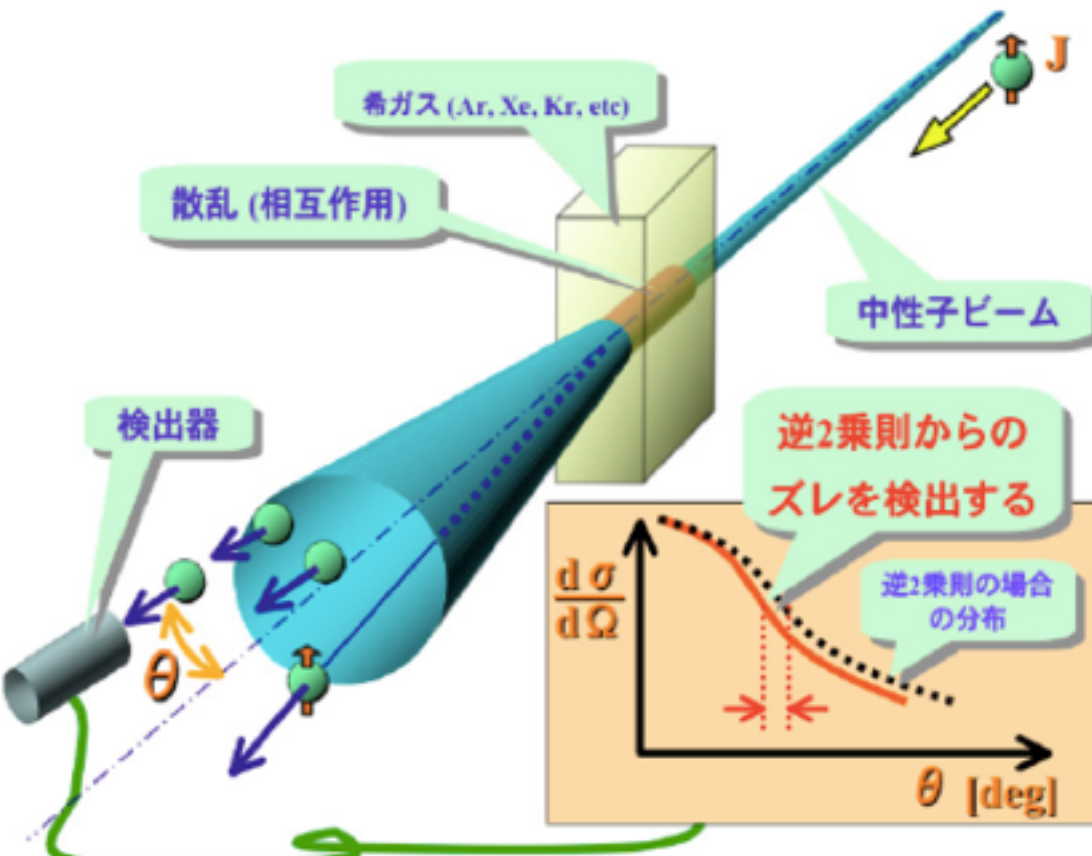
$r=R^*$ において接続

$$\frac{G_3}{R^*{}^2} = \frac{G_N}{R^*{}^{N-1}} \rightarrow G_3 = \frac{G_N}{R^*{}^{N-3}}$$

$$\frac{V(r)}{m_1 m_2} = G_3 \sum_{(k_1, \dots, k_n)} \frac{e^{-(2\pi|k|/L)r}}{r}$$
$$\rightarrow G_3 \frac{1}{r} \left(\frac{L}{2\pi r} \right)^n \int d^n u e^{-|u|}$$

未知短距離力・重力

希ガスによる小角散乱



$\lambda \sim 10\text{nm}$ のオーダーの測定が可能

重力を含めた断面積

$$\frac{d\sigma(\theta)}{d\Omega} = [a_N + a_{ne} Z F_e(\theta) + a_G F_G(\theta)]^2$$

$$\cong a_N^{-2} + 2a_N a_{ne} Z F_e(\theta) + a_{ne}^{-2} Z^2 F_e(\theta)^2 + 2a_N a_G F_G(\theta)$$

$$a_G \propto \alpha$$

$$\frac{d\sigma_G(\theta)}{d\Omega} = 2 \cdot \sigma_N^{1/2} \cdot \alpha \cdot \left(\frac{G \cdot m_n \cdot M}{4} \right) \cdot \left(\frac{1}{\frac{1}{m_n c^2} \left(\frac{\hbar c}{\lambda} \right)^2 + 8E_n \sin^2 \frac{\theta}{2}} \right)$$

未知短距離力探索 (短距離重力)

九大・名大・KEK・Indiana Univ.

中性子散乱の角分布を精密測定

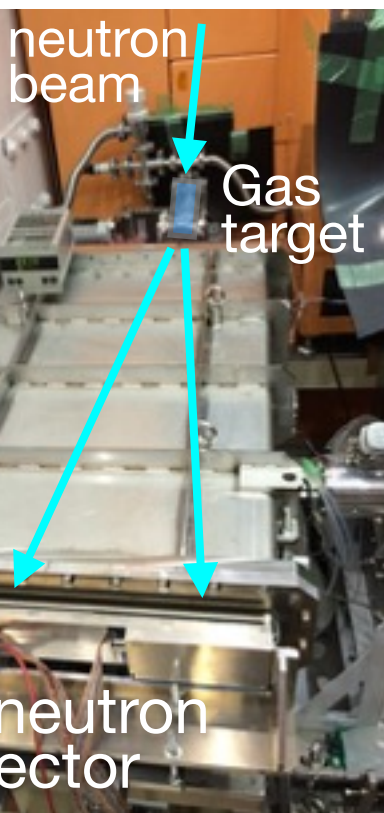
短距離力を含んだポテンシャルによる散乱は前方ピークを持つ

$$V(r) = G \frac{m_1 m_2}{r} (1 + \alpha e^{-r/\lambda})$$

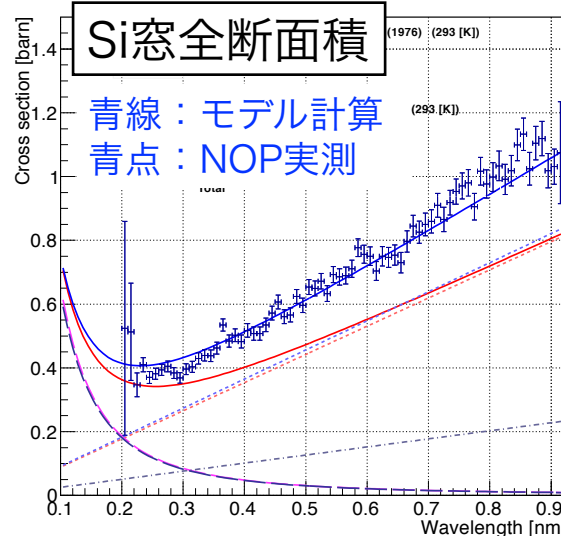
$$\frac{d\sigma_G(\theta)}{d\Omega} = 2 \cdot \sigma_N^{1/2} \cdot \alpha \cdot \left(\frac{G \cdot m_n \cdot M}{4} \right) \cdot \left(\frac{1}{\frac{1}{m_n c^2} \left(\frac{\hbar c}{\lambda} \right)^2 + 8 E_n \sin^2 \frac{\theta}{2}} \right)$$

→ 希ガス原子の中性子散乱を測定

NOPの大強度ビーム+Xeターゲット
→ 100日で $\alpha=10^{20}$ に到達

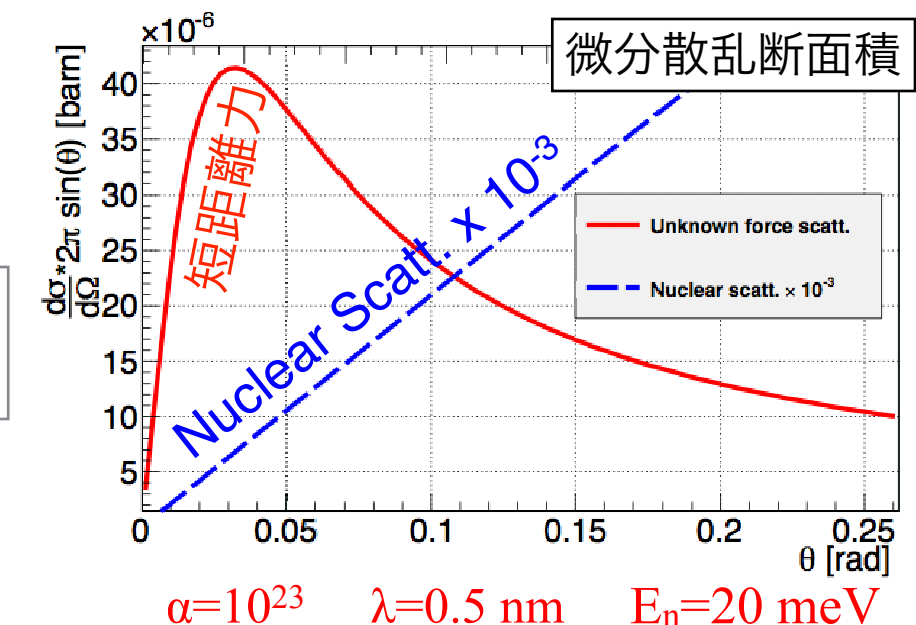
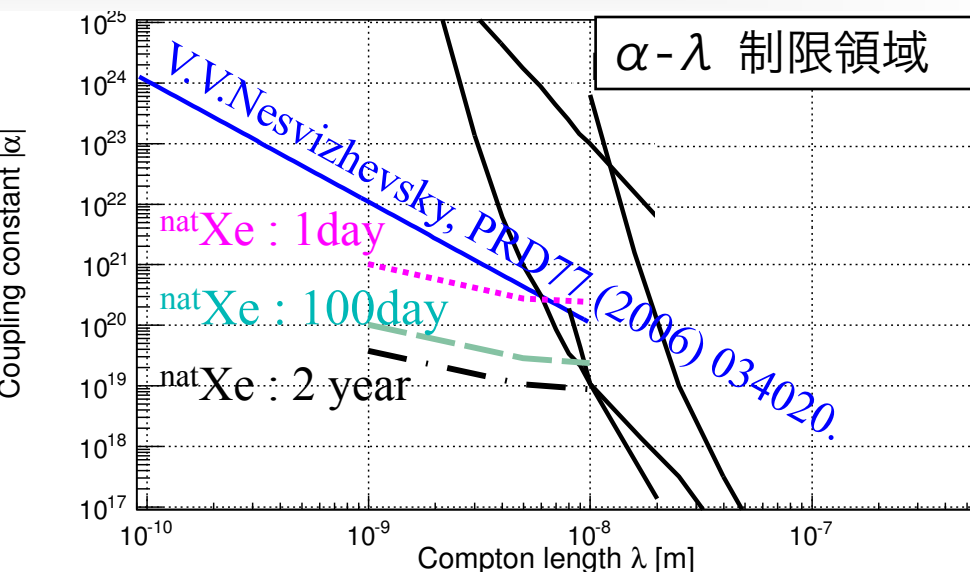


NOP低発散ビームで phase 1 開始



バックグラウンドになるSi窓の散乱を確認

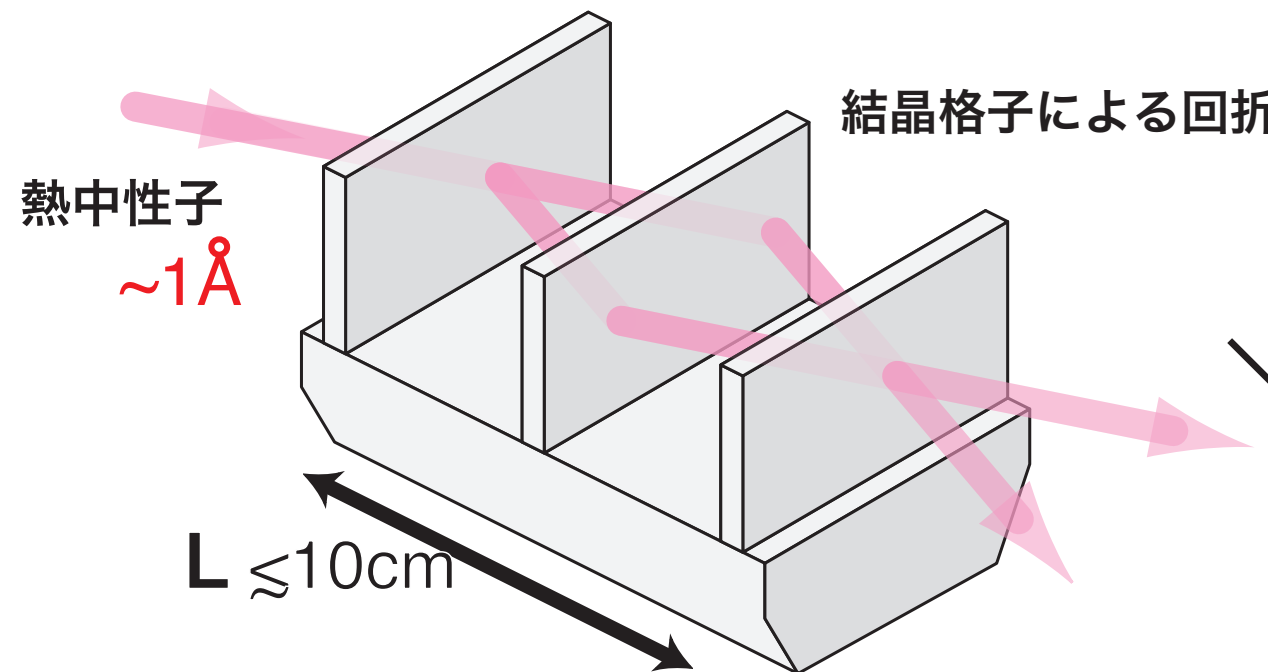
→ 大強度ビームでの実験で下限値を下げていく
非偏極ブランチに移設、ビーム輸送系更新+大型散乱槽



未知短距離力・重力

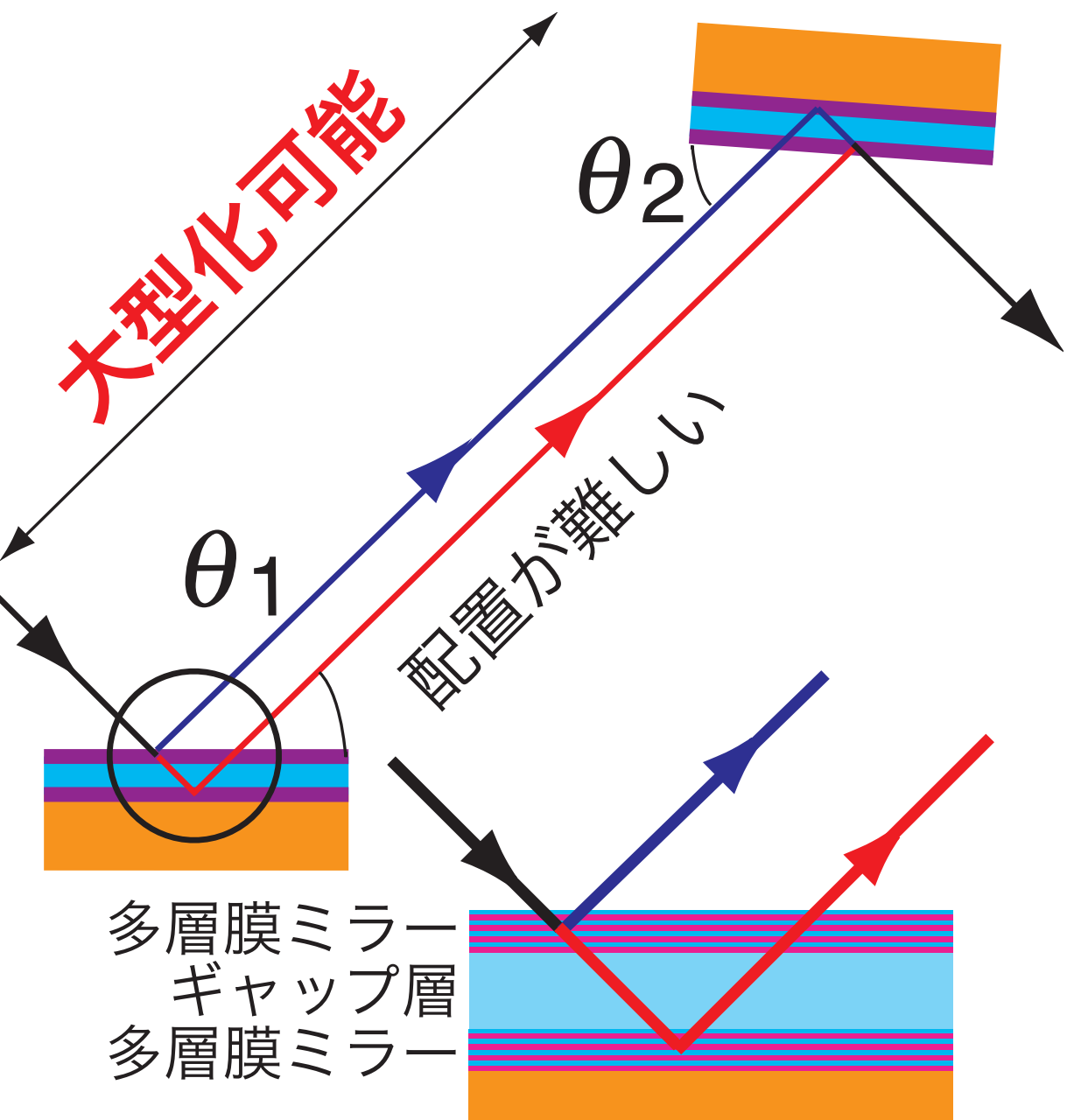
干渉計による重力

Si 単結晶による干渉計



4枚のミラーが原理的に並んでいる
決まった波長しか使えない
結晶の大きさに限界がある
動的回折で経路が決まらない

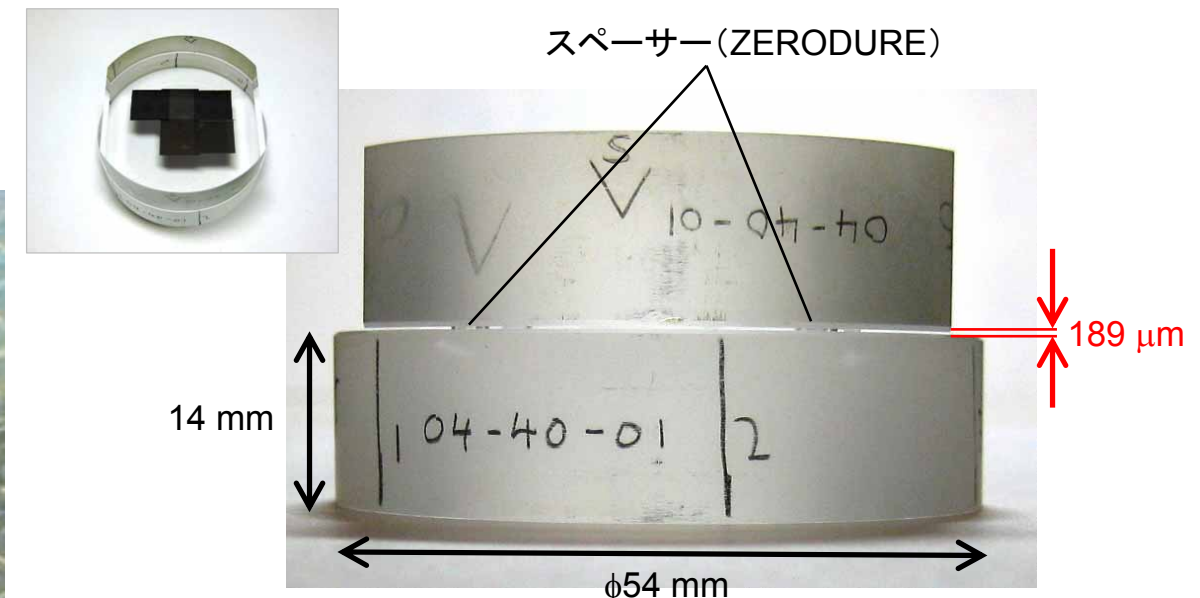
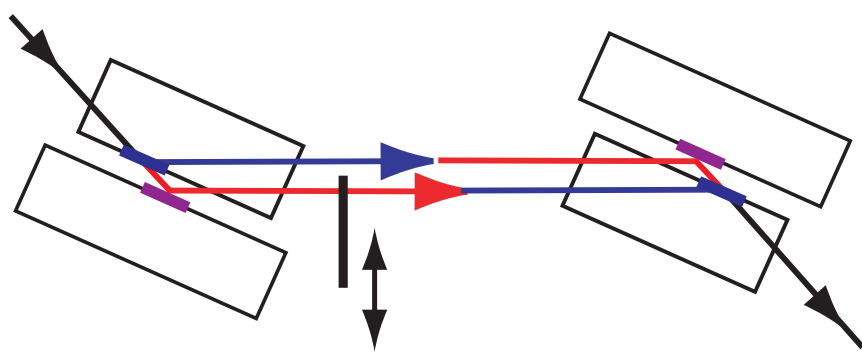
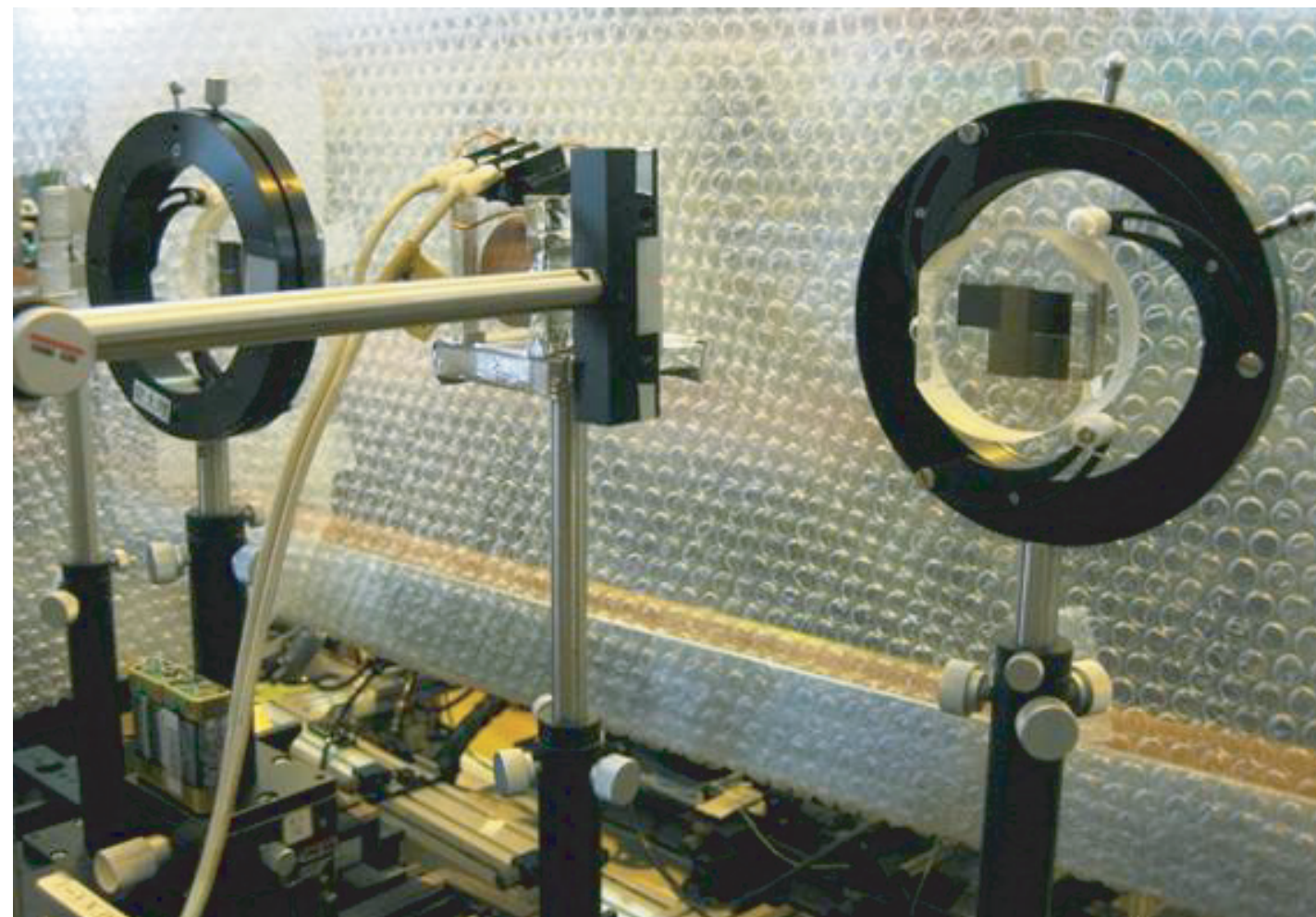
多層膜干渉計



H. Funahashi et al,
Phys. Rev. A54(1996) 649

未知短距離力・重力

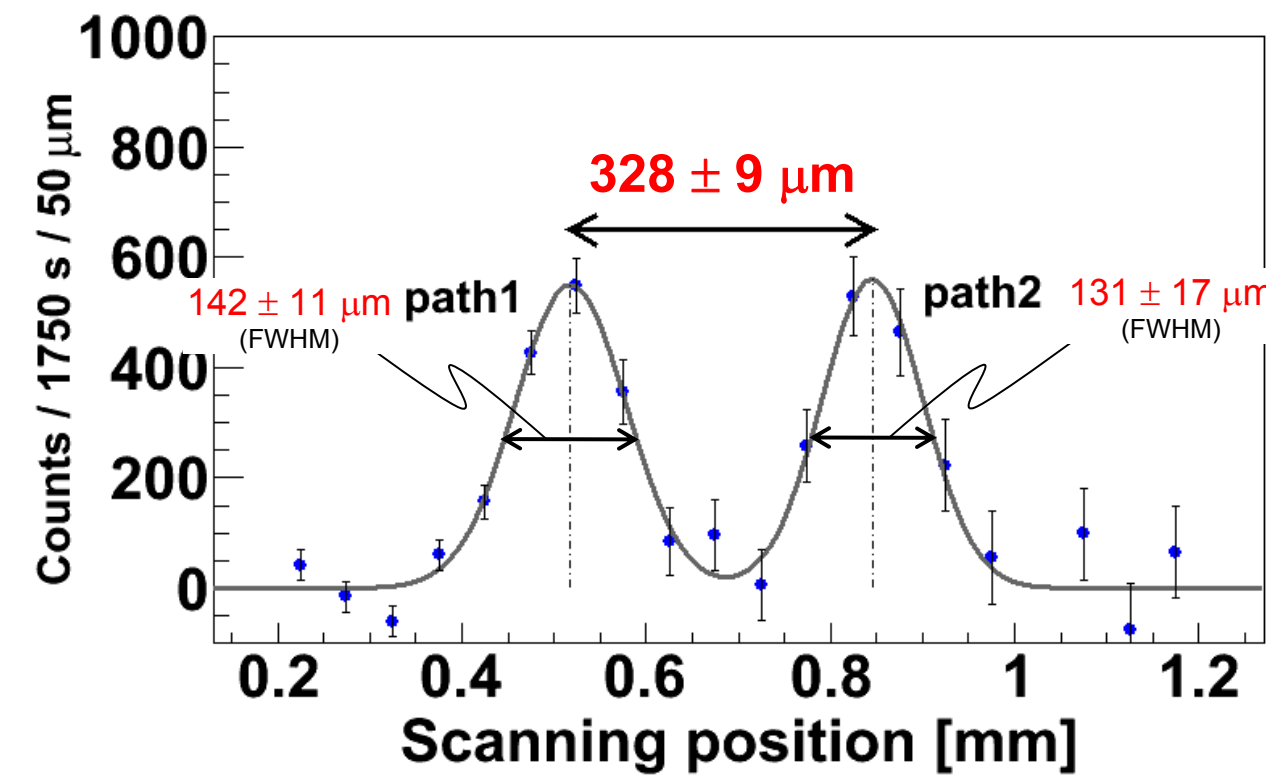
干渉計による重力



平面度 $\lambda_{\text{He-Ne}}/100$

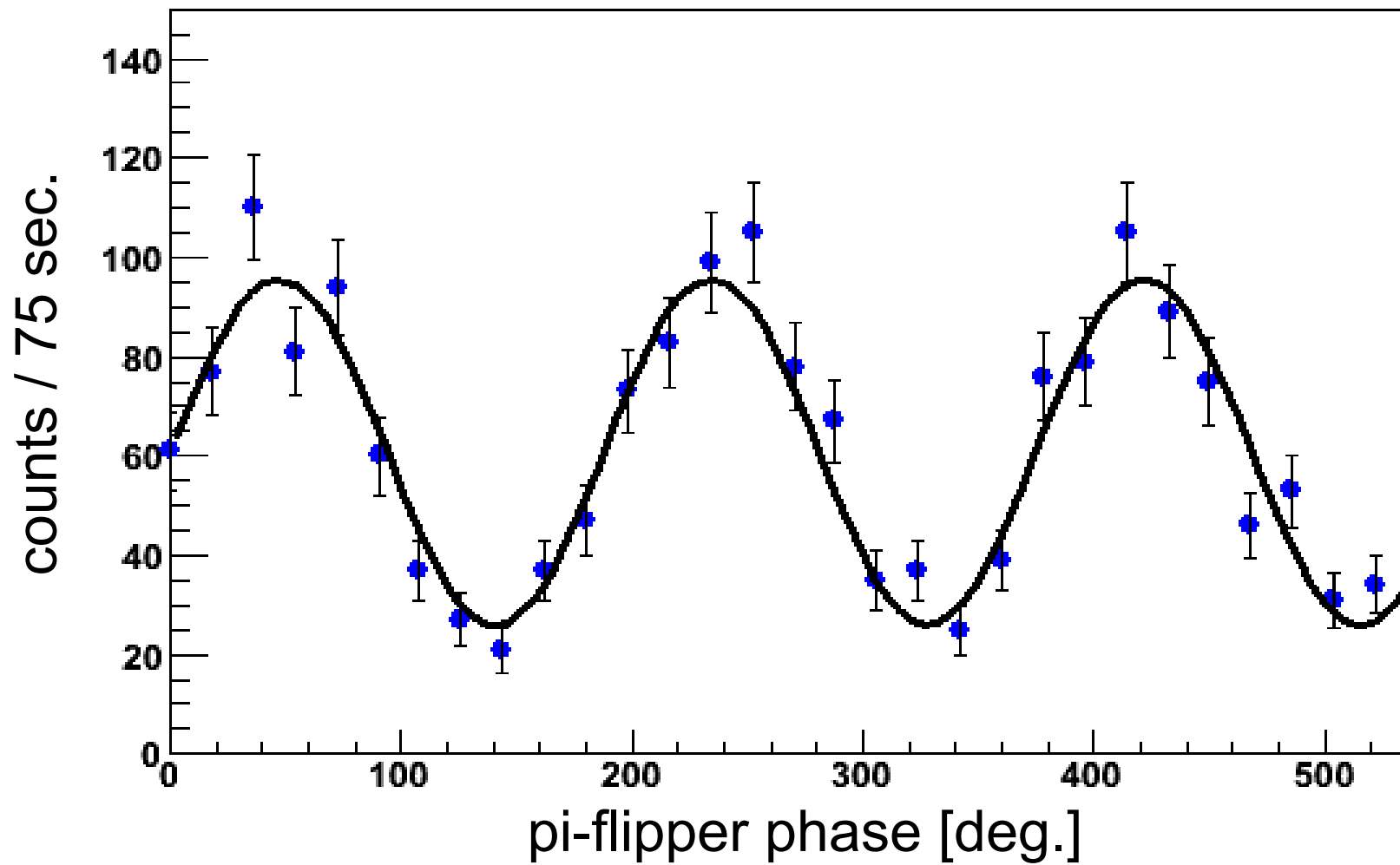
平行度 $\lambda_{\text{He-Ne}}/100$

8



未知短距離力・重力

干渉計による重力



Y. Seki et al.
J. Phys. Soc. Jpn. 79
(2010)124201.

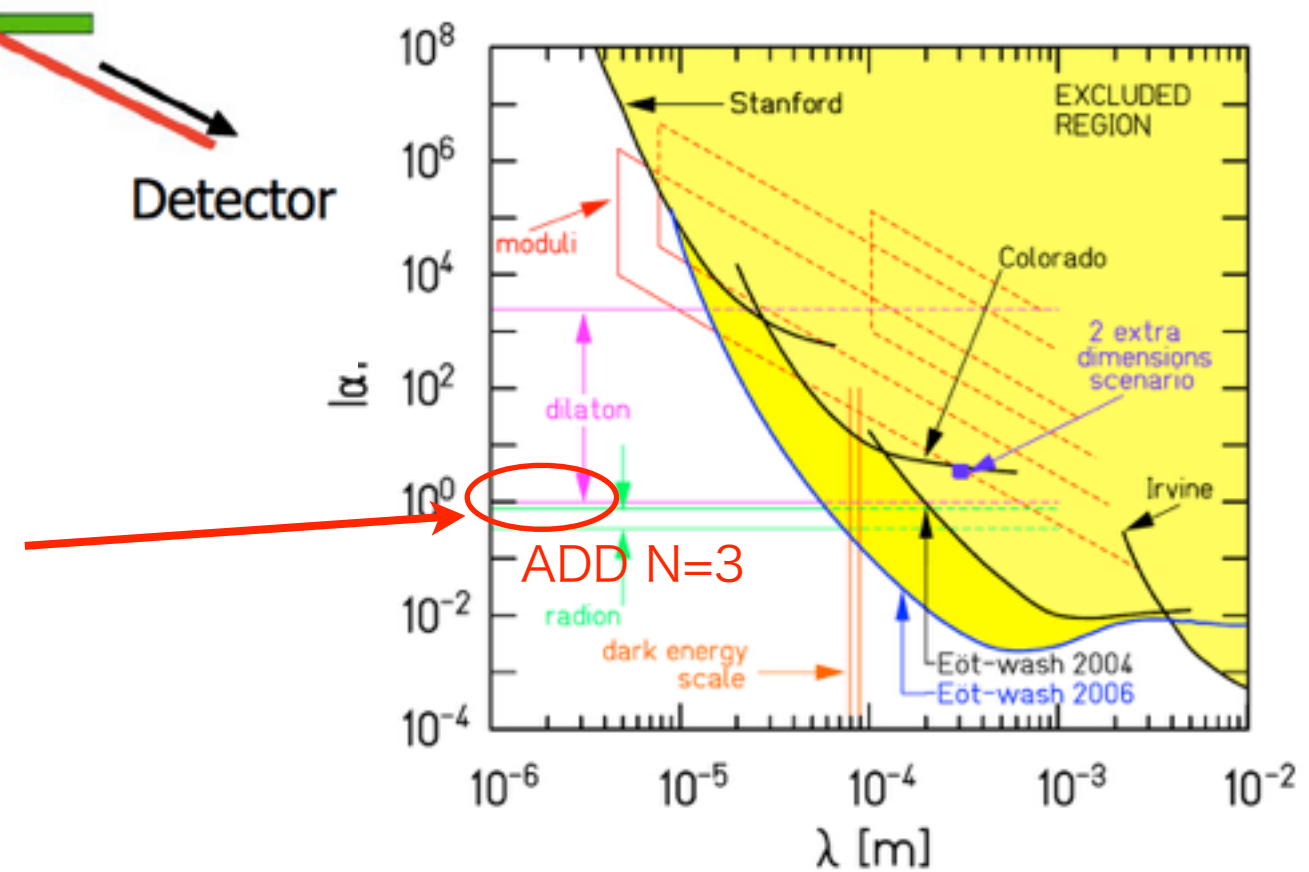
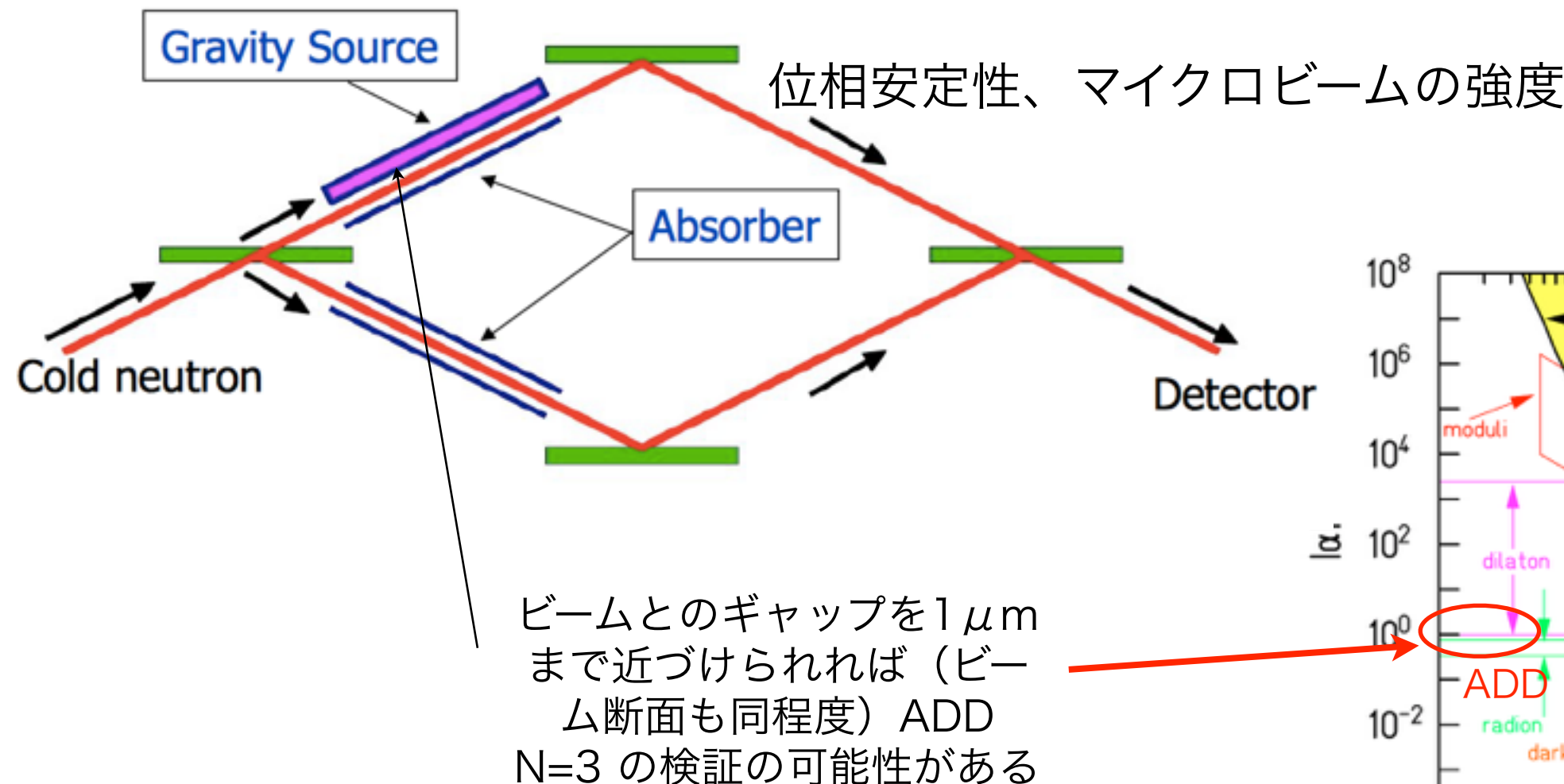
→2経路を完全分離する多層膜中性子干渉計

未知短距離力・重力

干渉計による重力

$\lambda \sim 10\mu\text{m}$ のオーダーの測定が可能

干渉計の片経路の重力ポテンシャルを位相シフトから検出

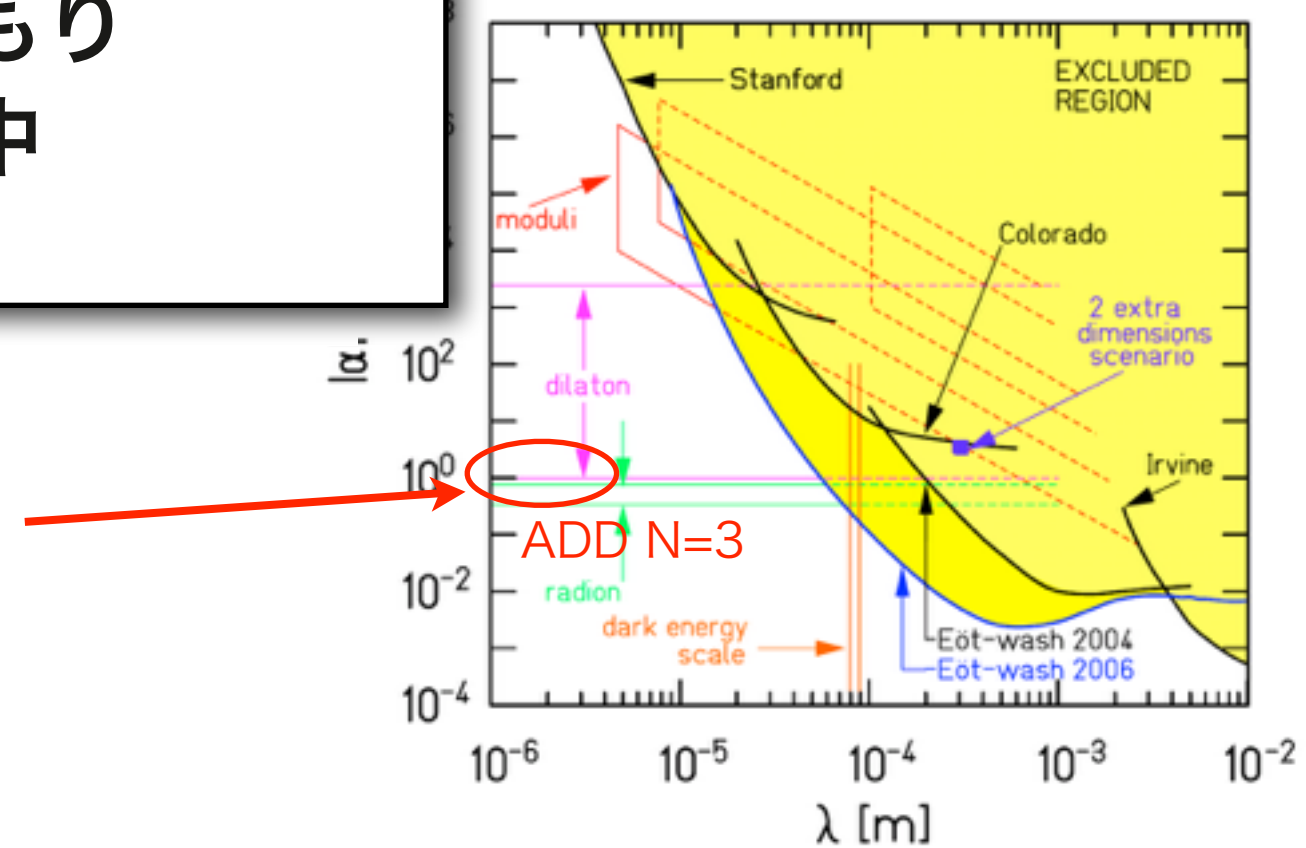
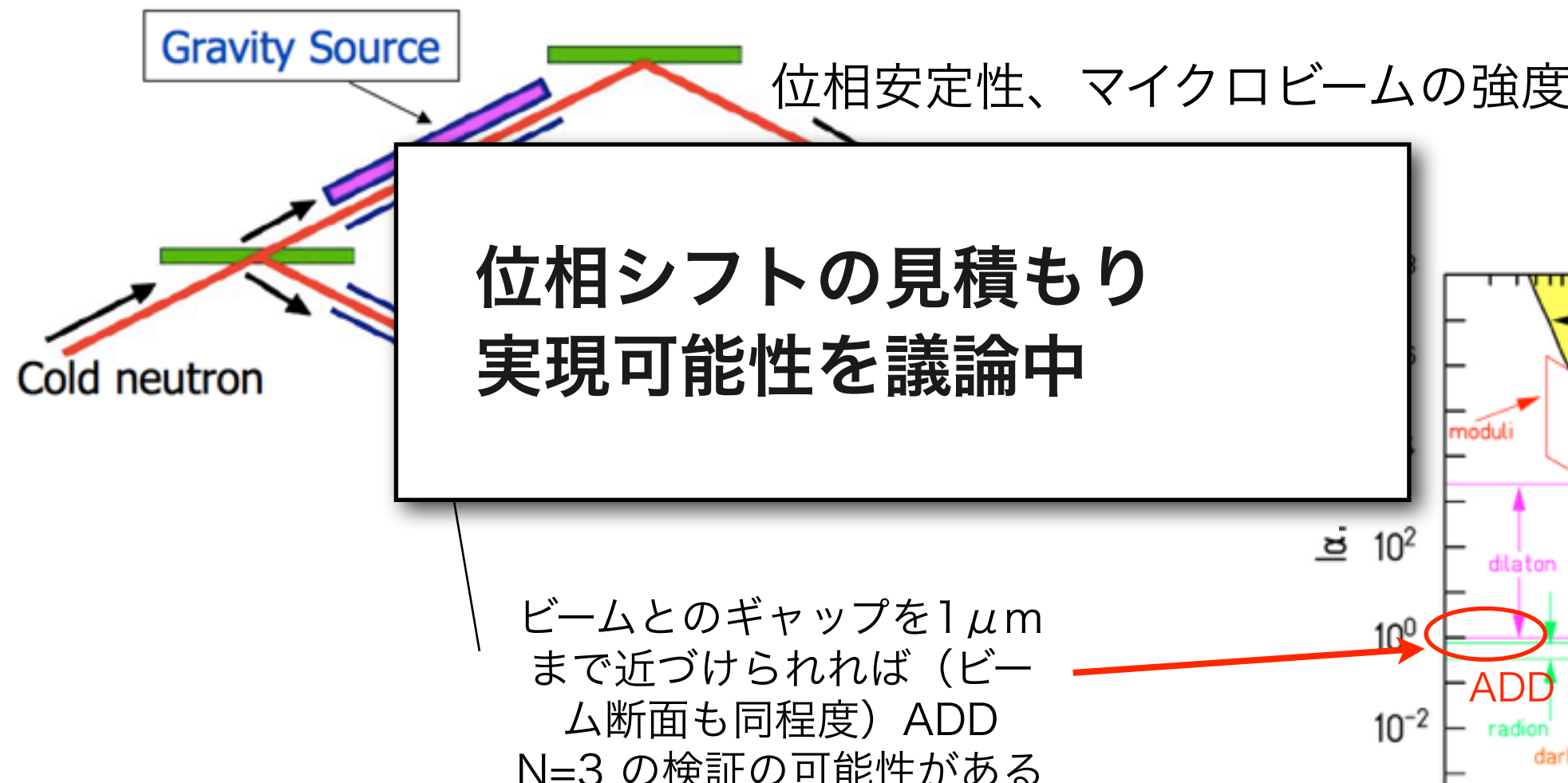


未知短距離力・重力

干渉計による重力

$\lambda \sim 10\mu\text{m}$ のオーダーの測定が可能

干渉計の片経路の重力ポテンシャルを位相シフトから検出



まとめ

中性子を用いた基礎物理実験は
様々な実験と互いに制限をつけ合う 波及効果は大きい

標準理論を超える物理の探索と理解

